

DISEÑO DE SISTEMA DE DRENAJE SANITARIO EN EL CASERÍO EL CERRO Y DISEÑO DE CALLES EN LA COLONIA LOS ÁLAMOS, SAN MIGUEL PETAPA, GUATEMALA

Isidro Giovanni Lemus Fernández

Asesorado por el Ing. Óscar Argueta Hernández

Guatemala, enero de 2016

UNIVERSIDAD DE SAN CARLOS DE GUATEMALA



DISEÑO DE SISTEMA DE DRENAJE SANITARIO EN EL CASERÍO EL CERRO Y DISEÑO DE CALLES EN LA COLONIA LOS ÁLAMOS. SAN MIGUEL PETAPA, GUATEMALA

TRABAJO DE GRADUACIÓN

PRESENTADO A LA JUNTA DIRECTIVA DE LA FACULTAD DE INGENIERÍA POR

ISIDRO GIOVANNI LEMUS FERNÁNDEZ

ASESORADO POR EL ING. ÓSCAR ARGUETA HERNÁNDEZ

AL CONFERÍRSELE EL TÍTULO DE

INGENIERO CIVIL

GUATEMALA, ENERO DE 2016

UNIVERSIDAD DE SAN CARLOS DE GUATEMALA FACULTAD DE INGENIERÍA



NÓMINA DE JUNTA DIRECTIVA

DECANO	Ing. Pedro Antonio Aguilar Polanco
VOCAL I	Ing. Angel Roberto Sic García
VOCAL II	Ing. Pablo Christian de León Rodríguez
VOCAL III	Inga. Elvia Miriam Ruballos Samayoa
VOCAL IV	Br. Raúl Eduardo Ticún Córdova
VOCAL V	Br. Henry Fernando Duarte García
SECRETARIA	Inga. Lesbia Magalí Herrera López

TRIBUNAL QUE PRACTICÓ EL EXAMEN GENERAL PRIVADO

DECANO	Ing. Pedro Antonio Aguilar Polanco
EXAMINADOR	Ing. Hugo Leonel Montenegro Franco
EXAMINADOR	Ing. Silvio José Rodríguez Serrano
EXAMINADOR	Ing. Óscar Argueta Hernández
SECRETARIA	Inga. Lesbia Magalí Herrera López

HONORABLE TRIBUNAL EXAMINADOR

En cumplimiento con los preceptos que establece la ley de la Universidad de San Carlos de Guatemala, presento a su consideración mi trabajo de graduación titulado:

DISEÑO DE SISTEMA DE DRENAJE SANITARIO EN EL CASERÍO EL CERRO Y DISEÑO DE CALLES EN LA COLONIA LOS ÁLAMOS, SAN MIGUEL PETAPA, GUATEMALA

Tema que me fuera asignado por la Dirección de la Escuela de Ingeniería Civil, con fecha 12 de agosto de 2014.

sidro Giovanni Lemus Fernández

UNIVERSIDAD DE SAN CARLOS DE GUATEMALA



Guatemala, 21 de septiembre de 2015 Ref.EPS.DOC.635.09.15

Ing. Silvio José Rodríguez Serrano Director Unidad de EPS Facultad de Ingeniería Presente

Estimado Ingeniero Rodríguez Serrano.

Por este medio atentamente le informo que como Asesor-Supervisor de la Práctica del Ejercicio Profesional Supervisado (E.P.S.), del estudiante universitario Isidro Giovanni Lemus Fernández con carné No. 200313283, de la Carrera de Ingeniería Civil, procedí a revisar el informe final, cuyo título es: DISEÑO DE SISTEMA DE DRENAJE SANITARIO EN EL CASERÍO EL CERRO Y DISEÑO DE CALLES EN LA COLONIA LOS ÁLAMOS, SAN MIGUEL PETAPA, GUATEMALA.

En tal virtud, LO DOY POR APROBADO, solicitándole darle el trámite respectivo.

Sin otro particular, me es grato suscribirme.

Atentamente,

"Id y Enseñad a Todos"

Ing. Oscar Argueta Hernández Asesor-Supervisor de EPS

Satraidad de San Carlos de Gu Ing. Oscar Arguera Hernández ASESOR - SUPERVISOR DE EPS Unidad de Prácticas de Ingeniería y EPS

acultad de Inger

c.c. Archivo OAH/ra



Universidad de San Carlos de Guatemala FACULTAD DE INGENIERÍA Escuela de Ingeniería Civil

Guatemala. 23 de octubre de 2015

Ingeniero Hugo Leonel Montenegro Franco Director Escuela Ingeniería Civil Facultad de Ingeniería Universidad de San Carlos

Estimado Ingeniero Montenegro.

Le informo que he revisado el trabajo de graduación DISEÑO DE SISTEMA DE DRENAJE SANITARIO EN EL CASERÍO EL CERRO Y DISEÑO DE CALLES EN LA COLONIA LOS ÁLAMOS, SAN MIGUEL PETAPA, GUATEMALA, desarrollado por el estudiante de Ingeniería Civil Isidro Giovanni Lemus Fernández, quien contó con la asesoría del Ing. Oscar Argueta Hernández.

Considero este trabajo bien desarrollado y representa un aporte para la comunidad del área y habiendo cumplido con los objetivos del referido trabajo doy mi aprobación al mismo solicitando darle el trámite respectivo.

Atentamente.

ID Y ENSEÑAD A TODOS

Ing. Mario Estuardo Arriola Ávila Coordinador del Área de Topografía y Transportes

bbdeb.

PROGRAMA DE HI GENNERIA COVIL ACREDITADO POR Agencia Centroemericano de Agreditoción de Programas de

FACULTAD DE INGENIERIA

DEPARTAMENTO DE TRANSPORTES USAC

PENICOO 2013 - 2015





Universidad de San Carlos de Guatemala FACULTAD DE INGENIERÍA Escuela de Ingeniería Civil

Guatemala. 05 de noviembre de 2015

Ingeniero
Hugo Leonel Montenegro Franco
Director Escuela Ingeniería Civil
Facultad de Ingeniería
Universidad de San Carlos

Estimado Ingeniero Montenegro.

Le informo que he revisado el trabajo de graduación DISEÑO DE SISTEMA DE DRENAJE SANITARIO EN EL CASERÍO EL CERRO Y DISEÑO DE CALLES EN LA COLONIA LOS ÁLAMOS, SAN MIGUEL PETAPA, GUATEMALA desarrollado por el estudiante de Ingeniería Civil Isidro Giovanni Lemus Fernández, con Carnet No. 2003-13283, quien contó con la asesoría del Ing. Oscar Argueta Hernández.

Considero este trabajo bien desarrollado y representa un aporte para la comunidad del área y habiendo cumplido con los objetivos del referido trabajo doy mi aprobación al mismo solicitando darle el trámite respectivo.

Atentamente,

ID Y EXSENADA TODOS

FACULTAD DE INGENIERIA
DEPARTAMENTO
DE
HIDRAULICA

USAC

Ing. Rafael Enrique Morales Ochoa Revisor por el Departamento de Hidráulica

/bbdeb.

Mas de 134 años de Trabajo Académico y Mejora Contínua



PROGRAMA DE MGENERIA GUIL ACREDITADO POM Agencia Contromerlona de Acreditación de Programas na Arquitactuma e Ingeniera

PERIODO 2013 - 2015

UNIVERSIDAD DE SAN CARLOS DE GUATEMALA



Guatemala, 09 de noviembre de 2015 Ref.EPS.D.593.11.15

Ing. Hugo Leonel Montenegro Franco Director Escuela de Ingeniería Civil Facultad de Ingeniería Presente

Estimado Ingeniero Montenegro Franco:

Por este medio atentamente le envío el informe final correspondiente a la práctica del Ejercicio Profesional Supervisado, (E.P.S) titulado DISEÑO DE SISTEMA DE DRENAJE SANITARIO EN EL CASERÍO EL CERRO Y DISEÑO DE CALLES EN LA COLONIA LOS ÁLAMOS, SAN MIGUEL PETAPA, GUATEMALA, que fue desarrollado por el estudiante universitario Isidro Giovanni Lemus Fernández, carné 200313283, quien fue debidamente asesorado y supervisado por el Ing. Oscar Argueta Hernández.

Por lo que habiendo cumplido con los objetivos y requisitos de ley del referido trabajo y existiendo la aprobación del mismo por parte del Asesor — Supervisor de EPS, en mi calidad de Director apruebo su contenido solicitándole darle el trámite respectivo.

Sin otro particular, me es grato suscribirme.

Atentamente,
"Id y Enseñad a Todos"

Ing. Silvio ose Rodriguez Serrano Director Unidad de EPS

DIRECCIÓN
Unidad de Prácticas de Ingeniería y EP

Facultad de Ingeniería

SJRS/ra





Universidad de San Carlos de Guatemala FACULTAD DE INGENIERÍA Escuela de Ingeniería Civil

El director de la Escuela de Ingeniería Civil, después de conocer el dictamen del Asesor Ing. Oscar Argueta Hernández y del Coordinador de E.P.S. Ing. Silvio José Rodríguez Serrano, al trabajo de graduación del estudiante Isidro Giovanni Lemus Fernández, titulado DISEÑO DE SISTEMA DE DRENAJE SANITARIO EN EL CASERÍO EL CERRO Y DISEÑO DE CALLES EN LA COLONIA LOS ÁLAMOS, SAN MIGUEL PETAPA, GUATEMALA, da por este medio su aprobación a dicho trabajo.

Ing. Hugo Leonel Montenegro France

Guatemala, enero 2016.

/mrrm.

Mas de 134 años de Trabajo Académico y Mejora Contínua



RSIDAD DE SAN CAR

DIRE

FEOGRAMA DE
WGENERIA
GWIL ACREDITAD D'POR
Agencie Centroemericene de
Acreditación de Programas de

PENICOO 2013 - 2015

Universidad de San Carlos de Guatemala



DTG. 018.2016

El Decano de la Facultad de Ingeniería de la Universidad de San Carlos de Guatemala, luego de conocer la aprobación por parte del Director de la Escuela de Ingeniería Civil, al Trabajo de Graduación titulado: DISEÑO DE SISTEMA DE DRENAJE SANITARIO EN EL CASERÍO EL CERRO Y DISEÑO DE CALLES EN LA COLONIA LOS ÁLAMOS, SAN MIGUEL PETAPA, GUATEMALA, presentado por el estudiante universitario: Isidro Giovanni Lemus Fernández, y después de haber culminado las revisiones previas bajo la responsabilidad de las instancias correspondientes, autoriza la impresión del mismo.

IMPRÍMASE:

Ing. Pedro Antonio Aguilar Polanco

Decano

100

DECANO

Guatemala, enero de 2016

/gdech

ACTO QUE DEDICO A:

Dios Ser supremo que me brindó la vida, y la

capacidad para alcanzar mis metas.

Mis padres Isidro Lemus y Marta Julieta López, por su

amor, ayuda y apoyo que me han brindado en

cada momento de mi vida.

Mi esposa Vilma del Carmen Rivas, por ser una importante

influencia en mi carrera y apoyarme cuando lo

necesité.

Mis hijos Jasmin, Dilan y Valery Lemus, por ser tres

ángeles en mi vida y el motor para seguir

adelante.

Mi hermano Marvin Lemus, por ser una importante influencia

en mi carrera, entre otras cosas.

Amigos y compañeros

de estudios

A todos sin excepción alguna, por su amistad,

ayuda y apoyo durante el tiempo de estudios.

Mi país Guatemala, que me vio nacer y crecer, que este

logro contribuya a engrandecerla aún más.

AGRADECIMIENTOS A:

Universidad de San Carlos de Guatemala Por darme una educación de excelente nivel.

Facultad de Ingeniería

Por darme los conocimientos necesarios para ser una persona capaz y desarrollarme profesionalmente.

Mis amigos de la Facultad

A todos sin excepción alguna, por su valiosa amistad, ayuda y apoyo brindado siempre y durante el tiempo de estudios.

Ingeniero Óscar Argueta Hernández Por su valiosa ayuda y guía en el transcurso del EPS y asesoría en el trabajo de graduación.

ÍNDICE GENERAL

ÍNDI	CE DE IL	LUSTRACIO	ONES	VII
LIST	A DE SÍ	MBOLOS		XI
GLO	SARIO			XV
RES	UMEN			XXI
OBJ	ETIVOS.			XXIII
INTF	RODUCC	IÓN		XXV
1.	FASE	DE INVEST	ΓΙGACIÓN	1
	1.1.	Monogra	afía del municipio de San Miguel Petapa	1
		1.1.1.	Aspectos generales	1
		1.1.2.	Localización	2
		1.1.3.	Ubicación geográfica	4
		1.1.4.	Aspectos topográficos	4
		1.1.5.	Vías de acceso	4
		1.1.6.	Clima	5
		1.1.7.	Colindancias	5
		1.1.8.	Demografía	5
		1.1.9.	Población	6
		1.1.10.	Distribución de viviendas	6
		1.1.11.	Tipología de viviendas	7
		1.1.12.	Idioma	8
		1.1.13.	Aspectos económicos	8
		1.1.14.	Servicios existentes	8

	1.2.	Investigad	ción diagr	nóstica so	bre	necesi	dades	de
		servicios	básicos e	infraestructu	ura de	la m	ıunicipalio	bac
		de San M	liguel Petap	a				9
		1.2.1.	Descripción	n de las nece	esidade	s		9
		1.2.2.	Priorización	n de las nece	esidade	s		9
2.	DISEÑO	DEL DRE	NAJE SANI	TARIO				11
	2.1.	Diseño de	el sistema de	e alcantarilla	do sani	tario d	el caserío	El El
		Cerro, Sa	n Miguel Pe	tapa, Guater	mala			11
		2.1.1.	Descripción	n del proyect	to			11
		2.1.2.	Levantamie	ento topográf	fico			11
			2.1.2.1.	Altimetría				12
			2.1.2.2.	Planimetría	١			13
		2.1.3.	Diseño del	sistema				13
		2.1.4.	Descripción	n del sistema	a a utiliz	ar		15
			2.1.4.1.	Período de	diseño			15
			2.1.4.2.	Población d	de diser	ĭo		15
			2.1.4.3.	Dotación de	e agua _l	potable	э	17
			2.1.4.4.	Factor de re	etorno			17
			2.1.4.5.	Factor de fl	ujo inst	antáne	;o	17
			2.1.4.6.	Caudal san	itario			18
				2.1.4.6.1.	Cau	ıdal do	miciliar	18
				2.1.4.6.2.	Cau	ıdal de	infiltració	n19
				2.1.4.6.3.	Cau	ıdal de	conexio	nes
					ilícit	as		20
				2.1.4.6.4.	Cau	ıdal c	comercial	е
					indu	ıstrial		21
			2.1.4.7.	Factor de c	audal m	nedio		22
			2148	Caudal de d	diseño			23

			2.1.4.9.	Sección del tipo de tubería	. 23
			2.1.4.10.	Diseño de secciones y pendientes	. 24
			2.1.4.11.	Velocidades máximas y mínimas	. 24
			2.1.4.12.	Cotas invert	. 25
			2.1.4.13.	Diámetro de tubería	. 27
			2.1.4.14.	Pozos de visita	. 27
			2.1.4.15.	Conexiones domiciliares	. 29
			2.1.4.16.	Profundidad de tubería	30
		2.1.5.	Principios h	nidráulicos	. 31
		2.1.6.	Diseño de l	la red de alcantarillado sanitario	. 31
		2.1.7.	Diseño de f	fosa séptica	. 35
		2.1.8.	Dimension	amiento de pozos de absorción	. 53
		2.1.9.	Planos		56
		2.1.10.	Presupues	to del proyecto	57
		2.1.10.	Evaluación	del impacto ambiental	. 73
		2.1.11.	Evaluación	socioeconómica	76
			2.1.11.1.	Valor presente neto	76
			2.1.11.2.	Tasa interna de retorno (TIR)	. 78
3.	DISEÑO	DE PAVIN	MENTACIÓN	٧	. 79
	3.1.	Diseño de	e pavimenta	ción de la calle de acceso a colonia	
		Los Álam	os, San Migı	uel Petapa, Guatemala	. 79
		3.1.1.	Descripción	n del proyecto	. 79
		3.1.2.	Estudios to	pográficos	. 79
		3.1.3.	Levantamie	ento topográfico	. 80
			3.1.3.1.	Altimetría	. 80
			3.1.3.2.	Planimetría	. 80
		3.1.4.	Considerac	ciones de diseño	. 81

	3.1.4.1.	Ubicación y localización del diseño)
		de la calle	81
	3.1.4.2.	Alineamiento horizontal	81
	3.1.4.3.	Alineamiento vertical	83
	3.1.4.4.	Aspectos del camino existente	87
	3.1.4.5.	Factores de diseño	88
3.1.5.	Estudio d	e suelos	92
3.1.6.	Ensayo d	e laboratorio	93
	3.1.6.1.	Ensayo de compactación (procto	r
		modificado)	93
	3.1.6.2.	Ensayo de Valor soporte del suelo)
		(CBR)	94
	3.1.6.3.	Límites de Atterberg	96
	3.1.6.4.	Granulometría	97
	3.1.6.5.	Análisis de resultados	98
3.1.7.	Diseño de	pavimento	98
	3.1.7.1.	Pavimento rígido	99
	3.1.7.2.	Componentes estructurales	100
	3.1.7.3.	Subrasante	100
	3.1.7.4.	Subrasante y base	101
	3.1.7.5.	Capa de rodadura	101
	3.1.7.6.	Bombeo	102
3.1.8.	Parámetro	os de diseño	102
	3.1.8.1.	Período de diseño	102
	3.1.8.2.	Diseño de la base	103
	3.1.8.3.	Diseño de espesor del pavimento	103
	3.1.8.4.	Tipos de juntas	113
3.1.9.	Estructura	a final del pavimento	115
3 1 10	Diseño de	mezcla de concreto	116

3.1.11.	Conformación y curado del pavimento	121
3.1.12.	Elaboración de planos finales	122
3.1.13.	Evaluación de impacto ambiental	123
3.1.14.	Obras de protección	126
3.1.15.	Elaboración de presupuesto	127
CONCLUSIONES		137
APÉNDICES		143

ÍNDICE DE ILUSTRACIONES

FIGURAS

1.	Localizacion del municipio de San Miguel Petapa	3
2.	Cotas invert en pozos de visita	25
3.	Pozo de visita	28
4.	Esquema de conexiones domiciliares	29
5.	Profundidad de tubería	30
6.	Planta de losa	38
7.	Diagrama de momentos	47
8.	Corte de viga de refuerzo	49
9.	Diagrama de corte de viga	51
10.	Planta de alineamiento horizontal de curva	83
11.	Sección de una curva vertical	86
12.	Sección típica	99
13.	Correlación aproximada entre la clasificación de los suelos	109
14.	Esquemas de juntas en un pavimento	114
	TABLAS	
l.	Parámetros de diseño	31
II.	Sumatoria de momentos	48
III.	Coeficiente de absorción del terreno para pozos	55
IV.	Días de asueto y feriado	57
V.	Días pagados no trabajados	58
VI.	Cálculo de días hábiles	58

VII.	Cálculo de porcentaje	58
VIII.	Unitario de replanteo topográfico	59
IX.	Unitario de excavación	60
X.	Unitario de relleno	61
XI.	Unitario de instalación de tubería	62
XII.	Unitario de conexiones domiciliares	63
XIII.	Unitario de pozos de 1,50 m	64
XIV.	Unitario de pozos de 2,00 m	65
XV.	Unitario de pozos de 2,50 m	66
XVI.	Unitario de pozos de 3,00 m	67
XVII.	Unitario de pozos de 3,50 m	68
XVIII.	Unitario de pozos de 4,00 m	69
XIX.	Unitario de pozos de 4,50 m	70
XX.	Unitario de pozos de 4,70 m	71
XXI.	Presupuesto de sistema de drenaje sanitario	72
XXII.	Matriz de Leopold para sistemas de alcantarillado	75
XXIII.	Valor de constante K	85
XXIV.	Curvas verticales	87
XXV.	Valores de resistencia de suelos	89
XXVI.	Tabla de crecimiento anual y período de 20 años	91
XXVII.	Características de los suelos	96
XXVIII.	Clasificación de material según partículas	97
XXIX.	Calidad de subrasante en función del CBR	101
XXX.	Elemento estructural	107
XXXI.	Categoría de tráfico en función de cargas por eje	108
XXXII.	Tipos de suelos de subrasante y valores aproximados de K	110
XXXIII.	Módulo de reacción K método PCA	110
XXXIV.	Valores de K para diseño sobre bases granulares (PCA)	110
XXX\/	Valores de K para diseño sobre bases de suelo-cemento (PCA)	111

XXXVI.	TPDC permisible, carga por eje categoría 2 pavimento con jun	tas
	doveladas	111
XXXVII.	TPDC permisible, carga por eje categoría 2 pavimentos con jun	tas
	con agregados de trave	112
XXXVIII.	Asentamiento según estructura	118
XXXIX.	Relación agua – asentamiento	118
XL.	Relación agua cemento	119
XLI.	Porcentaje de agregado fino	120
XLII.	Matriz de Leopold de impacto ambiental de pavimentación	125
XLIII.	Integración de unitarios de replanteo topográfico	128
XLIV.	Integración de unitarios de corte de cajuela	129
XLV.	Tratamiento de la subrasante	130
XLVI.	Integración de unitarios de base granular de 15 cm	131
XLVII.	Integración de unitarios de carpeta de rodadura de 20 cm	132
XLVIII.	Integración de unitarios de bordillo	133
XLIX.	Integración de unitarios de limpieza	134
L.	Presupuesto de diseño de pavimento	135

LISTA DE SÍMBOLOS

Símbolo Significado

H Altura entre cauce

A Área Azimut

cm Centímetro

n Coeficiente de rugosidad

Cm Cuerda máxima

Diámetro hidráulico

t Espesor de la losa de concreto del pavimento

(carpeta de rodadura).

S Espaciamiento entre juntas

E External

F Factor de fricción

G Grado de curvatura en curva horizontal

Hop Humedad óptima

IP Índice plástico

I Intensidad de Iluvia

Km Kilómetro

Kg/cm²Kilogramo sobre centímetro cuadradoKg/cm³Kilogramo sobre centímetro cúbico

Kg/m³ Kilogramo sobre metro cúbico

Lb Libra

Lb/pie³ Libra sobre pie cúbico

ML Ligera plástica de un suelo

LL Límite líquido
LP Límite plástico

L Longitud de cauce

LCV Longitud de curva horizontal
Longitud de curva vertical

m Metro

m² Metro cuadrado

m³/s Metro cúbico por segundo

mm Milímetro

mm/h Milímetro por hora

Min Minutos

K Módulo de reacción de subrasante

Mr Módulo de ruptura del concreto

US\$ Moneda dólar de Estados Unidos de América

Q Moneda quetzal de Guatemala

π Número Pi, 3,1416

S% Pendiente en porcentaje

PNH Peso neto húmedo

PNS Peso neto seco

PUH Peso unitario húmedo

PUS Peso unitario seco

Pie³Pie cúbico%Porcentaje

H% Porcentaje de humedad

P.O. Punto observado

PC Principio de curva

PCV Principio de curva vertical

PT Principio de tangente

PI Punto de intersección

PIV Punto de intersección vertical

R Radio en curva horizontal

F'c Resistencia a la compresión del concreto

F'yResistencia nominal del aceroTPPATránsito pesado promedio anualTPPDTránsito pesado promedio diario

3/4" Tres cuartos de pulgada

Ha Unidad de medida de hectárea

GLOSARIO

AASHTO American Association of Highways and

Transportation Officials (Asociación Americana de

Carreteras y Funcionarios de Transporte).

Abrasión Es el desgaste producido a un material por acción de

fricción.

Aforo vehicular Método estadístico que tiene como finalidad la

determinación del número de vehículos que transitan

en un lugar determinado durante un tiempo estimado.

Agregado Materiales inertes de determinadas características

que conforman el concreto, excluyendo el agua.

Agregado fino Agregado del concreto que sus partículas tienen un

diámetro entre 0,074 y 4,76 mm. (arena).

Agregado grueso Agregado que sus partículas tienen un diámetro que

varía entre 4,77 y 19,10 mm. Normalmente es

llamado piedrín o grava.

Aguas negras El agua se desecha, después de haber servido para

un fin. Puede ser doméstica, comercial o industrial.

Altimetría Rama de la topografía que estudia los métodos que

tienen como finalidad la presentación de las alturas

de los puntos de un terreno.

Anaeróbicos Condición en la cual hay ausencia de aire u oxígeno

libre.

Arcilla 1 Partículas de suelo de diámetro menor de 0,002 mm.

Arcilla 2 Tipo de suelo impermeable plástico.

Arena Partículas de suelo de diámetro entre 0,074 y

4,76 mm.

Asentamiento Es el descenso de nivel que presenta una estructura

debido al hundimiento del suelo.

Base Capa de material seleccionado de granulometría

específica que se construye sobre la subbase.

Bombeo Pendiente transversal descendente de la corona o

sub corona, a partir de su eje o línea central, hacia

ambos lados en tangente horizontal.

CA Ruta Centroamericana.

Caja de registro Receptáculo donde se reciben las aguas negras

provenientes del interior de la vivienda y que

conduce al sistema de drenaje.

Caudal Volumen por unidad de tiempo (por ejemplo m³/s o

l/s).

CBR Por sus iniciales California Beaning Ratio, ensayo de

laboratorio utilizado para determinar la resistencia de

corte de un suelo en condiciones de compactación y

humedad.

Cemento Aglomerante hidráulico, es decir que reacciona y

fragua con agua, utilizada en el concreto y su función

es aglomerar o pegar los agregados del concreto.

Cocode Consejo comunitario de desarrollo.

Colector Conjunto de tuberías, canales, pozos de visita y

obras accesorias que sirven para el desalojo de

aguas negras o aguas de lluvia (pluviales).

Compactación Densificación suelo por medios mecánicos, con el

objetivo de mejorar resistencia y estabilidad

volumétrica, afectando la permeabilidad, como

consecuencia del proceso de densificación del suelo.

Concreto Mezcla de materiales inertes, cemento y agua.

Cota invert Cota de la parte inferior de una tubería.

Costo directo Costo de un trabajo en el cual están incluidos los

gastos por materiales y de mano de obra.

Costo indirecto Costo económico en el cual están incluidos los

gastos administrativos, impuestos, imprevistos y

utilidad que se tenga que cubrir en el proyecto.

Curado del concreto Mantener en condiciones adecuadas de humedad y

temperatura al concreto durante el proceso de

fraguado para obtener un concreto endurecido con

características de resistencia deseadas.

Densidad Relación entre la masa de un material y el volumen.

Desfogar Salida del agua de desecho en un punto

determinado.

DGC Dirección Generales de Caminos.

Escala Proporción entre la realidad y lo representado en un

dibujo o relieve.

Estabilización de

suelo

Método utilizado para mejorar las características

mecánicas de un suelo.

Fraguado del Es el cambio del estado plástico al estado sólido del

concreto concreto.

Fundición Colocado del concreto en la formaleta o lugar donde

será construido.

Granulometría Estudia la medida del tamaño de las partículas,

granos y rocas de los suelos así como la distribución

de dichas partículas en el mismo suelo.

INE Instituto Nacional de Estadística de Guatemala.

Junta Pequeño corte en las estructuras para contrarrestar

los efectos de cambios en la temperatura y humedad.

Losa Estructura plana de concreto con grosor específico,

utilizada para soportar cargas verticales.

Material selecto Material que cumple con propiedades mecánicas

establecidas en los parámetros del diseño.

Nivelación Término general que se aplica a cualquiera de los

diversos procedimientos altimétricos por medio de los cuales se determinan elevaciones o niveles de

cuales se determinan elevaciones o niveles de

puntos determinados.

Pavimento Estructura vial destinada para soportar y transmitir

las cargas de transito así como permitir un tránsito

seguro.

PCA Portland Cement Asociation (Asociación de Cemento

Portland).

Superficie de Capa que se construye sobre la base o subbase y

rodadura que está libre al tránsito.

Tamiz Red con aberturas de distinto tamaño utilizada para

separar las partículas de un material en el estudio

granulométrico.

Tirante Altura de las aguas negras dentro de la alcantarilla.

.

RESUMEN

El Ejercicio Profesional Supervisado (EPS) tiene como principal objetivo identificar y dar solución de las necesidades que se presentan en las comunidades que conforma el municipio de San Miguel Petapa.

El trabajo de graduación se divide en tres partes, en la primera parte se basa en el estudio y análisis general del municipio de San Miguel Petapa, en esta se hace la descripción del municipio sobre sus actividades, como: localización, aspectos topográficos, vías de acceso, clima, colindancias, población, idioma, aspectos económicos y un diagnóstico sobre las necesidades de servicios básicos que necesita el municipio.

La segunda parte comprende el estudio técnico del diseño del sistema de alcantarillado sanitario del municipio de San Miguel Petapa, donde se describen los conceptos y detallado de los cálculos y fórmulas que conlleva el diseño del proyecto a diseñar.

La tercera parte, consta del diseño de las calles de la colonia Los Álamos, San Miguel Petapa, donde se describen los conceptos y detallado de los cálculos y fórmulas para el diseño y planos.

Para el diseño del drenaje y diseño de las calles se realizaron levantamientos topográficos, estudio de suelo y su respectiva visita al lugar, el pavimento fue diseñado con el método simplificado de la PCA, además de basarse en Normas AASHTO y RGC-2001.

OBJETIVOS

General

Diseñar el sistema de drenaje sanitario en el caserío El Cerro y diseño de calles en la colonia Los Álamos, San Miguel Petapa, Guatemala.

Específicos

- Realizar los proyectos basados en normas y especificaciones para el adecuado funcionamiento.
- 2. Realizar la investigación necesaria para el diagnóstico de los problemas que afectan el municipio.
- 3. Desarrollar los planos, presupuestos, cronogramas de los proyectos y que sean factibles, para que se puedan ejecutar.

INTRODUCCIÓN

En el municipio de San Miguel Petapa, se procedió a realizar un diagnóstico de las principales necesidades del pueblo, clasificando la prioridad sobre las necesidades de servicios básicos e infraestructura. Mediante la realización del ejercicio profesional supervisado que permite al estudiante conocer las necesidades reales que se presentan en las comunidades, de tal forma que se puedan relacionar los conocimientos teóricos adquiridos durante la carrera para ponerlos en práctica.

La necesidad de drenar el agua residual de origen doméstico es de suma importancia, ya que la población va aumentando con el transcurso del tiempo y es necesario la implementación de obras de alcantarillado, para dirigirlas hacia una planta de tratamiento donde se realizará el respectivo tratamiento de las aguas negras y evitar así la contaminación de ríos, lagos y que finalmente llegan hacia el mar, esto con la finalidad de no alterar el ecosistema, y evitar contaminar las aguas subterráneas y los pozos que se encuentren cerca.

La necesidad de vías de acceso hacia las poblaciones vecinas, son de suma importancia para poder desarrollarse tanto social como económicamente, por esto es la necesidad de habilitar las calles que se encuentran en pésimas condiciones para poder tener vías de acceso y así agilizar el paso vehicular de manera rápida eficiente y segura.



1. FASE DE INVESTIGACIÓN

1.1. Monografía del municipio de San Miguel Petapa.¹

San Miguel Petapa posee recursos naturales que pueden ser explotados para el beneficio socioeconómico del municipio.

1.1.1. Aspectos generales

San Miguel Petapa estaba originalmente compuesto por una población indígena de descendencia Pokomam, situación que se ve reflejada en su nombre, que significa lugar de esteras o petates según Edmundo Gracias.

Tomas Gage lo señala como una palabra compuesta de *pet* que significa estera y *thap* que quiere decir agua, surgiendo el nombre de estera de agua o cama de agua. Según Francisco Rubio es una palabra de origen nahualt, que significa lugar de esteras y petates, coincidiendo con el primero.

Pese al movimiento en el siglo XVIII a su actual ubicación, las reliquias religiosas de la Iglesia Católica Romana fueron trasladadas, incluyendo la imagen del "Señor Sepultado" que tiene cinco siglos de existencia, lo cual llena de orgullo a la población católica.

San Miguel Petapa tiene dos días festivos, uno en conmemoración a la Virgen del Rosario, y otro dedicado al Arcángel Miguel.

1

Datos proporcionados por la Oficina de Planificación Municipal, Municipalidad de San Miguel Petapa.

Una tradición entre los ladinos (mestizos) del municipio, es la Danza de las Flores, que es una danza en donde todos los participantes dan vueltas alrededor, mientras música y versos son recitados. Esta tradición inició en la antigua capital española de Santiago de Guatemala (Antigua Guatemala en los tiempos presentes) de donde se extendió a las poblaciones cercanas. Años después esta tradición fue tomada por la ciudad capital, la Nueva Guatemala de la Asunción. Hoy en día, esta danza folklórica se realiza en otros municipios del departamento de Guatemala; tales como San Raymundo, Mixco, San Juan Sacatepéquez y Villa Nueva.

1.1.2. Localización

El municipio de San Miguel Petapa se localiza en la latitud 14° 30′ 06″ sur y en la longitud 90° 33′ 37″ oeste.

El proyecto de drenaje en El Cerro se localiza en la latitud 14° 29' 04" norte y en la longitud 90° 32' 24" oeste.

El proyecto de calles en Los Álamos se localiza en la latitud 14° 30' 51" norte y en la longitud 90° 32' 28" oeste.

90°30'0"W 90°34'0"W 90°33'0"W 90°32'0"W 90°31'0"W 14°29'0"N 14°29'0"N -00 14°28'0"N 14°28'0"N 14°27'0"N 14°27'0"N COLONIA SAN PEDRO COLONIA SAN LUCAS Tacatón Los Humitos SIGNOS CONVENCIONALES CULTURAL FEATURES 14°26'0"N 14°26'0"N 14°25'0"N 14°25'0"N DRAINAGE DREMAJE 90°32'0"W 90°34'0"W 90°33'0"W 90°31'0"W 90°30'0"W 1:50.000 ■ Kilometros 4,5 0 0,75 1,5 3 6

Figura 1. Localización del municipio de San Miguel Petapa

Fuente: Instituto Geográfico Nacional, Amatitlán, Guatemala 2059 II E754.

1.1.3. Ubicación geográfica

San Miguel Petapa es el municipio 17 del departamento de Guatemala, se encuentra situado en la parte sur del departamento de Guatemala, en la Región I o región metropolitana. Se encuentra a una distancia de 20 kilómetros de la cabecera departamental. Cuenta con una extensión territorial de 30 kilómetros cuadrados, y se encuentra a una altura de 1 285 metros sobre el nivel del mar.

1.1.4. Aspectos topográficos

El municipio de San Miguel Petapa está situado a 1 282 m de altura sobre el nivel de mar, muestra una topografía irregular en un 65 % de su extensión. El terreno plano, que lo constituye un 35 %, se ubica al este del municipio. La cabecera municipal está asentada en un terreno sinuoso, que inicia en la bifurcación de la ruta asfaltada CA-1 y termina con un nivel demasiado pronunciado. Posee una topografía muy diversa que unida a una orografía, dispersa pero muy estética por su conformación boscosa hacen del municipio un lugar muy atractivo. Tiene bosques todavía abundantes, manejados de manera técnica por el Departamento de Bosques de la Municipalidad.

1.1.5. Vías de acceso

La cabecera municipal está a una distancia de veintidós kilómetros de la ciudad capital, esta comunicado mediante tres accesos, uno de ellos por medio de la carretera interoceánica CA-9 al sur pasando por el municipio de Villa Nueva, el segundo acceso por la carretera interdepartamental que parte del Obelisco, hasta llegar al municipio de Villa Canales y de este hacia San Miguel Petapa, que dista a cuatro kilómetros al noreste y el tercer acceso, que inicia

desde El Trébol hasta el parque de San Miguel Petapa, siendo esta la razón por la cual a esta avenida se le dio el nombre de avenida Petapa.

1.1.6. Clima

El municipio de San Miguel Petapa tiene un clima templado, con:

- Temperatura de 20,00 grados centígrados promedio anual
- Humedad de 77,60 % promedio anual
- Lluvia de 2 567,00 mm promedio anual
- Viento de 10,92 km/hr promedio anual
- Evaporación 4,20 mm promedio anual
- Nubosidad 6,00 octas promedio anual
- Radiación 0,40 cal/med promedio anual

1.1.7. Colindancias

Limita al norte con el municipio de Villa Nueva (Guatemala); al sur con el Lago de Amatitlán (Guatemala); al este con el municipio de Villa Canales (Guatemala); y al oeste con el municipio de Villa Nueva (Guatemala).

1.1.8. Demografía

La densidad poblacional corresponde a 2 578 habitantes por kilómetro cuadrado, todo el municipio es poblado, pero la mayor concentración se encuentra en la cabecera municipal y en Villa Hermosa.

La proporción de la población que vive en pobreza extrema es mínimo (0,79 %); la pobreza general es del 12 %, lo que significa que de

acuerdo a los compromisos de Estado contenidos en los Objetivos de Desarrollo del Milenio (ODM) ya se alcanzó la meta municipal que es de 3,4 % relacionado con la pobreza extrema.

Otro aspecto de la población son los flujos migratorios y que según los resultados de talleres de Análisis del Sistema en Lugares Poblados y Mapeo Participativo, se determina que la mayoría de la población de las diferentes áreas del municipio migra hacia la ciudad capital en forma constante, por necesidades de trabajo. La mayoría de la población también migra hacia la cabecera municipal por motivos laborales y de comercio.

1.1.9. Población

De acuerdo al Censo Poblacional del INE en el 2002 y tomando en cuenta la tasa de crecimiento poblacional se proyecta que para el 2014 sumará una cantidad de 169 054 habitantes.

1.1.10. Distribución de viviendas

Aldea:

Santa Inés Petapa (zona 04)

Caseríos:

- Galiz (zona 04)
- Callejón Galiz (zona 04)
- El Cerro (zona 04)
- El Encinal (zona 04)
- El Frutal (zona 07)

Colonias:

- Exclusivas Villas de Petapa (zona 01)
- Villas de Petapa (zona 01)
- Villas Alborada 1, 2,3 y 4 (zona 01)
- El Deseo (zona 01)
- El Centenario (zona 01)
- Israel (zona 02)
- Santa Teresita 5 (zona 02)
- Portal de Santa Inés (zona 04)
- Semillas de Paz (zona 04)
- Los Álamos (zona 06)
- Aguilar Hernández (zona 07)
- Villa Hermosa (zona 07)
- Prados de Villa Hermosa (zona 07)
- Brisas de Gerona 1, 2 y 3 (zona 08)
- San Antonio (zona 09)
- El Bosque (zona 09)
- Cendist (zona 09)
- Santa Teresita 4 (zona 09)

1.1.11. Tipología de viviendas

Mayoritariamente el tipo de construcción es de cimientos y soleras de cemento fundido, paredes de *block*, ladrillo o planchas prefabricadas, piso de cemento, granito o cerámico, techo de terraza de concreto fundido, electromalla o lámina de zinc.

En el área rural en caseríos. El tipo de construcción es más precario: las paredes pueden ser de *block*, ladrillo o madera, piso de cemento, techo de lámina de zinc y en menor grado terraza de concreto fundido.

1.1.12. Idioma

La lengua predominante es el español o castellano, antiguamente se hablaba pocomán y pocomchí.

1.1.13. Aspectos económicos

San Miguel Petapa es predominante agrícola, siendo los cultivos que más se cultivan: el café, tomate, banano, lechuga, maíz, frijol y caña de azúcar, aunque en la actualidad por el desplazamiento urbano se está formando en una zona industrial.

1.1.14. Servicios existentes

Cuenta con los servicios básicos más importantes: energía eléctrica, agua potable, correos, telefonía, servicios de taxi, buses urbanos, y extraurbanos, colegios, escuelas, institutos de segunda enseñanza, canchas polideportivas, estadio, estación de bomberos, mercados, pensiones, restaurantes, centros comerciales, hospitales privados, clínicas médicas particulares, centros de salud, cementerio, bancos estatales, privados, y varios edificios municipales, Comisaria de la Policía Nacional Civil (PNC), Policía Municipal (PM), Policía Municipal de Tránsito (PMT), Sede del Ministerio Público, Centro de Justicia, Juzgado de Familia, y varias iglesias católicas y templos evangélicos.

1.2. Investigación diagnóstica sobre necesidades de servicios básicos e infraestructura de la municipalidad de San Miguel Petapa

El municipio de San Miguel Petapa padece una serie de necesidades para continuar con su desarrollo tanto de servicios básicos como de infraestructura.

1.2.1. Descripción de las necesidades

Los proyectos que necesita el municipio de San Miguel Petapa son: diseño de drenaje sanitario, pluvial y pavimentación en colonia Brisas de Gerona, pavimentación de calles en colonia Los Álamos, drenaje sanitario y pavimentación en caserío El Cerro, pavimentación en finca Carmen Guillén, implementación drenaje sanitario en Playa de Oro.

1.2.2. Priorización de las necesidades

Para la priorización de las necesidades, se tomaron en cuenta las observaciones y criterios del director del Departamento Municipal de Planificación, el alcalde y el comité del caserío El Cerro y colonia Los Álamos. De los proyectos anteriormente mencionados se tomaron los de mayor importancia, que es el diseño del drenaje sanitario y pavimentación de las calles, pues con la pavimentación de las calles viene a beneficiar a los vecinos de la zona, dando el paso al desarrollo, y agilizando el tránsito vehicular. Además, el drenaje viene a favorecer las necesidades de la población para minimizar las enfermedades gastrointestinales, que se producen por la contaminación de ríos, lagos y aguas subterráneas.

2. DISEÑO DEL DRENAJE SANITARIO

Diseño del sistema de alcantarillado sanitario del caserío El Cerro, San Miguel Petapa, Guatemala

Se diseñará un sistema de alcantarillado sanitario en el caserío El Cerro para desfogar las aguas residuales de los habitantes de este caserío.

2.1.1. Descripción del proyecto

Consiste en el diseño del drenaje sanitario colector principal de 2 074 metros, y 75 pozos de visita, el diseño se realizó de acuerdo a las especificaciones del Infom-Unepar, la tubería a utilizar será PVC de diámetro de 6 y 8" Norma ASTM 3034. El diseño se realizó por sistema de gravedad, para ello se tomó las pendientes del terreno, cuidando que dichas pendientes no provoquen que las velocidades dentro de las alcantarillas estén fuera de especificaciones. El desfogue será a un terreno donde se construirá una planta de tratamiento, donde se realizar un tratamiento primario, construyendo fosas sépticas y pozos de absorción para el tratado de las aguas residuales.

2.1.2. Levantamiento topográfico

La topografía ha sido favorecida por los adelantos tecnológicos, con instrumentos y dispositivos que favorecen la precisión, rapidez, que han superado los sistemas tradicionales de medición, para lograr estos avances han combinado las técnicas más avanzadas en óptica y electrónica, para realizar los trabajos de campo en forma rápida y precisa (distanciómetros, estación total,

niveles electrónicos, niveles con rayo láser y GPS). Lo que ha permitido la mejora de las técnicas de elaboración de planos (programas de AutoCAD, AutoCAD civil 3D, Land Desktop, entre otros).

El levantamiento topográfico se realizó con estación total marca Topcon, el levantamiento consistió en una poligonal abierta para situar la línea central, radiando para tomar las cotas de todas las viviendas,. calles principales, callejones, postes de luz, orilla de calle, cercos de terrenos, elevaciones y depresiones.

2.1.2.1. Altimetría

La altimetría es la parte de la topografía de superficie, que trata de los métodos de campo y gabinete, necesarios para obtener la posición altimétrica de puntos del terreno (coordenadas "Z").

A los puntos del terreno con posición altimétrica se refiere a elevaciones, alturas o cotas. Una elevación es una distancia vertical medida desde un plano horizontal hasta un punto o banco de nivel del terreno.

En este trabajo se realizó la nivelación usando una estación total marca Topcon mediante el método taquimétrico, como cota de salida se fijó una arbitraria, entera de 1 000 metros para no tener cotas negativas.

La libreta de campo obtenida en el levantamiento se descarga a una PC y se convierte en formato csv (delimitado por comas), para después importar los puntos en el programa AutoCAD civil 3D 2012.

Es de importancia este método, para encontrar las diferentes elevaciones de los puntos del terreno y con ello poder calcular la pendiente del terreno, que es primordial para el diseño del drenaje sanitario.

2.1.2.2. Planimetría

La distancia es lo que existe entre dos puntos cualesquiera, ubicados en un espacio tridimensional.

La medición de distancias es la base de toda la topografía, la distancia entre dos puntos significa sus distancias horizontal. Si los puntos están a diferente elevación, su distancia es la longitud horizontal.

El levantamiento consiste en una poligonal abierta, formada por ángulos orientados a un mismo norte y distancias con estaciones intermedias. En este trabajo se realizó el levantamiento usando una estación total marca Topcon aplicando el método de deflexiones.

Se utiliza el método ya que es de suma importancia conocer la distancia de los diferentes puntos horizontales para definir los parámetros de diseño.

2.1.3. Diseño del sistema

Según el tipo de caudal a drenar existen 3 tipos de alcantarillado, la selección de cada sistema, depende del estudio de diversos factores, como lo son topográficos, de funcionalidad y el económico.

En general y excepto razones especiales, en poblaciones que no cuenten con ningún sistema anterior al que se está diseñando, se proyectarán sistemas de alcantarillado sanitario del cual están excluidos los caudales de agua de lluvia provenientes de calles, techos y otras superficies.

Los sistemas se diseñarán como sistemas por gravedad, con los conductos funcionando como canales parcialmente llenos. Sin embargo, en los casos en que sea indispensable que el sistema de bombeo se diseñarán los colectores como sistemas por gravedad, con conductos parcialmente llenos hasta la fosa de succión del equipo de bombeo se diseñará como conducto a presión.

- Alcantarillado sanitario: su fin es recoger y transportar las aguas servidas domiciliares; residuos comerciales como restaurantes y aguas negras producidas por la industria, pero no está diseñado para las aguas provenientes de las lluvias.
- Alcantarillado pluvial: su fin es recoger únicamente las aguas de lluvia, que concurren al sistema por medio de tragantes, ya sea acera o de rejilla.
- Alcantarillado combinado: en este sistema se trabaja con el caudal de los alcantarillados sanitario y pluvial, por lo que regularmente se requieren diámetros grandes de colector principal.
- Alcantarillado separativo: este sistema se diseña para dos redes independientes tanto las aguas servidas como pluviales, es el sistema más eficiente, pero no es muy utilizado por motivos económicos, ya que se necesita de un colector principal para aguas servidas y otro para aguas pluviales, así como los pozos de visita para cada red.

2.1.4. Descripción del sistema a utilizar

Se diseñará un sistema de alcantarillado sanitario para el caserío El Cerro, ya que no cuenta con ningún sistema de drenaje posterior a este. Las calles de este caserío son de terracería, los caudales pluviales de techos y otras superficies, no serán incluidos en el sistema de alcantarillado sanitario.

2.1.4.1. Período de diseño

Los sistemas de alcantarillado serán proyectados para llenar adecuadamente su función durante el período de 20 a 30 años, a partir de la fecha en que se desarrolle el diseñó.

Para el diseño de este proyecto se optó un período de 25 años, durante el cual, la obra dará servicio satisfactorio para la población de diseño. Para fijarlo se tomó en cuenta la vida útil de los materiales, costo y tasas de interés, comportamiento de la obra en sus primeros años y posibilidades de ampliación, además un lapso de tiempo para buscar el financiamiento económico con entidades privadas o municipales para la aprobación y ejecución del proyecto.

2.1.4.2. Población de diseño

Para el diseño del sistema de alcantarillado se hace necesario conocer la población que se va a servir, al inicio y al final de su período de vida.

En sistemas sanitarios combinados, la población que tributarán caudales en el sistema al final del período de diseño, será estimada utilizando alguno de los siguientes métodos:

- Incremento geométrico
- Incremento aritmético
- Incremento o porcentaje decreciente
- Proyección gráfica a ojo

El crecimiento poblacional en el medio rural guatemalteco es el geométrico, cuando no se cuentan con datos estadísticos, no es posible emplear la ecuación del crecimiento geométrico. Es necesario entonces recurrir al número de viviendas y al número promedio de habitantes por vivienda, el número de habitantes por vivienda puede tomarse de 5 a 7.

Se utilizó el método de incremento geométrico ya que para esta población según sus costumbres y tradiciones tiene un crecimiento exponencial. La tasa de crecimiento que se tomó es 3 92 % aplicable al municipio de San Miguel Petapa. La fórmula de crecimiento geométrico se expresa de la siguiente forma:

$$Pf = P0 * (1 + \frac{r}{100})^n$$

Donde:

Pf= población futura

Po= población inicial

r= factor de crecimiento (tasa)

n= período de diseño (años)

Del pozo de visita 3 al pozo de visita 4

$$Pf=60*(1+\frac{3.92}{100})^{25} = 156.90 \cong 157 \text{ hab.}$$

Población futura es de 157 habitantes

2.1.4.3. Dotación de agua potable

Es la cantidad de agua asignada a la unidad consumidora, para este proyecto por tratarse de una municipalidad de 2do orden, se utilizó 150 lts/hab/dia según información de la municipalidad.

2.1.4.4. Factor de retorno

Es el porcentaje de agua que después de ser utilizada regresa al drenaje, este porcentaje oscila entre el 70 al 90 %.

Para este diseño se adoptará un promedio de estos valores 85 %, ya que está en función de las costumbres y necesidades de los habitantes.

2.1.4.5. Factor de flujo instantáneo

Es un factor que está en función del número de habitantes, localizados en el área de influencia, regula un valor máximo de las aportaciones por uso doméstico. Se calcula por medio de la fórmula de Harmond:

$$FH = \frac{18 + \sqrt{P}}{4 + \sqrt{P}}$$

FH= factor de Harmond

P= población en miles de habitantes

$$FHf = \frac{18 + \sqrt{157/1000}}{4 + \sqrt{157/1000}} = 4,1545$$

2.1.4.6. Caudal sanitario

Es el cálculo de los diferentes tipos de caudales que componen el flujo de aguas negras, se efectúa con la aplicación de diferentes factores como: la población, dotación de agua potable por habitante por día, utilizando del agua en las viviendas, usos del agua en el sector industrial y su dotación, usos de agua en el sector comercial y su dotación, estimación de las conexiones ilícitas, cantidad de agua que puede infiltrarse en el drenaje y las condiciones socioeconómicas de la población.

El caudal con que se diseñará cada tramo del sistema sanitario será la suma de:

- Caudal máximo de origen doméstico
- Caudal de infiltración

Caudal ilegal por aguas de lluvia que se conecten en patios o bajadas de techos por error; por este concepto se agregará un 10 por ciento del caudal doméstico. Sin embargo, en áreas donde no hay drenaje pluvial podrá usarse un valor más alto.

Q sanitario = 0,2316+0,042+0,02316=0,29687 lt/seg.

2.1.4.6.1. Caudal domiciliar

Aguas residuales que solo contienen los desechos de una comunidad, compuesta por aguas grises, provenientes de las tinas y duchas, lavaplatos y otros similares. Y aguas negras que son las que contienen excretas.

Se calcula con la siguiente fórmula:

$$Qdom = \frac{N\acute{u}m. Habitantes * Dotacion * F.R}{86 400}$$

Dónde:

Núm. habitantes= número de habitantes

Dotación = dotación (lts/hab/día)

F.R.= factor de retorno

Q_{dom=} caudal domiciliar (lts/seg)

Qdom.=
$$\frac{157hab.*150\frac{lt}{hab}/dia*0.85}{86400seg}$$
=0,2316 lt/seg

2.1.4.6.2. Caudal de infiltración

El caudal aportado por agua de infiltración tendrá en cuenta, entre otros, la permeabilidad del terreno, la altura del nivel freático, si es que llega a alcanzar las tuberías, el tipo de tubería y juntas empleadas, la forma de unión de las conexiones domiciliares y conexiones de la cámara de inspección, tomándose en consideración la posibilidad de fisuras y roturas de juntas debidas a temblores de tierra.

Para tuberías que quedarán sobre el nivel freático:

- Tuberías de cemento: qi= 0,025* diámetro en pulgadas
- Tuberías de PVC: qi= 0,01* diámetro en pulgadas

Para tuberías que quedaran bajo el nivel freático

- Tuberías de cemento: qi= 0,15* diámetro en pulgadas
- Tuberías de PVC: qi= 0,02* diámetro en pulgadas

$$Qinf. = \frac{16\ 000(\frac{37+32*6}{1\ 000})}{86\ 400} = 0.042\ lt/seg$$

2.1.4.6.3. Caudal de conexiones ilícitas

Deben considerarse los aportes de aguas de lluvia al sistema de alcantarillado sanitario, provenientes de malas conexiones de bajantes de tejado y patios. Estos aportes son función de la efectividad de las medidas de control sobre la calidad de las conexiones domiciliarias y de la disponibilidad de sistemas de recolección y evacuación de aguas lluvias. La información existente en la localidad sobre conexiones erradas debe utilizarse en la estimación de los aportes correspondientes. En caso de que el área del proyecto no disponga de un sistema de recolección y evaluación de aguas lluvias, deben considerarse aportes máximos de drenaje pluvial domiciliario a la red sanitaria.

Se calculó por el método racional.

$$Qconexionesilicitas = \frac{CIA}{360} = \frac{CI(A\%)x100}{360}$$

Donde:

Q= caudal (m³/seg)

C= coeficiente de escorrentía

I= intensidad de Iluvia (mm/hora)

A= área que es factible de conectar (Has)

 La Municipalidad de Guatemala dice, que al caudal de diseño se le debe agregar 100 lts/hab/día. Debido a posibles conexiones ilícitas.

Textos y publicaciones dados en clase toman el criterio de 150
 Its/hab/día. Ya que:

Según Unepar-Infom, le suman un 10 a 15 % al caudal cloacal.

2.1.4.6.4. Caudal comercial e industrial

El consumo de agua industrial varía de acuerdo con el tipo y tamaño de la industria, y los aportes de aguas residuales varían con el grado de recirculación de aguas y los procesos de tratamiento. En consecuencia, los aportes de aguas residuales industriales Qi deben ser determinados para cada caso en particular, con base en consumos industriales y estimativos de ampliación y consumos futuros. En cada caso, debe considerarse la naturaleza de los residuos industriales, y su aceptación al sistema de alcantarillado.

Para zonas netamente comerciales, el caudal de aguas residuales Qc debe estar justificado con un estudio detallado, basado en consumos diarios por

persona, densidades de población en estas áreas y coeficientes de retorno mayores que los de consumo doméstico.

Puede estimarse entre 600 a 3 000 lts/comercio/día

$$Qdom = \frac{N\acute{u}m.\,comercios\,x\,dot.}{86\,400}$$

Para este proyecto no se tomará en cuenta el caudal comercial ni industrial ya que no existen comercios.

2.1.4.7. Factor de caudal medio

Este factor regula la aportación del caudal en la tubería. Se considera como la suma de los caudales domésticos, de infiltración, por conexiones ilícitas, comercial e industrial dividido entre el número de habitantes a servir por tramo. Este factor según el Infom debe estar entre los rangos de 0,002 a 0,005. Si da un valor menor se tomará 0,002, y si fuera mayor se tomará 0,005. Se calcula de la siguiente forma:

$$fQmedio = \frac{Qmedio}{N\acute{u}m. hab}$$

 $0,002 \le f \text{ Qmedio} \le 0,005$

fQmedio=
$$\frac{0.29687}{157}$$
 = 0,00189 se usa 0,002

2.1.4.8. Caudal de diseño

El caudal con que se diseñará cada tramo del sistema sanitario será la suma de:

- Caudal máximo de origen doméstico.
- Caudal de infiltración.
- Caudal ilegal por aguas de lluvia que se conecten en patios o bajadas de techo por error; por este concepto se agregará un 10 por ciento del caudal doméstico. Sin embargo, en áreas donde no hay drenaje pluvial podrá usarse un valor más alto.

Q_{diseño}=Núm. Hab.*fQm*FH

Q_{diseño}=157*0,002*4,1545=1,3045 lt/seg

2.1.4.9. Sección del tipo de tubería

En México los alcantarillados, usando tubería de PVC, han tenido aplicaciones satisfactorias, en Europa y EE.UU., su uso es muy generalizado, ya que se aprovecharon las grandes ventajas que tiene este material, tales como: resistencia química, hermeticidad, ligereza, impermeabilidad, pared interior lisa, larga vida útil, entre otros, lo cual permite a iguales condiciones de pendiente diámetro, transportar un mayor gasto que las tubería sucedáneas.

Tomando en cuenta las ventajas que ofrece la tubería PVC en cuanto a costo mayor paredes interiores más finas, evitando la depositación o incrustación en la sección interior, mayor caudal para el mismo valor de

diámetro exterior, ligereza que facilita transporte, manipulación e instalación, disminuyendo su coste, y es el más utilizado en la actualidad.

2.1.4.10. Diseño de secciones y pendientes

En general se usarán en el diseño secciones circulares de PVC, funcionando como canales.

El cálculo de la capacidad, velocidad, diámetro y pendiente se hará aplicando la fórmula de Manning, transformada al sistema métrico para secciones circulares así:

$$V = (0.03429/n) \times D^{2/3} \times S^{1/2}$$

En la cual:

V= velocidad del flujo a sección llena (m/seg)

D= diámetro de la sección circular (m)

S= pendiente de la gradiente hidráulica (m/m)

n= coeficiente de rugosidad Manning o kutter

= 0,010 para tubos de PVC.

$$V = \frac{0.03429 \times 6^{\frac{2}{3}} \times 0.1335^{1/2}}{0.010} = 4.1369 \ m/seg$$

2.1.4.11. Velocidades máximas y mínimas

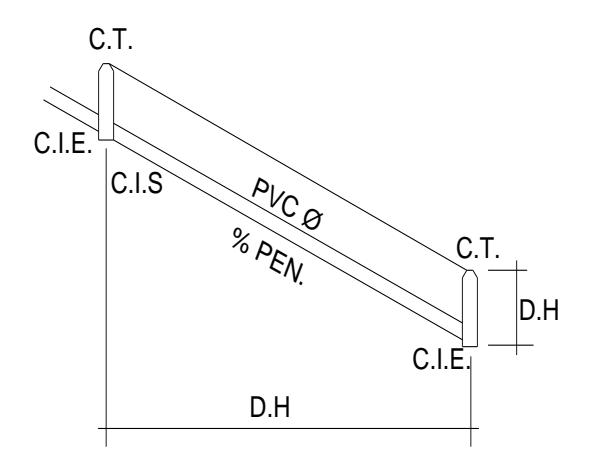
La velocidad máxima con el caudal de diseño será de 2,50 m/seg

La velocidad mínima con el caudal de diseño será de 0,60 m/seg

2.1.4.12. Cotas invert

Es la distancia vertical que existe entre la cota en la rasante del terreno y la cota interior de la tubería, se debe verificar siempre que se asegure el recubrimiento mínimo necesario en la tubería. Para calcular la cota invert se toma como base la pendiente del terreno y la distancia entre pozos (ver figura 2).

Figura 2. Cotas invert en pozos de visita



Fuente: elaboración propia, empleando ETABS.

Es de importancia tomar en cuenta las siguientes reglas:

La diferencia de cotas invert entre las tuberías que entran y la que sale de un pozo de visita será como mínimo de 0,03 m.

Cuando el diámetro interior de la tubería que entra a un pozo de visita sea menor que el diámetro interior de la que sale, la diferencia de cotas invert, será como mínimo la diferencia de los diámetros.

Siempre que la diferencia de cotas invert entre la tubería que entra y la que sale en el pozo de visita sea mayor de 0,70 m., deberá diseñarse un accesorio especial que encause el caudal con un mínimo de turbulencia.

Fórmula:

NTf = NTi – (D.H * Sterreno %)
$$Sterreno\% = \frac{NTi - NTf}{D.H.} * 100$$
CISinicial = NTi – (Htrafico + Etubo + \otimes)
CIA tramo = CIE – 0,03 m

Donde:

NTf= nivel o cota del terreno final

NTi= nivel o cota del terreno inicial

D.H.= distancia horizontal entre pozos de visita

S%= pendiente

CISinicial= cota invert de salida de tramo inicial

CIStramo= cota invet de salida de tramo de continuidad

CIE= cota invert de entrada

Hpozo inicial= altura de pozo de visita inicial

Hpozo final= altura de pozo de visita final

En este diseño se obtiene siete pozos de visita en los que la diferencia de la cota invert de entrada y cota invert de salida es mayor a 0,70 m por lo que se diseñó pozos con disipadores de energía.

Los pozos con disipadores son PV-16, PV-17, PV-18, PV-19, PV-20, PV-21, PV-22, todos los demás pozos son típicos. El detalle de los pozos se detalla en los planos.

2.1.4.13. Diámetro de tubería

Las normas del Instituto Nacional de Fomento Municipal (Infom), indican que el diámetro mínimo a colocar será de 8" en el caso de tubería de concreto y 6" para tubería de PVC, esto si el sistema de drenaje es sanitario, se utilizan estos diámetros debido a requerimientos de limpieza, flujo y evitar obstrucciones. Para las conexiones domiciliares, se puede utilizar un diámetro de 6" para tubería de concreto y 4" para tubería de PVC, formando ángulo de 45 grados en el sentido de la corriente del colector principal.

Para este diseño se propone tubería PVC, el diámetro mínimo que se va a utilizar para el proyecto es de 6 y 8" para el colector principal, según la Norma ASTM 3034, y 4 pulgadas para las conexiones domiciliares, ya que con ese diámetro se cumple con los parámetros mínimos de diseño.

2.1.4.14. Pozos de visita

Los pozos de visita son estructuras que permiten la inspección y limpieza de las redes sanitarias. Se utilizan en: la unión de varias tuberías, en los cambios de diámetro, de dirección y de pendiente.

En la figura 3 se detalla el diseño de los pozos de visita tradicionales.

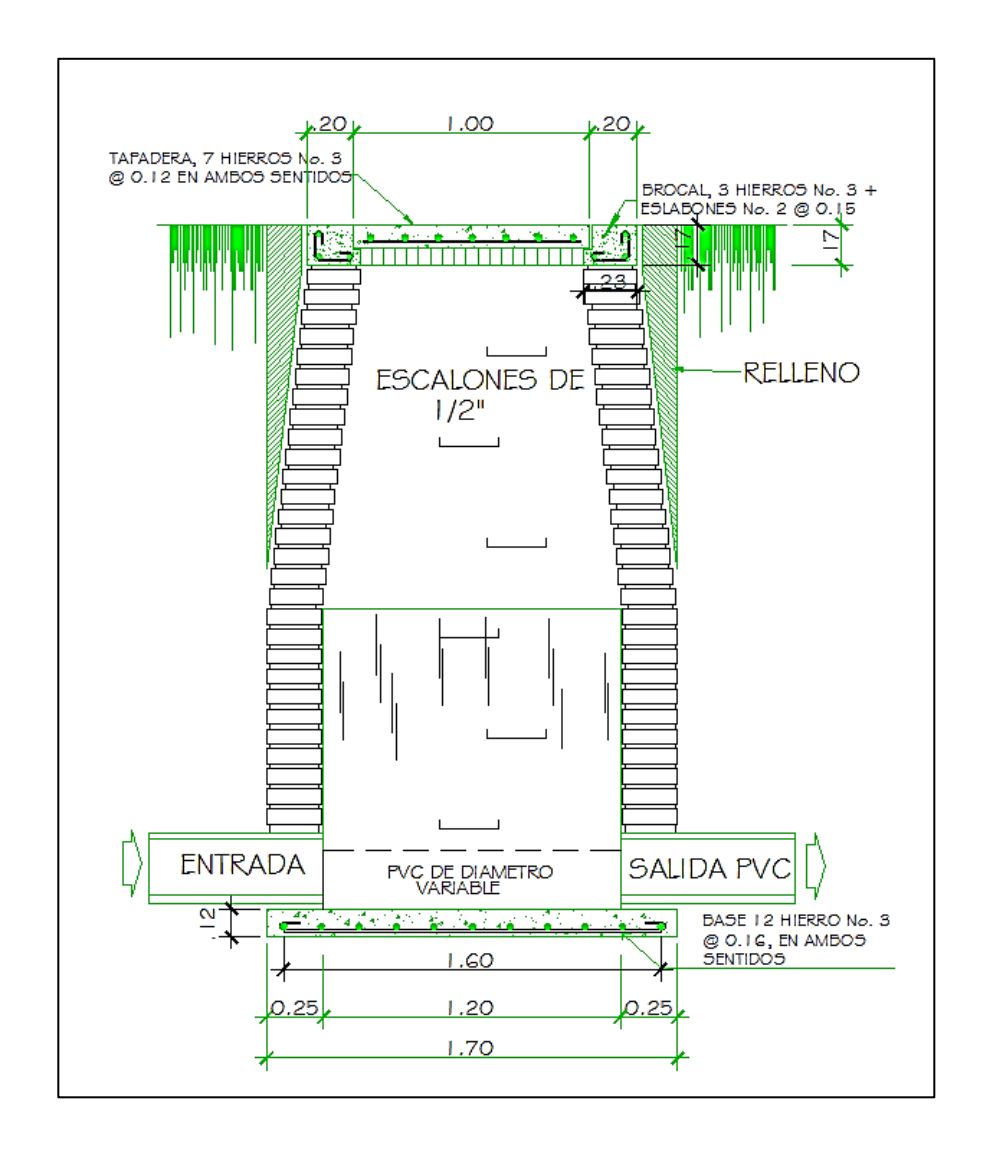


Figura 3. Pozo de visita

Fuente: elaboración propia, empleando AutoCAD.

Se diseñarán pozos de visita para localizarlos en los siguientes casos:

- En cambios de diámetro.
- En cambios de pendiente.
- En cambios de dirección horizontal para diámetro menores de 24".

- En las secciones de tuberías colectoras.
- En los extremos superiores ramales iniciales.
- A distancias no mayores de 100 metros en línea recta en diámetros hasta de 24".
- A distancias no mayores de 300 metros en diámetros superiores a 24".

2.1.4.15. Conexiones domiciliares

Tuberías usadas para conectar el sistema interno de desagüe de viviendas con el colector central, el diámetro mínimo será de 6" en concreto y de 4" en PVC según norma ASTM 3034, usando en este último caso un reducidor de 4"x3" como protección de obstrucciones, a la entrada de la conexión, en la candela de registro domiciliar, la cual será un diámetro mínimo de 12".

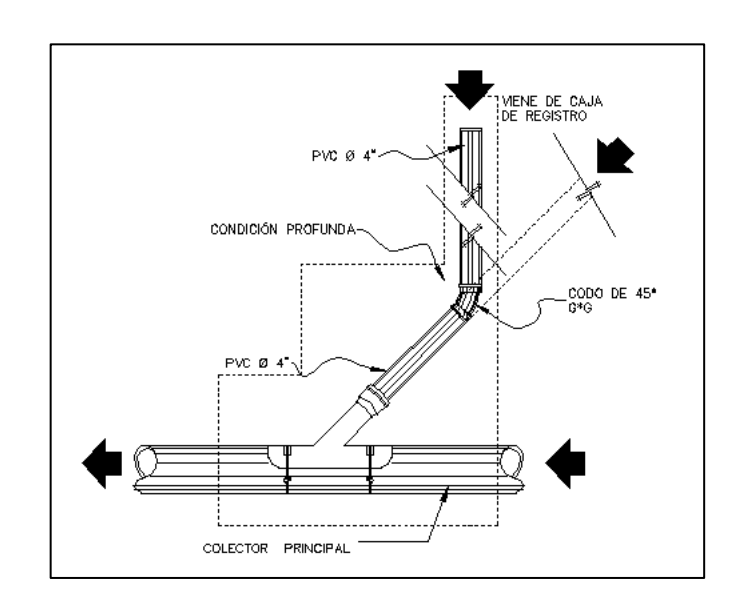


Figura 4. **Esquema de conexiones domiciliares**

Fuente: elaboración propia, empleando ETABS.

Para este proyecto se utilizó tubería PVC de 4" de diámetro según Norma ASTM 3034, así como silleta "Y" o "T" 6" x 4" ASTM 3034, para la candela se utilizó tubo de concreto de 12" de diámetro.

2.1.4.16. Profundidad de tubería

La profundidad mínima del coronamiento de la tubería con respecto a la superficie del terreno será de 1,20 metros como se muestra en la figura 5.

Cuando la altura de coronamiento de la tubería principal resulte a una profundidad mayor de 3,00 metros bajo la superficie del terreno, se diseñará una tubería auxiliar, sobre la principal para las conexiones domiciliares del tramo correspondiente.

D = 12

PEND. 2% MIN.

Colector Principal

Figura 5. **Profundidad de tubería**

Fuente: elaboración propia, empleando ETABS.

2.1.5. Principios hidráulicos

La función de los sistemas de alcantarillados es transportar los desechos por medio de tuberías, en donde la superficie de agua está sometida a presión atmosférica y eventualmente sometida a presiones gases que se produzcan en el sistema. El flujo se determina por la pendiente y la superficie del tubo con el que se realiza el diseño.

2.1.6. Diseño de la red de alcantarillado sanitario

El diseño del sistema de alcantarillado sanitario, se realizó de acuerdo a las normas del Instituto de Fomento Municipal (Infom). El diseño se realizó en el programa AutoCAD civil 3D desktop 2014, con los parámetros de diseño que se presentan en la tabla I:

Tabla I. Parámetros de diseño

Alcantarillado sanitario en el caserío El Cerro	
Período de diseño	25 años
Viviendas actuales	186 viviendas
Viviendas futuras	486 viviendas
Densidad de habitantes/viviendas	5 hab/vivienda
Población actual	930 hab
Tasa de crecimiento	3,92 %
Población futura	2 432 hab
Dotación	150 lts/hab/día
Factor de retorno	85 %
Velocidad de diseño	$0.6 \text{ m/s} \le v \le 3.00 \text{ m/s}$
Tipo de evaluación	Por gravedad
colector principal	
Tipo y diámetro de tubería	PVC Ø 6" y 8" n=0,010
Pendiente	Variable cada tramo

Fuente: elaboración propia.

Ejemplo de diseño de un tramo

Como ejemplo se diseñará el tramo entre los pozos de visita PV-3 a PV-4 con los siguientes datos:

Características:

Tipo de sistema Alcantarillado sanitario

Distancia 37,00 m

Número de casas del tramo 3. Número de casas acumuladas: 12

Densidad de vivienda 5 hab. /vivienda

Total de habitantes a servir Actuales: 60 Futuros: 157

Dotación 150 lts/hab/día

Cotas del terreno Inicial 1 084,65

Final 1 079,71

Pendiente del terreno

$$S\% = \frac{CTi - CTf}{D.H} * 100$$
$$S\% = \frac{1079,71 - 1084,65}{37,00} * 100 = 13,35 \%$$

Caudal domiciliar

$$Qdom. = \frac{Dot. * Núm. de hab. * FR}{86 400}$$

$$Qdom. = \frac{150 *157 *0,85}{86 400} = 0,2317$$

Qinf.=
$$\frac{16\ 000\left(\frac{37+12*6}{1\ 000}\right)}{86\ 400} = 0.042 \text{ lt/seg}$$

Q medio = 0.2317 + 0.042 + 0.02317 = 0.29687 lt/seq

Factor de caudal medio

$$Fqmed = \frac{Q \ medio}{N \acute{u}m.hab}.$$

$$Fqmed = \frac{0,29687}{157} = 0,00189$$

Como fqmed < 0,002 se toma Fqmed= 0,002

Factor de Harmond

F.H.=
$$\frac{18 + \sqrt{P}}{4 + \sqrt{P}}$$

 $F.H. = \frac{18 + \sqrt{0,157}}{4 + \sqrt{0,157}} = 4,1845$

Caudal de diseño

Qdiseño= Fqm*F.H.*Núm. Hab.

Qdiseño= 0,002*4,1845*157= 1,3139 lt/seg

Diámetro 6" (tubo PVC)

Pendiente tubería 13,35 %

Velocidad a sección llena

$$V = \frac{0.03429 * D^{\frac{2}{3}} * S^{1/2}}{n}$$

$$V = \frac{0.03429 * (6)^{\frac{2}{3}} * 0.1335^{1/2}}{0.010} = 4.1369 \text{ m/seg}$$

Caudal a sección llena

Q Sección Ilena = A*V

Q sección llena=
$$\frac{\pi}{4}$$
(6*0,0254²)*4,1369*1 000= 75,4631 lt/seg

Relación de caudales

q dis/Q sección llena= 1,3139 / 75,4631 = 0,01741

Con la relación q/Q se buscan los siguientes datos:

Relación de velocidad v/V= 0,380479

Relación d/D = 0.167

Velocidad a sección parcial v =V * v/V

$$v = 4,1369 * 0,380479 = 1,5740$$

Revisión de parámetros hidráulicos

• Caudales q dis /Q sección llena 0,01741 l/s < 8,8465 l/s Cumple

• Velocidad 0,6 m/s \leq v \leq 3,00 m/s 0,6 m/s \leq 1,574 m/s \leq 3,00 m/s Cumple

• Tirante $0.10 \le d/D \le 0.75$ $0.10 \le 0.167 \le 0.75$ Cumple

Distancia horizontal efectiva

Diámetro de pozo: 1,20 m

Grosor de las paredes ladrillo tayuyo 21*12,5*6,5

DHefec= distancia entre pozos - ((ΦPV3+grosor paredes PV3)/2 +

(ΦPV4+grosor paredes PV4)/2)

DHefec= 37 - ((1,2+0,46)/2 + (1,2+0,46)/2) = 35,34 m

Cota invert de salida PV-3

CISPV3= CIEPV3 - 0,03

CISPV3 = 1084,65 - 0,03 = 1084,62

Cota invert de salida PV-4

CIEPV4 = CISPV3-(S tubería %*DH efec.)

CIEPV4= 1 084,62- (0,1335*35,34) = 1 079,9021

Profundidad pozo de visita PV-3

HPV3= CTPV3 - CISPV3

HPV3 = 1 084,65-1 084,62 = 0,03

Profundidad pozo de visita PV4

HPV4=CTPV4-CISPV4

HPV4 = 1079,71 - 1084,62 = 4,91

Los datos y resultados del cálculo para todos los ramales, realizado con el procedimiento anterior, se presentan en las tablas del apéndice.

2.1.7. Diseño de fosa séptica

Al final del sistema de drenaje se construirá un pozo de visita, previsto para conectarse directamente a la planta de tratamiento. El sistema séptico convencional que fluye por gravedad consiste en una serie de tanques o un tanque con compartimientos, seguido por un sistema de distribución. Los tanques sépticos son utilizados para asentar los sólidos y tratar parcialmente las aguas negras antes de que lleguen al sistema de distribución.

El sistema de distribución puede ser una de las operaciones de campo de drenaje subterráneo. Estos consisten en fosas llenas de grava, cámaras de plástico o tubería de plástico instalada bajo tierra para retener las aguas negras que salen de los tanques hasta que puedan filtrarse al suelo de su alrededor.

La tierra proporciona la mayoría del tratamiento de las aguas negras. Las partículas de la tierra filtran la materia orgánica y los sólidos de las aguas negras. Los microbios que viven en la tierra, procesan los sólidos y matan la bacteria y los patógenos que contienen las aguas negras.

Ventajas

El sistema séptico convencional que fluye por gravedad es usualmente el sistema más económico de instalar y operar para el desecho de las aguas negras producidas en la casa.

Desventajas

Los sistemas sépticos convencionales por gravedad no pueden ser instalados en suelos arcillosos, suelos con subsuelos someros, suelos rocosos,

suelos que llegan a saturarse de agua durante los períodos lluviosos del año, ni en suelos con un nivel hidrostático alto. Se debe mantener una separación de dos pies entre el fondo del sistema de distribución y los suelos saturados o suelos restrictivos como los arcillosos o rocosos.

Características de un tanque séptico

Una fosa séptica construida sobre el terreno tiene un formato rectangular o cilíndrico. Para funcionar correctamente, deben tener unas dimensiones determinadas según un proyecto de ingeniería específico. La ejecución de este tipo de fosa séptica comienza con la excavación del pozo en el terreno donde la fosa va a quedar enterrada.

Debe darse un mantenimiento periódico. Este tipo de sistema de tratamiento de aguas negras tiene dos componentes: tanque séptico y sistema de campo de absorción.

Para el diseño de la fosa séptica debe tomarse en cuenta los siguientes parámetros:

- El período de retención es como mínimo de 12 horas.
- Relación largo-ancho de la fosa L/A; de 2/1 a 4/1.
- Lodos acumulados por habitante y por período de limpieza, es de 30 a 60
 Its/hab/año.
- La capacidad máxima recomendada para que la fosa sea funcional debe ser de 60 viviendas.

Se realizó el cálculo de la fosa séptica para determinar las dimensiones, tomando en cuenta los parámetros para el diseño de cada una.

Según el cálculo para un tratamiento primario se deben construir 8 fosas sépticas para que sea funcional y para un período de diseño de 25 años, tomando en cuenta las dimensiones de cada una se debe tener un área extensa, esto limita la posibilidad de su construcción, y se debe realizar un análisis por un estudiante de ingeniería sanitaria o un ingeniero con maestría en sanitaria, para encontrar otra opción de diseño para el tratamiento de las aguas negras.

Procedimiento para cálculo de dimensiones:

A= ancho L= largo H= altura

Datos para cálculo de fosa

Periodo de retención se asume 24 horas

Dot. (q)=150 l/hrs/día

Núm. Hab. (N)= 360 hab.

Lodos= 30 l/hrs/ año

Relación = 2/1

Período de limpieza= 5 años

Factor de retorno= 0,85

Volumen de líquidos

Q= q*N*F.R.= 150 l/hrs/día* 360 dia*0,85= 45 900 l/día

 $Q = 45,90 \text{ m}^3/\text{dia}$

Vol. = Q.T. = $45,90 \text{ m}^3/\text{dia}^24 \text{ hrs}^{*1} \text{ dia}/24 \text{ hrs}^{=}45,90 \text{ m}^3$

Volumen de lodos

V= N*lodo gasto anual

V=360 hab.* 30l/hab./año=10 800l/año= 10,8 m³/año

V= 10,80 m
3
/ año * 5 años (período de limpieza)
V= 54 m 3
Volumen total= 45,9+54,0 m 3 =99,90 m 3
V= A * L * H= 99,90 m 3

Si L/A= 2 entonces L= 2A

Se asume H= 2,5 m

 $V = 2*A^2*H$

 $A^2 = V/2H$

 A^2 = 99,90 m/ (2*2,50) = 19,98

A = 4,47 se aproxima a 4,50 m²

Entonces L= 2(4,5) = 9,00 m

Las dimensiones son: A=4,5

L = 9.0

H = 2,5

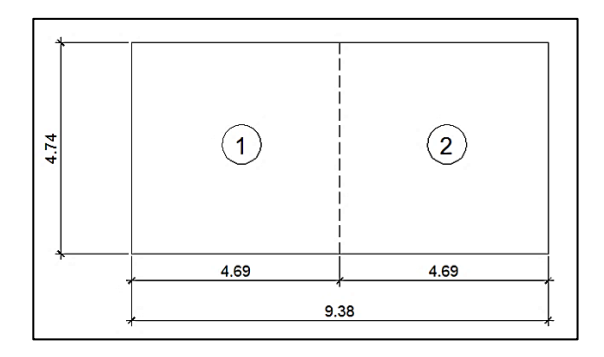
Se necesitan 3 fosas y para un período de 25 años se necesitarian 8 fosas

Diseño de la losa superior del tanque

Fosa séptica de dos compartimientos:

El primer compartimiento será 2/3 de largo y el segundo será 1/3 de largo como se muestra en la figura 6.

Figura 6. Planta de losa



Relación para losa 1 a/b = 4 695/4,75 = 0,98

Como a/b > 0,5 la losa debe diseñarse en dos sentidos.

Espesor t=
$$2^*$$
 (a + b) /180 metros = 2^* (4,69+4,75)/180

t = 0,11 m

Relación para losa 2 a/b = 4,695/4,75 = 0,98

Como a/b > 0,5 la losa debe diseñarse en dos sentidos.

Espesor
$$t = 2^* (a + b)/180 \text{ metros} = 2^* (4,69 + 4,75)/180$$

t = 0,11 m

Según el ACI, para losas en dos sentidos: 0,09< t < 0,15

Se utilizará t = 0,15 metros para ambas losas, para tener simetría con los muros de concreto reforzado

Cargas:

Carga muerta (Cm):

Peso propio de losa: 2 400 kg/m 3 * 0,15 m= 360 kg/m 2

Peso de acabados = 70 kg/m^2

$$Cm = 430 \text{ Kg/m}^2$$

Carga viva (Cv) = 100 kg/m^2

Carga ultima (Cu) = 1,4 * Cm + 1,7 * Cv

$$Cu = 1,4 *430 \text{ kg/m}^2 + 1,7 * 100 \text{ kg/m}^2$$

$$Cu = 772,00 \text{ kg/m}^2$$

Se utiliza el método 3 para el cálculo de los momentos positivos y negativos, se diseña como caso 1, según el Instituto Americano del Concreto (ACI), por ser una losa discontinua en los cuatro lados:

$$M(+)a = c_{a,dlwd}L_a^2 + c_{a,lwl}L_a^2$$

$$M(+)b = c_{b,d|wd}L_b^2 + c_{b,|w|}L_b^2$$

$$M(+)a = (0.032*170.00 \text{ kg/m}^2*(4.69 \text{ m})^2)+(0.032*602.00 \text{ kg/m}^2*(4.69 \text{ m})^2)$$

= 543,39 kg-m

$$M(+)b = (0.035*170.00 \text{ kg/m}^2*(4.74 \text{ m})^2) + (0.035*602.00 \text{ kg/m}^2*(4.74 \text{ m})^2)$$

= 607.07 kg-m

$$M(-)a = M(+)a/3$$

$$M(-)b = M(+)b/3$$

$$M(-)a = 543,39 \text{ kg-m/3} = 181,13 \text{ kg-m}$$

$$M(-)b = 607,07 \text{ kg/m/3} = 202,36 \text{ kg-m}$$

Cálculo de peralte d:

$$d=15.00-2.00-0.5=12.50$$
 cm

Cálculo del refuerzo:

Datos:

Resistencia a compresión del concreto: F'c=210 Kg/cm²

Esfuerzo de ruptura del acero: Fy= 2810 kg/cm²

b=100 cm

t=15 cm

$$Ø = 3/8 = 0.95 \text{ cm}$$

Asumiendo: $\emptyset = 3/8$ "

$$AS_{min} = (14, 1/Fy)*b*d$$

$$AS_{min} = (14,1/2810)*100*12,50$$
 AS _{min}= 6,27 cm²

$$AS_{min} = 6.27 \text{ cm}^2$$

Espaciamiento máximo:

$$Smax = 3* t=3*0,15 m = 0,45 m$$

$$As = [(b*d) - \sqrt{(b*d)^2 - \frac{Mu*b}{0,003825*F'c}}] * \frac{0,85*F'c}{F'y}$$

$$As = [(100*12,5) - \sqrt{(100*12,5)^2 - \frac{607,07*100}{0,003825*210}}] * \frac{0,85*210}{2810}$$

$$As = 1.94 \text{ cm}^2$$

As
$$_{max} = 0.5*\ell_b*b*d = 0.5*0.03694*100*12.5 = 23.08 \text{ cm}^2$$

Se diseña con As $_{min}$ = 6,27 cm² y se calcula el espaciamiento S:

Se sabe que en 100 cm se necesita 4,76 cm²

$$6,27 \longrightarrow 100$$
 $0,71 \longrightarrow S$

 $S = 11,32 \text{ cm} \sim 12 \text{ cm}$

$$S_{max} = 3t = 3*15 \text{ cm} = 45 \text{ cm}$$

$$12,00 < S_{max}$$

Calculo de momento que resiste con As min.

MAs_{min} = 0,9*[As*F'y (d-
$$\frac{As*F'y}{1.7F'c*h}$$
)]

MAs_{min} = 0,9*[6,27*2810(12,5-
$$\frac{6,27*2810}{1,7*210*100}$$
)]= 1 903,84 kg-m

Cálculo de acero por temperatura:

Ast =
$$0.002b*t = 0.002*100*15= 3.00 \text{ cm}^2$$

$$S = 23,66 \text{ cm} \sim 25 \text{ cm}$$

$$S_{max} = 25,00 \text{ cm}$$

El refuerzo será varilla de hierro corrugado núm. 3 (\emptyset =3/8") @ 0,12 m con tenciones el l/5 y bastones a L/4 en cada sentido en una losa de espesor 0,15 m.

Diseño de muro de concreto para fosa séptica

Para el diseño del tanque, en este caso enterrado, la condición crítica se da cuando el mismo está vacio y actúa sobre los muros el empuje del suelo.

Se diseña como una losa en voladizo buscando mantener el mismo grosor de la losa superior para tener simetría en la estructura.

Datos:

Peso específico del suelo (Ss) = 1,6 ton/m³

Peso específico del concreto (Sc) = 2,4 ton/m³

Valor soporte del suelo (Vs) = 14,0 ton/m³

Relación para losa 1 a/b = 3,02/4,62 = 0,65

Como a/b > 0,5 la losa debe diseñarse en dos sentidos.

Espesor
$$t = 2*(a + b)/180 \text{ metros} = 2*(3,02 + 4,62)/180$$

t = 0.084 m

Según al ACI, para losas en dos sentidos: 0,09 < t < 0,15

Por simetría se utiliza t= 0,15 metros para los muros d concreto reforzado.

Cargas:

Carga muerta (Cm):

Peso propio de la losa: 2 400 kg/m 3 * 0,15 = 360 kg/m 2

Peso de acabados = $\frac{70 \text{ kg/m}^2}{}$

 $Cm = 430 \text{ kg/m}^2$

Carga viva (Cv) = $529,80 \text{ kg/m}^2$

Carga última (Cu) = 1,4 *Cm + 1,7 * Cv

 $Cu = 1.4 * 430 \text{ kg/m}^2 + 1.7 * 529.8 \text{ kg/m}^2$

 $Cu = 1502,66 \text{ kg/m}^2$

Se utiliza el método 3 para el cálculo de los momentos positivos y negativos, se diseña como caso 1, según el Instituto Americano del Concreto (ACI), por ser una losa discontinua en los cuatro lados:

$$M(+)a = c_{a,d}w_dL_a^2 + c_{a,IIWI}L_a^2$$

$$M(+)b = c_{b,d}w_dL_b^2 + c_{b,||W|}L_b^2$$

$$\mathsf{M}(+)\mathsf{a} = (0.059^*900.66 \text{ kg/m}^2 * (3.02 \text{ m})^2) + (0.044 * 602.00 \text{ kg/m}^2 * (3.02 \text{ m})^2)$$

= 726,23 kg-m

$$M(+)b = (0.011* 900.66 \text{ kg/m}^2 * (4.62 \text{ m}) + (0.009* 602.00 \text{ kg/m}^2 * (4.062 \text{ m})^2)$$

$$M(-)a = c_{a,W}L_a^2$$

$$M(-)b = c_b,_W L_b^2$$

$$M(-)a = 0.074 * 1502,66 kg/m2 * 3.02 m2 = 1 014,16 kg-m$$

 $M(-)b = 0.024 * 1502,66 \text{ kg/m}^2 * 4,62 \text{ m}^2 = 769,76 \text{ kg-m}$

Cálculos de peralte d:

d= t- recubrimiento - Ø/2

d=15,00-2,00-0,5=12,50 cm

Cálculo del refuerzo:

Datos:

Resistencia a compresión del concreto: F'c = 210 kg/cm²

Esfuerzo de ruptura del acero: F'y = 2 810 kg/cm²

b = 100 cm

t = 15 cm

 \emptyset = 3/8" = 0.95 cm

Asumiendo: $\emptyset = 3/8$ "

As $_{min} = (14, 1/F'v) * b * d$

As $_{min} = (14,1/2810)*100*12,50$

As $_{min} = 6.27 \text{ cm}^2$

Espaciamiento máximo:

$$S_{max} = 3 * t = 3 * 0,15 m = 0,45 m$$

$$As = [(b*d) - \sqrt{(b*d)^2 - \frac{Mu*b}{0.003825*F'c}}] * \frac{0.85*F'c}{F'y}$$

$$As = [(100*12.5) - \sqrt{(100*12.5)^2 - \frac{1414.16*100}{0.003825*210}}] * \frac{0.85*210}{2810}$$

$$As = \left[(100 * 12,5) - \sqrt{(100 * 12,5)^2 - \frac{1414,16 * 100}{0,003825 * 210}} \right] * \frac{0,85 * 210}{2810}$$

$$As = 4,60 \text{ cm}^2$$

As
$$_{max} = 0.5 * \ell_{b} * b* d = 0.5 * 0.03694 * 100 * 12.5 = 23.8 cm2$$

Se diseña con As _{min} =6,27 cm² y se calcula el espaciamiento S:

Se sabe que en 100 cm se necesita 6,27 cm²

$$6,27 \longrightarrow 100$$
 $0,71 \longrightarrow S$

$$S = 11,32 \text{ cm} \sim 12 \text{ cm}$$

$$S_{max} = 3t = 3 * 15 cm = 45 cm$$

Cálculo de momento que resiste con As min

M As min =
$$0.9*[As*F'y(d-\frac{As*F'y}{1.7F(c*h)})]$$

M As
$$_{min} = 0.9*[6,27*2~810(12,5-\frac{6,27*2~810}{1,7*210*100})] = 1~903,84~kg-m$$

El refuerzo será varillas de hierro corrugado núm. 3 (\emptyset = 3/8") @ 0.12 m en cada sentido y un espesor de losa de 0,15 m.

Diseño de la losa interior del tanque

Relación para losa 1 a/b = 4,50/9,15 = 0,50

Como a/b =0,5 la losa debe diseñarse en un sentido.

Espesor t = (L)/28 metros = (4,59)/28

t=0,16 m > 0,15 m se debe trabajar con losa nervada entonces se aproxima la relación a/b = $4,5/9,15 \sim 0,15$

La losa debe diseñarse en dos sentidos.

Espesor
$$t = 2^* (a + b)/180 \text{ metros} = 2^* (4,50 + 9,15)/180$$

t = 0.15 m

Se diseñará la losa con espesor t =15 cm

Cargas:

Carga muerta (Cm):

Peso propio de la losa: 2 400 kg/m 3 * 0,15 = 360 kg/m 2

Peso de acabados = $\frac{70 \text{ kg/m}^2}{}$

 $Cm = 430 \text{ kg/m}^2$

Carga viva (Cv) = 100 kg/m^2

Carga última (Cu) = 1,4 * Cm + 1,7 * Cv

 $Cu = 1,4 * 430 \text{ kg/m}^2 + 1,7 * 100 \text{ kg/m}^2$

 $Cu = 772 \text{ kg/m}^2$

Se utiliza el método 3 para el cálculo de los momentos positivos y negativos, se diseña como caso 1, según el Instituto Americano del Concreto (ACI), por ser una losa discontinua en los cuatro lados:

$$M(+)a = M(+)a = c_{a,d} w_d L_a^2 + c_{a,||W|} L_a^2$$

$$M(+)b = c_{b,d}w_dL_b^2 + c_{b,||W|}L_b^2$$

$$M(+)a= (0.066 * 170.00 \text{ kg/m}^2 * (4.50 \text{ m})^2) + (0.037 * 602.00 \text{ kg/m}^2 * (4.50 \text{ m})^2)$$

= 678.25 kg-m

$$M(+)b = (0.042 * 170,00 kg/m2 * (9.15m)2) + (0.002 * 430,00 kg/m2 * (9.15 m)2)$$

= 128,93 kg-m

$$M(-)a = c_{a,W}L_a^2$$

$$M(-)b = c_b, W L_b^2$$

$$M(-)a = (0.086 * 772.00 \text{ kg/m}^2 * 4.5 \text{ m})^2 = 1 344.43 \text{ kg-m}$$

$$M(-)b = (0,006 * 772,00 \text{ kg/m}^2 9,15 \text{ m})^2 = 387,80 \text{ kg-m}$$

Cálculo de peralte d:

d= t- recubrimiento $- \emptyset/2$

$$d=15,00-2,00-0,5=12,50$$
 cm

Cálculo del refuerzo:

Datos:

Resistencia a compresión del concreto: F'c = 210 kg/cm²

Esfuerzo de ruptura del acero: F'y = 2 810 kg/cm²

b= 100 cm

t= 15 cm

$$Ø = 3/8$$
" = 0,95 cm

Asumiendo: $\emptyset = 3/8$ "

As
$$_{min} = (14, 1/Fy) * b * d$$

As
$$_{min} = (14,1/2810) * 100 * 12,50$$

As
$$_{min} = 6,27 \text{ cm}^2$$

Espaciamiento máximo:

$$S_{max} = 3 * t = 3 * 0.15 m = 0.45 m$$

$$As = [(b*d) - \sqrt{(b*d)^2 - \frac{Mu*b}{0,003825*F'c}}] * \frac{0,85*F'c}{F'y}$$

$$As = [(100*12,5) - \sqrt{(100*12,5)^2 - \frac{1344,43*100}{0,003825*210}}] * \frac{0,85*210}{2810}$$

$$As = 4,37 \text{ cm}^2$$

As $_{max} = 0.5 * \ell_{b} * b * d = 0.5 * 0.036994 * 100 * 9.5 = 17.54 cm²$

Se diseña con As = 6,27 cm² y se calcula el espaciamiento S:

Se sabe que en 100 cm se necesita 6,27 cm²

$$6,27 \longrightarrow 100$$
 $0,71 \longrightarrow S$

$$S = 11,32 \text{ cm} \sim 12 \text{ cm}$$

$$S_{max} = 0.5 * \ell_b * b * d = 0.5 * 0.03694 * 100 * 9.5 = 17.54 cm^2$$

12.00 < S_{max}

Entonces el área de acero será 6,27 cm² por metro lineal, en ambas direcciones.

Cálculos de momento que resiste con As.

M As _{min} = 0,9*[As*F'y(d-
$$\frac{As*F'y}{1.7F'c*b}$$
)]

M As _{min} =
$$0.9*[6.27*2 810(12.5 - \frac{6.27*2 810}{1.7*210*100})] = 1 903.84 \text{ kg-m}$$

Cálculo de acero por temperatura:

$$As_{t} = 0,002b * t = 0,002 * 100 * 15 = 3,00 cm^{2}$$

$$3,00 \xrightarrow{\hspace*{4cm}} 100$$

$$0,71 \xrightarrow{\hspace*{4cm}} S$$

$$S = 23,66 cm \sim 25 cm$$

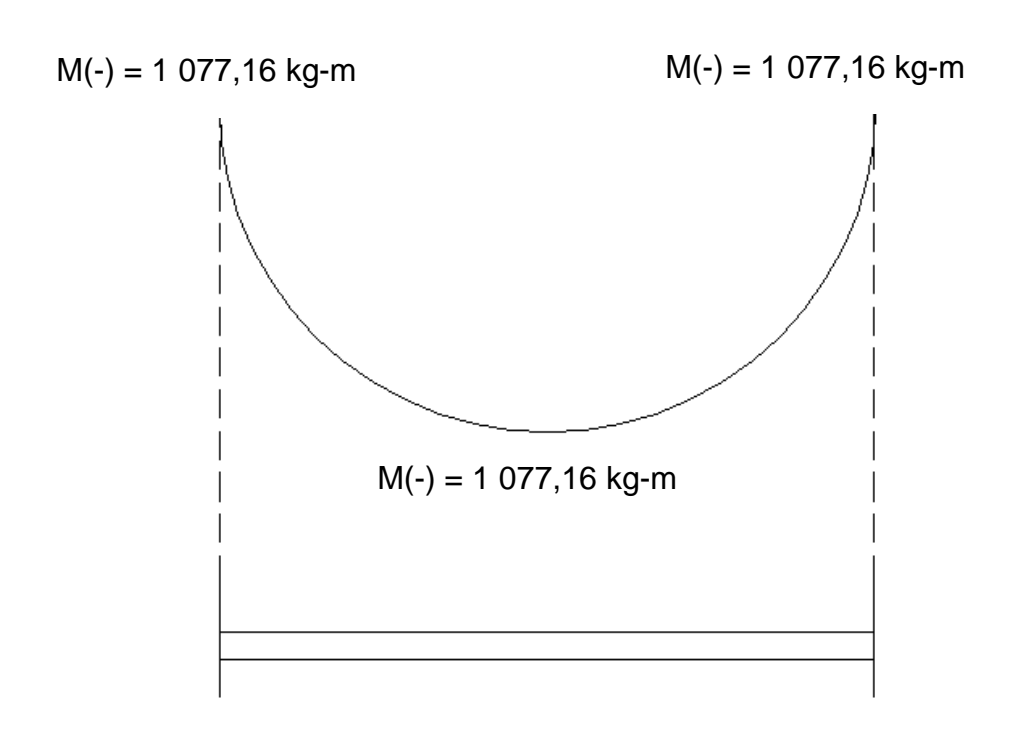
$$S_{max} = 45,00 cm$$

El refuerzo será varillas de hierro corrugado núm. 3 (\emptyset = 3/8") @ 0,12 m en cada sentido y un espesor de losa de 0,15 m.

Diseño de viga

Cálculo de momentos de la viga que soporta la losa superior de la fosa séptica (ver figura 7).

Figura 7. **Diagrama de momentos**



Fuente: elaboración propia.

Dimensiones propuestas 15 * 30 cm

Datos:

$$As(-) = \left[(15 * 26) - \sqrt{(15 * 26)^2 - \frac{1077,16 * 15}{0,003825 * 210}} \right] * \frac{0,85 * 210}{2810}$$

As (-) = 1,69 cm²

$$As(+) = [(15 * 26) - \sqrt{(15 * 26)^2 - \frac{1508,02 * 15}{0,003825 * 210}}] * \frac{0,85 * 210}{2810}$$
As (+) = 2,41 cm²

$$a = \frac{1,95 * 2810}{0,85 * 210 * 15}$$

$$a = 2,04$$

$$c = (0,85 * 210 * 2,04 * 15) = 5479,50$$

$$t = As * F'y$$

$$t = 2,04 * 2810 = 5479,5$$
Se comprueba que: c = t
$$b = \frac{0,85 \# F'c (6090)}{F'y (6090 + 2810)}$$

$$b = \frac{0,85 * \# * 210 (6090)}{2810 * (6090 + 2810)} = 0,0369$$

$$l_{max} = 0,5 l_b$$

$$l_{max} = 0,5 * 0,0369 = 0,01845$$
As max = 0,01845 * 15 * 26 = 7,20 cm²

Tabla II. Sumatoria de momentos

Sumatoria de momentos					
F(ka)	distancia	momento			
C=5 479,50	13,98	76 603,41			
T=5 479,50	68 493,75				
sumatoria de	145 097,16				

Momento último = 0,9 (momento interno)

$$Mu = 0.9 (145 097,16 \text{ kg-cm}) = 130 587,44$$

De esa forma As (-) = $2,13 \text{ cm}^2 \text{ y As (+)} = 2,84 \text{ cm}^2 \text{ La cama superior necesita}$ un área de acero de $1,69 \text{ cm}^2 \text{ y la inferior } 2,41 \text{ cm}^2$, se propone 3 varillas # 3 y 4 # 3 respectivamente (ver figura 8).

estribo # 3

3 varillas # 3

Figura 8. Corte de viga de refuerzo

Fuente: elaboración propia, empleando ETABS.

Diseño de espaciamiento de estribos

Cálculo de corte que resiste el concreto

$$V_{cu} = \emptyset 0,53 \sqrt{F'c} * b* d$$

$$V_{cu} = 0.85 * 0.53 \sqrt{210} * 15* 30$$
 $V_{cu} = 2.54 \text{ ton} > Vu$

Entonces colocar estribos

Calcular a que distancia resiste corte el concreto

Con triángulos semejante se obtiene que x' & x" = 0,51 mt

Calcular el espaciamiento de estribos para cortes V= 17,37 ton.

Ucu =
$$\emptyset$$
 0,53 $\sqrt{f'c}$ = 0,85 * 0,53 * 14,49

$$Ucu = 6.52$$

El cálculo de espaciamiento S

$$S = \frac{Av * f'y}{(Ua - Ucu) * b}$$

$$S = \frac{2*0,71*2810}{(44,5-6,52)*15}$$

$$S = 7,00 \text{ cm} = 0,07 \text{ m}$$

El primer estribo se coloca a S/2 = 3.5 cm, usar 5 estribos con espaciamiento de 7 cm y luego calcular espaciamiento para otros 5.

Calcular el corte a 31,50 cm

Por triángulos se sabe que:

$$\frac{17,37}{3,55} = \frac{Va}{3,24}$$

Va = 15,85 ton

Calcular cortante a 31,50 cm, Va = 15,85 ton

Ua = Va/bd = 15.850/15*26

Ua= 40,64 kg/cm²

Ucu=
$$\emptyset$$
 0,53 $\sqrt{f'c}$ = 0,85 * 0,53 * 14,49

Ucu= 6,52

El cálculo de espaciamiento S

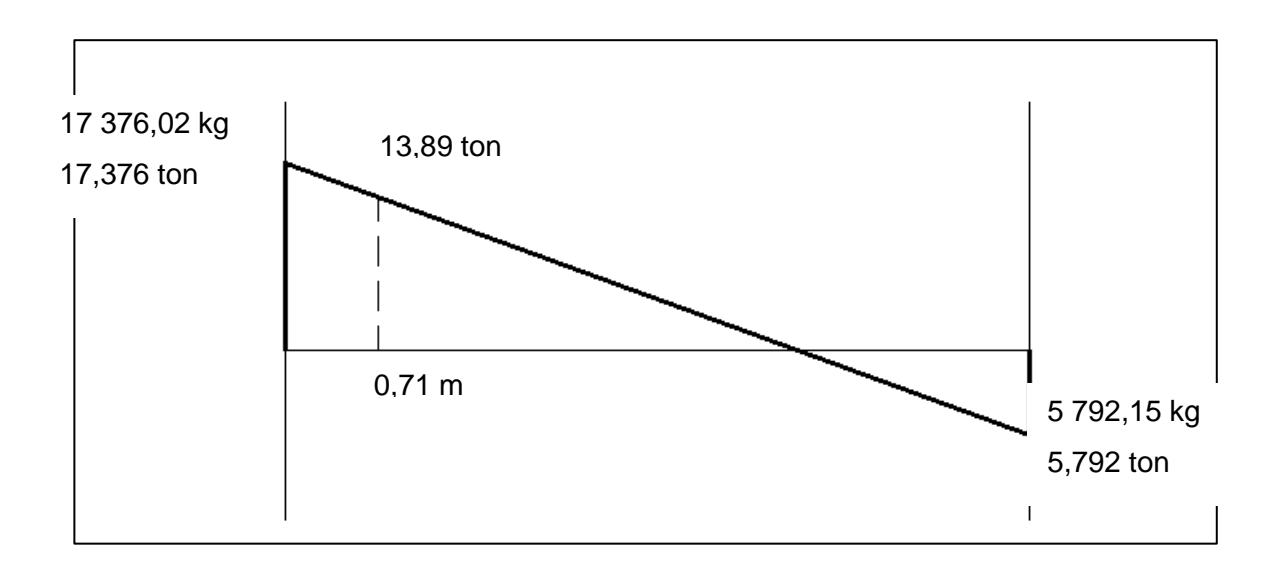
$$S = \frac{Av * f'y}{(Ua - Ucu) * b}$$

$$S = \frac{2*0,71*2810}{(40,64-6,52)*15}$$

$$S = 7.82 \text{ cm} \sim 0.08 \text{ m}$$

Colocar 5 estribos con espaciamiento de 8 cm y luego se calcula el cortante a 71,50 cm (ver figura 9).

Figura 9. **Diagrama de corte de viga**



Fuente: elaboración propia, empleando ETABS.

Por triángulos se sabe que:

$$\frac{17,37}{3,55} = \frac{Va}{2,84}$$

Va= 13,89 ton

Calcular cortante a 71,50 cm, Va = 13,89 ton

Ua Va/bd = 13 890/15*26

Ua= 35,61 kg/cm²

Ucu= Ø 0,53
$$\sqrt{f'c}$$
 = 0,85*0.53*14,49

Ucu= 6,52

El cálculo de espaciamiento S

$$S = \frac{Av * f'y}{(Ua - Ucu) * b}$$

$$S = \frac{2*0,71*2810}{(35,61-6,52)*15}$$

 $S = 9,15 \text{ cm} \sim 0,09 \text{ m}$

Se colocan otros 5 estribos a un espaciamiento de 9 cm y se calcula el cortante a 1,165 m

Por triángulos se sabe que:

$$\frac{17,37}{3,55} = \frac{Va}{2,385}$$

Va = 11,67 ton

Calcular cortante a 1,165 m, Va= 11,67 ton

Ua = Va/bd = 11,67/15*26

Ua= 29,92 kg/cm²

Ucu= \emptyset 0,53 $\sqrt{f'c}$ = 0,85*0,53*14,49

Ucu= 6,52

El cálculo de espaciamiento S

$$S = \frac{Av * f'y}{(Ua - Ucu) * b}$$

$$S = \frac{2*0,71*2810}{(29,92-6,52)*15}$$

S= 11,36 cm ~ 0,11 m

Se coloca otros 5 estribos a un espaciamiento de 11 cm y se calcula el cortante a 1,715 m.

Por triángulos se sabe que:

$$\frac{17,37}{3,55} = \frac{Va}{1,835}$$

Va= 8,97 ton

Calcular el cortante a 1,715 m, Va= 8,97 ton

Ua= Va/bd = 8 970 /15*26

Ua= 23 kg/cm²

Ucu= Ø 0,53 $\sqrt{f'c}$ = 0,85*0,53*14,49

Ucu= 6,52

El cálculo de espaciamiento S

$$S = \frac{Av * f'y}{(Ua - Ucu) * b}$$

$$S = \frac{2*0,71*2810}{(23,00-6,52)*15}$$

 $S = 16,14 \text{ cm} \sim 0,16 \text{ m}$

16 cm S max

Entonces los estribos tendrán espacio de 13 cm.

2.1.8. Dimensionamiento de pozos de absorción

Los pozos de absorción podrán usarse cuando no se cuente con área suficiente para la instalación del campo de percolación o cuando el suelo sea impermeable dentro del primer metro de profundidad.

- El área efectiva de absorción del pozo lo constituye el área lateral del cilindro (excluyendo el fondo). Para el cálculo se considera el diámetro exterior del muro y la altura quedará fijada por la distancia entre el punto de ingreso de los líquidos y el fondo del pozo.
- La capacidad del pozo de absorción se calculará con base en las pruebas de infiltración que se hagan en cada estrato, usándose el promedio ponderado de los resultados para definir la superficie de diseño.
- Todo pozo de absorción deberá introducirse por lo menos 2 m en la capa filtrante, siempre y cuando el fondo del pozo quede por lo menos a 2 m sobre el nivel máximo de la capa freática.
- El diámetro mínimo del pozo de absorción será de 1 m.
- El primer paso en el diseño es determinar si el suelo es apropiado para la absorción del afluente de la fosa séptica y, si tal es el caso, cuanta área se requiere. El suelo debe tener una velocidad de filtración aceptable, sin

interferencia del agua freática o de estratos impermeables bajo el nivel del sistema de absorción.

Prueba de infiltración para diseñar la profundidad del pozo de absorción.

Se recomienda que el suelo donde se haga la prueba no esté saturado, si la prueba se realiza en época de lluviosa, se deben esperar como mínimo dos días sin lluvia para poder efectuarla. El procedimiento para realizar la prueba es el siguiente:

- Abrir el agujero que tenga 0,30 metros por lado y 0,35 metros de profundidad en el lugar donde se pretende perforar el pozo de infiltración.
- Raspar cuidadosamente el fondo y las paredes del agujero perforado, para remover cualquier superficie de suelo compactado y que pueda filtrarse el agua. Colocar 5 centímetros de arena gruesa o gravilla para proteger el fondo contra socavaciones y sedimentos.
- Llenar con agua todo el agujero y dejar que se consuma totalmente.
- Llenar nuevamente de agua hasta una altura de 15 centímetros a partir del fondo y tomar el tiempo en que el agua baja 2,5 centímetros, este tiempo se denominará tiempo de infiltración.
- Si el tiempo de infiltración es mayor de 30 minutos, significa, que es un terreno inadecuado, por lo que no se recomienda la implementación del pozo de absorción es ese tipo de terreno y se sugiere la instalación de una zanja de infiltración o campo de riego.
- Con el tiempo de infiltración se determinará el coeficiente de absorción del suelo medido en metros cúbicos/persona/día.

Profundidad del pozo = altura de filtración + 0,50 + altura del broquel de absorción.

Cálculo de dimensiones de pozo de absorción.

Considere un pozo de absorción para una fosa con capacidad de 101,25 m³, sobre un suelo con tasa de filtración de 2,5 centímetros en 10 a 15 minutos, de la tabla II se obtiene el coeficiente k1

Tabla III. Coeficiente de absorción del terreno para pozos

TIEMPO DE DESCENSO DE 1"(min)	SUP. DE FILTRACIÓN REQUERIDA (K1) HAB/DIA	ÁREA TOTAL REQUERIDA
1	0,88 m ²	13,33 m ²
2	1,08 m ²	16,37 m ²
5	1,44 m ²	21,83 m ²
10	2,25 m ²	34,11 m ²
30	4,5 m ²	68,21 m ²

Fuente: CABRERA, Ricardo Antonio. Apuntes de ingeniería 2. p.128.

El tiempo de descenso se aproxima a 10 minutos y se determina el coeficiente de absorción y área de absorción.

De acuerdo a la siguiente fórmula se establecen las dimensiones del pozo.

$$A_{abs.} = \pi * D * H$$

Despejando: H= $\frac{\text{Aabs}}{\pi * D}$

Dónde:

H= profundidad del pozo en metros

D= diámetro del pozo = 1,50 metros, propuesto

A_{abs.}= área de absorción

 π = 3,1416

 $H= 34,11/(\pi * 1,50)$

H = 7,23 mt

Las dimensiones del pozo son las siguientes:

Diámetro= 1,5 metros

Profundidad= 7,5 metros

2.1.9. Planos

Para este proyecto se elaboraron un total de nueve planos, como se describe a continuación:

Densidad de vivienda

Planta general

Perfil de PV-O - PV-12

Perfil de PV-12 - planta de tratamiento proyectada

Planta de PV-0 – PV-12, PV-12 – planta de tratamiento proyectada

Planta – perfil PV-8A – PV-8, PV-14B – PV-14

Planta - perfil de PV-1G - PV-21

Planta – perfil de PV-1D – PV-4E, PV-1C – PV 6E

Planta - perfil de PV-1E - PV-16F

Planta - perfil de PV-1F - PV-16

Detalles de pozos de visita

Detalles de conexiones domiciliar

2.1.10. Presupuesto del proyecto

Los precios de los materiales fueron tomados de acuerdo con cotizaciones realizadas en diferentes empresas dedicadas a la materia en el lugar, el presupuesto se realizó en quetzales y en dólares.

El cálculo del porcentaje de prestaciones y la integración de precios unitarios se muestra en las siguientes tablas.

Tabla IV. Días de asueto y feriado

DÍA	ASUETO			
1	1 de enero			
2	Jueves Santo			
3	Viernes Santo			
4	Sábado de Gloria			
5	1 de Mayo			
6	30 de Junio			
7	15 de Septiembre			
8	20 de Octubre			
9	1 de Noviembre			
10	24 de diciembre, 1/2 día			
11	25 de diciembre			
12	31 de diciembre, 1/2 día			
	FERIADO			
13	29 de septiembre			

Tabla V. **Días pagados no trabajados**

DÍAS	MOTIVO		
30	aguinaldo		
30	bono 14		
30	indemnización		
15	vacaciones		
11	asuetos		
1	feriado		
52	domingos		
26	sábados (52 medios días)		
195	TOTAL		

Tabla VI. Cálculo de días hábiles

CÁLCULO DE DÍAS HABILES					
Días de año 365					
Días no trabajados	105				
Días hábiles	365-105 = 260				

Fuente: elaboración propia.

Tabla VII. Cálculo de porcentaje

Prestaciones	195/260 = 0,75	
% de prestaciones	75 %	
IGSS patronal	10,67 %	
% total de prestaciones	85,67 %	

Datos:

Salario mínimo mensual Q 1 825,00

Bonificación Q 250,00

Salario sin bonificación Q 1 575,00

Salario/día Q 52,50

Tabla VIII. Unitario de replanteo topográfico

Descripción Estacas (2 074,08 Unidad Global			anteo topográfico						
Estacas (CPintura (CPINTURA)										
Estacas (CPintura (CPINTURA)			MATERIALES							
Pintura (Global	Cantidad	P.U. (Q)	Precio Total (Q)	Precio Total (\$)					
L	Ciobai	1	100,00	100,00	13,21					
Subtotal	Galón	0,25	140,00	35,00	4,62					
				135,00	17,83					
			DE OBRA							
	Unidad	Cantidad	P.U. (Q)	Precio Total (Q)	Precio Total (\$)					
	Día	7	73,67	515,67	68,12					
1 0	Día	7	166,67	1 166,67	154,12					
Subtotal				1 682,34	222,24					
Prestaciones			0,8567	1 441,26	190,39					
Total de mano de										
obra				3123,60	412,63					
		ERRAMIEN								
	Unidad	Cantidad	P.U. (Q)	Precio Total (Q)	Precio Total (\$)					
Palas, piochas,										
	Global	1	250	250,00	33,03					
martillos										
Alquiler de estación	D' -	-	505	0.075.00	405.47					
total [Día	7	525	3 675,00	485,47					
Subtotal				3 925,00	518,49					
Coata dir	rooto		Costoros	7 102 60	049.06					
Costo dir			Factores	7 183,60	948,96					
Imprevisto			0,03	215,51	28,47					
Administración			0,10	718,36	94,90					
Utilidad			0,20	1 436,72	189,79					
IVA			0,12	862,03	113,87					
Total				10 416,22	1 375,99					
	Costo unitario				0,66					

Tabla IX. Unitario de excavación

RENGLÓN 1							
Cantidad m ²	3 005,34	3 005,34 Excavación					
MATERIALES							
Descripción	Unidad	Cantidad	P.U.(Q)	Precio total (Q)	Precio total (\$)		
Subtotal				0	0		
	,	MANO D	E OBRA				
Descripción	Unidad	Cantidad	P.U.(Q)	Precio total (Q)	Precio total (\$)		
Cadenero	Día	5	73,67	368,34	48,66		
Topógrafo	Día	5	166,67	833,34	110,08		
Subtotal				1 201,67	158,74		
Prestaciones			0,8567	1 029,47	135,99		
Total de mano de				0.004.44	004.70		
obra				2 231,14	294,73		
		\\\\\\\\\\\\\\\\\\\\\\\\\\\\\\\\\\\\\\		NIT A			
Decemberation		QUIPO Y HI		l	Dragio to al (ft)		
Descripción	Unidad	Cantidad	` '	Precio total (Q)	Precio toal (\$)		
Retro excavadora Camión de volteo	Hora	53	550	29 150	3 850,73		
12m ²	Hora	18	450	8 100	1 070,01		
Equipo de topografía	Global	1	5 000	5 000	660,50		
Subtotal				42 250	5 581,24		
Costo	directo		Factores	44 481,14	5 875,198		
Impre	visto		0,03	1 334,434221	176,2792894		
Administración			0,10	4 448,114069	587,5976313		
Utilidad			0,20	8 896,228138	1 175,195263		
IVA			0,12	5 337,736883	705,1171576		
Total				64 497,65	8 520,17		
Costo unitario				21,46	2,835		

Tabla X. Unitario de relleno

RENGLÓN 1							
Cantidad m ³	2 441,8	,					
MATERIALES							
Descripción	Unidad	dad Cantidad P.U.(Q) Precio total (Q) Precio total					
Subtotal				0,00	0,00		
		DE OBRA					
Descripción	Unidad	Cantidad		Precio total (Q)	Precio total (\$)		
Ayudante	Día	6	73,67	442,00	58,39		
Albañil	Día	6	108,33	650,00	85,86		
Ayudante de maquinaria	Hora	22	20,00	440,00	58,12		
Ayudante de maquinaria	Hora	22	20,00	440,00	58,12		
Subtotal				1 972,00	260,50		
Prestaciones			0,86	1 689,41	223,17		
Subtotal				3 661,41	483,67		
		RAMIENT					
Descripción	Unidad	Cantidad		Precio total (Q)	Precio total (\$)		
Cargador frontal	Hora	21	575,00	12 075,00	1 595,11		
Camión de volteo 12 m ³	Hora	22	450,00	9 900,00	1 307,79		
Motoniveladora	Hora	20	425,00	8 500,00	1 122,85		
Vibro compactadora	Hora	20	275,00	5 500,00	726,55		
Distribuidora de agua	Hora	22	160,00	3 520,00	464,99		
Subtotal				39 495,00	5 217,31		
Costo directo			Factores	43 156.41	5 700,98		
Imprevisto			0,03	1 294,69	171,03		
Administración			0,10	4 315,64	570,10		
Utilidad			0,20	8 631,28	1 140,20		
IVA			0,12	5 178,77	684,12		
Total				62 576,80	8 266,42		
Costo unita	ario		25,63	3,39			

Tabla XI. Unitario de instalación de tubería

Renglón 2				
Cantidad ml	1 949,58	Instalación de tubería		

MATERIAL								
Descripción	Unidad	Cantidad	Precio	Costo directo (Q)	Costo directo(\$)			
Tubo PVC φ de 6" ASTM 3034	Unidad	317	896,28	284 120,76	37 532,46			
Tubo PVC φ de 8" ASTM 3035	Unidad	27	1 370,34	36 999,07	4 887,59			
Pegamento Tangit	Galón	6	497,20	2983,20	394,08			
Accesorios	Unidad	325	105,00	34125,00	4 507,93			
Total de materiales				358 228,03	47 322,06			
		MANA	DE OBR	Δ				
Descripción	Unidad	Cantidad	Precio	Costo directo (Q)	Costo directo (\$)			
Excavación	m ³	2 059,659	35	72 088,07	9 522,86			
Instalación de tubo		2 000,000	33	72 000,07	9 322,00			
de φ 6"	Unidad	344	25	8 600,00	1 136,06			
Relleno	m^3	1 916,53	15	28 747,95	3 797,62			
Subtotal				109 436,02	14 456,54			
Ayudante			0.34	37 208,25	4 915,22			
Prestaciones			0,8567	93 753,83	12 384,92			
Total de mano de obra				240 398.09	31 756.68			
Costs	directo		Factores	598 626,13	70 079 75			
					79 078,75			
Imprevisto		0,03	17 958,78	2 372,36				
Administración		0,10	59 862,61	7 907,87				
Utilidad		0,20	119 725,23	15 815,75				
<u> </u>	VA 		0,12	71 835,14	9 489,45			
Total				868 007,88	114 664.19			
Precio	unitario			445,23	58,81			

Tabla XII. Unitario de conexiones domiciliares

Renglón 2								
Cantidad								
MATERIALES								
Descripción	Unidad	Cantidad	P.U.(Q)	Precio total (Q)	Precio total (\$)			
Yee de 6"x4"	Unidad	1	251,06	251,06	45,07			
Tubo de concreto φ 12"	Unidad	1	97,50	97,50	17,50			
Tubo PVC φ 4" ASTM 3034	Unidad	0,5	401,98	200,99	36,08			
Cemento	Saco	1,03	66,88	68,88	12,37			
Arena	m^3	0,074	52,80	3,91	0,70			
Piedrín	m^3	0,084	149,60	12,57	2,26			
Hierro de 1/4"	qq	0,012	237,60	2,85	0,51			
Hierro de 3/8"	qq	0,074	198,00	14,65	2,63			
Alambre de amarre	lb	0,5	5,72	2,86	0,51			
Subtotal				655,27	86,56			
		MANO DE						
Descripción	Unidad	Cantidad	P.U.(Q)	Precio total (Q)	Precio total (\$)			
Albañil	Unidad	1	195	195,00	25,76			
Subtotal				195,00	25,76			
Ayudante			0,34	66,30	8,76			
Prestaciones			0,86	167,06	22,07			
Total de mano de obra				428,36	56,59			
HERRAMIENTA Y EQUIPO								
Descripción	Unidad	Cantidad	P.U.(Q)	Precio total (Q)	precio total (\$)			
Palas, piocha, azadones	Global	1	25,77	25,77	3,40			
Subtotal				25,77	3,40			
Costo directo			Factores	1 109,40	146,55			
Imprevisto			0,03	33,28	4,40			
Administración			0,10	110,94	14,66			
Utilidad			0,20	221,88	29,31			
IVA			0,12	133,13	17,59			
Total				1 608,63	212.50			
	torio				212,50 212,50			
Costo unitario 1 608,63 212								

Tabla XIII. Unitario de pozos de 1,50 m

Renglón 3							
Cantidad	46 Unidad pozos de visita profundidad 1.50 m						
MATERIAL							
Descripción	Unidad	Cantidad	Precio	Costo directo (Q)	Costo directo (\$)		
Ladrillo tayuyo	Ciento	5,30	132,00	699,6	92,42		
Cemento portland	Saco	12,50	66,88	836	110,44		
Arena de río	m^3	0,89	52,80	46,992	6,21		
Piedrín 1/2"	m^3	0,57	149,60	85,27	11,26		
Acero Núm. 2 (1/4)	qq	0,05	198,00	9,90	1,31		
Acero Núm. 3(3/8)	qq	0,73	237,60	173,45	22,91		
Alambre de amarre	lb	1,00	5,72	5,72	0,76		
Total de mat	eriales			1 856,93	245,30		
MANO DE OBRA							
Descripción	Unidad	Cantidad	Precio	Costo directo (Q)	Costo directo (\$)		
Excavación	m ³	3,25	25,00	81,25	10,73		
Levantado más acabado	m ²	7,82	85,00	664,70	87,81		
Armado de hierro 1/4"	ml	0,46	25,00	11,50	1,52		
Armado de hierro 3/8"	ml	5,70	25,00	142,50	18,82		
Fundición	m ³	0,71	65,00	46,15	6,10		
Relleno	m ³	0,38	15,00	5,70	0,75		
Subtotal				951,8	125,73		
Ayudante			0,34	323,612	42,75		
Prestaciones			0,8567	815,41	107,72		
Total de mano	de obra			2 090,82	276,20		
Costo directo			Factores	3 947,75	521,50		
Imprevisto			0,03	118,43	15,64		
Administración			0,10	394,78	52,15		
Utilidad			0,20	789,55	104,30		
IVA			0,12	473,73	62,58		
Total				5 724,24	756,17		
Costo unitario				5 724,24	756,17		

Tabla XIV. Unitario de pozos de 2,00 m

Renglón 3							
Cantidad 1 Unidad pozos de visita profundidad 2.00 m							
MATERIAL							
Descripción	Unidad	Cantidad	Precio	Costo directo (Q)	Costo directo (\$)		
Ladrillo tayuyo	Ciento	7,88	132,00	1 040,16	137,41		
Cemento portland	Sacos	15,17	66,88	1 014,57	134,03		
Arena de río	m^3	1,08	52,80	57,02	7,53		
Piedrín de 1/2"	m^3	0,57	149,60	85,27	11,26		
Acero Núm. 2 (1/4")	qq	0,05	198,00	9,90	1,31		
Acero Núm. 3 (3/8")	qq	0,73	237,60	173,45	22,91		
Alambre de amarre	lb	1	5,72	5,72	0,76		
Total de mat	eriales			2 386,09	315,20		
		MANO	DE OBRA				
Descripción	Unidad	Cantidad	Precio	Costo directo (Q)	Costo directo (\$)		
Excavación	m ³	4,33	25,00	108,25	14,30		
Levantado más acabado	m ²	11,88	85,00	1 009,80	133,39		
Armado de hierro 1/4"	ml	0,46	25,00	11,50	1,52		
Armado de hierro 3/8"	ml	5,70	25,00	142,50	18,82		
Fundición	m ³	0,71	65,00	46,15	6,10		
Relleno	m ³	0,38	15,00	5,70	0,75		
Subtotal				1 323,90	174,89		
Ayudante			0,34	450,13	59,46		
Prestaciones			0,8567	1 134,19	149,83		
Total de mano	de obra			2 908,21	384,18		
Costo directo			Factores	5 294,30	699,38		
Imprevisto			0,03	158,83	20,98		
Administración			0,10	529,43	69,94		
Utilidad			0,20	1 058,86	139,88		
Iva			0,12	635,32	83,93		
Total				7 676,74	1 014,10		
Precio uni			7 676.74	1 014,10			

Tabla XV. Unitario de pozos de 2,50 m

Renglón 3							
Cantidad Unidad pozos de visita profundidad 2.5 m							
MATERIAL							
Descripción	Unidad	Cantidad	Precio	Costo directo (Q)	Costo directo(\$)		
Ladrillo tayuyo	Ciento	10,46	132,00	1 380,72	182,39		
Cemento portland	Sacos	17,84	66,88	1 193,14	157,61		
Arena de río	m^3	1,27	52,80	67,06	8,86		
Piedrín de 1/2"	m^3	0,57	149,60	85,27	11,26		
Acero Núm. 2 (1/4")	qq	0,05	198,00	9,90	1,31		
Acero Núm. 3 (3/8")	qq	0,73	237,60	173,45	22,91		
Alambre de amarre	lb	1	5,72	5,72	0,76		
Total de mat	eriales			2 915,26	385,11		
			DE OBRA				
Descripción	Unidad	Cantidad	Precio	Costo directo (Q)	Costo directo (\$)		
Excavación	m ³	5,41	25,00	135,25	17,87		
Levantado más acabado	m ²	14,84	85,00	1 261,40	166,63		
Armado de hierro 1/4"	ml	0,46	25,00	11,50	1,52		
Armado de hierro 3/8"	ml	5,7	25,00	142,50	18,82		
Fundición	m ³	0,71	65,00	46,15	6,10		
Relleno	m ³	0,38	15,00	5,70	0,75		
Subtotal				1 602,50	211,69		
Ayudante			0,34	544,85	71,97		
Prestaciones			0,86	1 372,86	181,36		
Total de mano	de obra			3 520,21	465,02		
Costo directo			Factores	6 435,47	850,13		
Imprevisto			0,03	193,06	25,50		
Administración			0,10	643,55	85,01		
Utilidad			0,20	1 287,09	170,03		
IVA			0,12	772,26	102,02		
Total			9 331,43	1 232,69			
Precio uni			9 331,43	1 232,69			

Tabla XVI. Unitario de pozos de 3,00 m

Renglón 3							
Cantidad 2 Unidad pozos de visita profundidad 3.00 m							
MATERIAL							
Descripción	Unidad	cantidad	Precio	Costo directo (Q)	Costo directo (\$)		
Ladrillo tayuyo	Ciento	13,04	132,00	1 721,28	227,38		
Cemento portland	Saco	20,51	66,88	1 371,71	181,20		
Arena de río	m^3	1,46	52,80	77,09	10,18		
Piedrín de 1/2"	m ³	0,57	149,60	85,27	11,26		
Acero Núm. 2 (1/4")	qq	0,05	198,00	9,90	1,31		
Acero Núm. 3 (3/8")	qq	0,73	237,60	173,45	22,91		
Alambre de amarre	lb	1	5,72	5,72	0,76		
Total de mate	riales			3 444,42	455,001		
			DE OBRA				
Descripción	Unidad	cantidad		Costo directo (Q)	Costo directo (\$)		
Excavación	m ³	6,48	25,00	162,00	21,40		
Levantado más acabado	m ²	17,82	85,00	1 514,70	200,09		
Armado de hierro 1/4"	ml	0,46	25,00	11,50	1,52		
Armado de hierro 3/8"	ml	5,7	25,00	142,50	18,82		
Fundición	m ³	0,71	65,00	46,15	6,10		
Relleno	m ³	0,38	15,00	5,70	0,75		
Subtotal				1 882,55	248,69		
Ayudante			0,34	640,067	84,55		
Prestaciones			0,8567	1 612,78	213,05		
Total de mano	de obra			4 135,40	546,29		
Costo directo			Factores	7 579,81	1 001,30		
Imprevisto			0,03	227,39	30,04		
Administración			0,10	757,98	100,13		
Utilidad			0,20	1 515,96	200,26		
IVA			0,12	909,58	120,16		
Total				10 990,73	1 451,88		
Precio unita			10 990,73	1 451,88			

Tabla XVII. Unitario de pozos de 3,50 m

Renglón 3							
Cantidad							
MATERIAL							
Descripción	Unidad	Cantidad	Precio	Costo directo (Q)	Costo directo (\$)		
Ladrillo tayuyo	Ciento	15,62	132,00	2 061,84	272,37		
Cemento portland	Saco	23,18	66,88	1 550,28	204,79		
Arena de río	m ³	1,65	52,80	87,12	11,51		
Piedrín de 1/2"	m^3	0,57	149,60	85,27	11,26		
Acero Núm. 2 (1/4")	qq	0,05	198,00	9,90	1,31		
Acero Núm. 3 (3/8")	qq	0,73	237,60	173,45	22,91		
Alambre de amarre	lb	1	5,72	5,72	0,76		
Total de ma	ateriales			3 973,58	524,91		
			DE OBR				
Descripción	Unidad	Cantidad	Precio	Costo directo (Q)	Costo directo (\$)		
Excavación	m ³	7,56	25,00	189,00	24,97		
Levantado más							
acabado	m ²	20,79	85,00	1 767,15	233,44		
Armado de hierro 1/4"	ml	0,46	25,00	11,50	1,52		
Armado de hierro 3/8"	ml	5,7	25,00	142,50	18,82		
Fundición	m ³	0,71	65,00	46,15	6,10		
Relleno	m ³	0,38	15,00	5,70	0,75		
Subtotal				2 162,00	285,60		
Ayudante			0,34	735,08	97,10		
Prestaciones			0,8567	1 852,19	244,67		
Total de man	o de obra	1		4 749,27	627,38		
Costo directo			Factores	8 722,84	1 152,29		
Imprevisto			0,03	261,69	34,57		
Administración			0,10	872,28	115,23		
Utilidad			0,20	1 744,57	230,46		
IVA			0,12	1 046,74	138,27		
Total				12 648,12	1 670,82		
Precio Unitario				12 648,12	1 670,82		

Tabla XVIII. Unitario de pozos de 4,00 m

Renglón 3							
Cantidad Unidad pozos de visita profundidad 4,00 m							
MATERIAL							
Descripción	Unidad	Cantidad	Precio	Costo directo (Q)	Costo directo (\$)		
Ladrillo tayuyo	Ciento	18,2	132,00	2 402,40	317,36		
Cemento portland	Saco	25,85	66,88	1 728,85	228,38		
Arena de río	m^3	1,84	52,80	97,15	12,83		
Piedrín de 1/2"	m^3	0,57	149,60	85,27	11,26		
Acero Núm. 2 (1/4")	qq	0,05	198,00	9,90	1,31		
Acero Núm. 3 (3/8")	qq	0,73	237,60	173,45	22,91		
Alambre de amarre	lb	1	5,72	5,72	0,76		
Total de mat	eriales			4 502,74	594,81		
			DE OBRA				
Descripción	Unidad	Cantidad	Precio	Costo directo (Q)	Costo directo (\$)		
Excavación	m ³	8,64	25,00	216,00	28,53		
Levantado más acabado	m ²	23,76	85,00	2 019,60	266,79		
Armado de hierro 1/4"	qq	0,46	25,00	11,50	1,52		
Armado de hierro 3/8"	qq m³	5,7	25,00	142,50	18,82		
Fundición		0,71	65,00	46,15	6,10		
Relleno	m ³	0,38	15,00	5,70	0,75		
Subtotal				2 441,45	322,52		
Ayudante			0,34	830,93	109,66		
Prestaciones			0,8567	2 091,59	276,30		
Total de mano	de obra			5 363,13	708,47		
Costo directo			Factores	9865,87	1303,29		
Imprevisto			0,03	295,98	39,10		
Administración			0,1	986,59	130,33		
Utilidad			0,2	1 973,17	260,66		
IVA			0,12	1 183,90	156,39		
Total				14 305,52	1 889,76		
Precio unitario				14 305,52	1 889,76		

Tabla XIX. Unitario de pozos de 4,50 m

Renglón 3							
Cantidad	5 Unidad pozos de visita profundidad 4,00 m						
MATERIAL							
Descripción	Unidad	Cantidad	Precio	Costo directo (Q)	Costo directo (\$)		
Ladrillo tayuyo	Ciento	20,78	132	2 742,96	362,35		
Cemento portland	Saco	28,52	66,88	1 907,42	251,97		
Arena de río	m^3	2,03	52,8	107,18	14,16		
Piedrín de 1/2"	m^3	0,57	149,6	85,27	11,26		
Acero Núm. 2 (1/4")	qq	0,05	198	9,90	1,31		
Acero Núm. 3 (3/8")	qq	0,73	237,6	173,45	22,91		
Alambre de amarre	lb	1	5,72	5,72	0,76		
Total de mat	eriales			5 031,90	664,72		
		MANC	DE OBR	A			
Descripción	Unidad	Cantidad	Precio	Costo directo (Q)	Costo directo (\$)		
Excavación	m ³	9,72	25,00	243,00	32,10		
Levantado más acabado	m ²	26,73	85,00	2 272,05	300,14		
Armado de hierro 1/4"	ml	0,46	25,00	11,50	1,52		
Armado de hierro 3/8"	ml	5,7	25,00	142,50	18,82		
Fundición	m ³	0,71	65,00	46,15	6,10		
Relleno	m ³	0,38	15,00	5,70	0,75		
Subtotal				2 720,90	359,43		
Ayudante			0,34	925,11	122,21		
Prestaciones			0,8567	2 331,00	307,93		
Total de mano	de obra			5977.00	789.56		
Costo directo			Factores	11008.90	1454.28		
Imprevisto			0,03	330,27	43,63		
Administración			0,10	1 100,89	145,43		
Utilidad			0,20	2 201,78	290,86		
IVA			0,12	1 321,07	174,51		
Total				15 962,91	2 108,71		
Precio Unitario				15 962,91	2 108,71		

Tabla XX. Unitario de pozos de 4,70 m

	Renglón 3						
Cantidad	3	U	nidad pozo	os de visita profundid	ad 4.70 m		
			ΓERIAL				
Descripción	Unidad	Cantidad	Precio	Costo directo (Q)	Costo directo (\$)		
Ladrillo tayuyo	Ciento	21,88	132,00	2 888,16	381,53		
Cemento portland	Saco	29,66	66,88	1 983,66	262,04		
Arena de río	m^3	2,11	52,80	111,41	14,72		
Piedrín de 1/2"	m^3	0,57	149,60	85,27	11,26		
Acero núm. 2 (1/4")	qq	0,05	198,00	9,90	1,31		
Acero núm. 3 (3/8")	qq	0,73	237,60	173,45	22,91		
Alambre de amarre	lb	1	5,72	5,72	0,76		
Total de mat	eriales			5 257,57	694,53		
		MANO	DE OBRA				
Descripción	Unidad	Cantidad	Precio	Costo directo (Q)	Costo directo (\$)		
Excavación	m ³	10,15	25,00	253,75	33,52		
Levantado más acabado	m ²	27,92	85,00	2 373,20	313,50		
Armado de hierro 1/4"	qq	0,46	25,00	11,50	1,52		
Armado de hierro 3/8"	qq	5,7	25,00	142,50	18,82		
Fundición	m ³	0,71	65,00	46,15	6,10		
Relleno	m ³	0,6	15,00	9,00	1,19		
Subtotal				2 836,10	374,65		
Ayudante			0,34	964,27	127,38		
Prestaciones			0,8567	2 429,69	320,96		
Total de mano	de obra			6 230,06	822,99		
Costo directo			Factores	11 487,63	1 517,52		
Imprevisto			0,03	344,63	45,53		
Administración			0,10	1 148,76	151,75		
Utilidad			0,20	2 297,53	303,50		
IVA			0,12	1 378,52	182,10		
Total				16 657,06	2 200,40		
Precio Uni	itario			16 657,06	2 200,40		

Fuente: elaboración propia.

Tabla XXI. Presupuesto de sistema de drenaje sanitario

Núm.	Decerinaión	Linidad	Unidad Cantidad		Cub total	Renglón		
Num.	Descripción	Unidad	Canildad	unitario	Sub total	Total (Q)	Total (\$)	
1	TRABAJOS PRELIMINARES							
	REPLANTEO TOPOGRÁFICO	ml	2 074,08	5,02	10 416,22			
	EXCAVACIÓN	m³	3 005,34	21,46	64 494,60			
	RELLENO	m³	2 441,80	25,63	62 576,80	137 487,61	18 162,17	
2	INSTALACIÓN DE TUBERÍA							
	INSTALACIÓN DE TUBERÍA	ml	1 949,58	445,23	868 007,88			
	CONEXIÓN DOMICILIAR	unidades	97	1 608,63	156 037,11	1 024 044,99	135 276,75	
3	POZO DE VISITA							
	POZO DE VISITA DE 1,50 DE PROFUNDIDAD	Unidades	46	5 724,24	263 315,04			
	POZO DE VISITA DE 2,00 DE PROFUNDIDAD	Unidades	1	7 676,74	7 676,74186			
	POZO DE VISITA DE 2,50 DE PROFUNDIDAD	Unidades	6	9 331,43	55 988,5625			
	POZO DE VISITA DE 3,00 DE PROFUNDIDAD	Unidades	2	10 990,73	21 981,4617			
	POZO DE VISITA DE 3,50 DE PROFUNDIDAD	Unidades	9	12 648,12	11 3833,112			
	POZO DE VISITA DE 4,00 DE PROFUNDIDAD	Unidades	3	14 305,52	42 916,5485			
	POZO DE VISITA DE 4,50 DE PROFUNDIDAD	Unidades	5	15 962,91	79 814,5441			
	POZO DE VISITA DE 4,70 DE PROFUNDIDAD	Unidades	3	16 657,06	49 971,1891	635 497,1992	83 949,43	
					TOTAL	Q1 797 029,80	\$ 237 388,35	

Fuente: elaboración propia.

Nota:

Imprevisto 3 %

Administración 10 %

Utilidad 20 %

Cambio de dólar Q 7,57 de 02/05/2015

- En letras: un millón setecientos noventa y siete mil treinta quetzales con diecisiete centavos.
- Equivalente a: doscientos treinta y siete mil trecientos ochenta y ocho dólares con cuarenta centavos.

2.1.10. Evaluación del impacto ambiental

En primer lugar se señalan a las comunidades que son las más afectadas cuando hay un proyecto de carácter ambiental, ya que implica una serie de cambios. Actualmente se ha visto afectada tanto la salud de los pobladores del lugar, porque las aguas residuales son descargadas sobre la superficie del suelo, provocando la formación de lodo, la proliferación de zancudos que transmiten enfermedades; por lo que la población está teniendo una participación negativa en el ambiente.

El método de Leopold es el más conocido, fue diseñado para la evaluación de impactos asociados con casi cualquier tipo de proyectos de construcción. Es importante como precursor de trabajos posteriores y porque su método a menudo es utilizado para el análisis de impactos ambientales en una primera instancia, o sea, para la evaluación preliminar de los impactos que puedan derivarse de ciertos proyectos.

La base del sistema es una matriz, en la cual las entradas de las columnas son las acciones del hombre que pueden alterar el medio y las entradas de las filas son los factores ambientales susceptibles de alterarse, con estas entradas en columnas y filas se pueden definir las interacciones existentes.

El método consiste en un cuadro que presenta como son afectados los factores ambientales por las acciones resultantes del proyecto, así como el impacto que estas acciones presentan, los factores ambientales presentados son:

- Fisicoquímicos
- Condiciones biológicas

- Factores culturales
- Relaciones ecológicas

Para este proyecto, se procedió a dar valores en el rango de -5 a 5 al resultado de cada acción sobre cada factor ambiental, los valores muestran si el impacto fue positivo o negativo y el color blanco representa impacto neutro.

Luego a cada factor ambiental se le asignó un valor de importancia de 0 a 5, después se procedió a sumar los números asignados, la suma de los valores de las filas muestran el impacto e importancia sobre los factores ambientales y la suma de los valores de las columnas indican el impacto e importancia de las acciones producidas por el proyecto (ver tabla XXI).

Tabla XXII. Matriz de Leopold para sistemas de alcantarillado

				modi	ificacio	n del	transfor	mación	opera	ción y		
				r	égimer	1	del ter	rtorio		imiento		
				alteracion cubierta y terrestre	ruido y vibraciones	excavacion de zanjas	drenaje pluvial	tratamiento de aguas negras	operación de conduccion de tubería	eliminación de aguas residuales	impacto en ambiente	importancia de impacto
		tierra	suelos	0 5	0	-1 3	2 5	<u>3</u>	1 5	3 5	8	27
				1	0	2	5	5	5	5		21
	·o	agua	calidad	3	2	3	5	5	4	5		
	Fisicoquimicas		11-11-11	1	-1	0	4	4	4	4		
	oquir	atmosfora	calidad	2	2	3	2	4	3	5		
	-isic	atmosfera	inundaciones	0	0	2	5	3	4	3	33	
	_			5	2	1	5	3	5	3		45
		procesos	compactación	1	0	-2	3	3	2	2	9	
			•	3	2	4	4	2	3	3		21
	s		árboles	0 5	3	0	-1 2	2	0	2		
es	condiciones biológicas	flora		-1	0	-1	3	3	3	3	13	
ntal	dici		cocechas	4	4	2	5	5	4	5	13	47
factores ambientales	con			0	-1	0	1	2	2	3	7	.,
am		fauna	macro fauna	3	3	3	4	3	4	3		23
ores			agricultura	2	2	0	5	5	4	5		
act		uso del territorio	agricultura	3	1	2	5	4	4	5		
_		uso del territorio	zona residencial	2	-3	-2	5	5	5	5	40	
				5	4	4	5	5	5	5		57
	les		culturas o formas de vida	-2	-2	-2	4	4	4	4		
	tur	tur		3	3	3	5	5	4	4		
	factores culturales	salud y seguridad	1 3	0	<u> </u>	4 5	<u>4</u> 5	4 5	5			
			0	0	0	0	0	0	0	27		
		empleo	3	2	3	5	4	4	4	21	84	
	—			-2	-2	0	2	0	1	1		04
		servicios e	red de transporte	5	3	5	3	3	2	2		
		infraestructura	comisios	-2	-1		3	3	3	4	8	
			servicios	4	3	4	5	4	4	4		51
		impacto	o de las acciones	1	-8	-6	45	46	42	48		
		importa	56	42	47	65	59	58	60			

Fuente: elaboración propia.

Según I matriz de Leopold, este proyecto no tendrá impacto ambiental negativo permanente, este solo sucederá durante el período de construcción, donde el suelo sufrirá un leve cambio por ser removido al momento de la excavación, provocando dificultades en el tránsito y posibles problemas de polvo.

Como impacto ambiental positivo, se tiene la eliminación de aguas residuales, que fluyen sobre la superficie del suelo, eliminando con esto la posibilidad de contaminación de la napa freática y además la eliminación de fuentes de proliferación de enfermedades.

Todo esto conlleva una notables mejora en la calidad de vida, para los pobladores del caserío El Cerro.

2.1.11. Evaluación socioeconómica

Es de suma importancia el análisis objetivo de la realidad financiera y de los beneficios que conlleva la realización del proyecto.

2.1.11.1. Valor presente neto

Es el modelo o método de mayor aceptación, ya que consiste en la actualización de los flujos netos de fondos a una tasa conocida y que no es más que el costo medio ponderado de capital, determinado sobre la base de los recursos financieros programados con antelación.

Esto descansa en el criterio ya esbozado en anteriores oportunidades; las decisiones de inversión deben aumentar el valor de la empresa, como parte de una sana política administrativa. En ciertos casos, es pertinente usar lo que se

usa como tasa de descuento, que no es otra cosa que la tasa que se usa en el

mercado para determinar la factibilidad financiera de los proyectos de inversión.

Se realiza a partir de un flujo de efectivo, trasladando todo el presente. Es

una forma fácil de visualizar si los ingresos son mayores que los egresos.

VPN= VPbeneficios – Vpcostos

Para la anterior fórmula se tienen tres resultados posibles:

VPN > 0

VPN = 0

VPN < 0

• Cuando es mayor que cero, se recupera la inversión, se obtiene la

rentabilidad además de una ganancia que es igual al valor presente.

Cuando en igual a cero, se recupera la inversión y se obtiene la

rentabilidad deseada.

Cuando es menor que cero, se evalúa según la tasa de interés y el

porcentaje de ganancia.

Debido a que el proyecto de alcantarillado sanitario es un beneficio para la

comunidad de carácter social, no se contempla algún tipo de utilidad, los

egresos se establecen como el costo total del proyecto.

VPN= 0- Q 1 864 841,19

VPN= - Q 1 864 841,19

77

2.1.11.2. Tasa interna de retorno (TIR)

Se define como la tasa de interés donde la persona que va a invertir tiene equilibrio, es decir, que los ingresos y egresos tengan el mismo valor, cuando se analiza una alternativa de inversión.

Si se usa con valor presente es la tasa donde el valor presente es igual a cero VP= 0.

Se requieren de un valor de ingreso, y para este proyecto, por ser de carácter social, no se prevé ningún tipo de ingreso, por lo que no se puede hacer los cálculos de la TIR mediante el uso de estas fórmulas. Lo que procede para este caso, es tomar el valor de la TIR igual a 4,5 %, la cual presenta el costo que el estado debe desembolsar para la ejecución de dicho proyecto.

Esta tasa fue calculada tomando en cuenta la tasa libre que riesgo de Guatemala, que corresponde a la inversión en títulos públicos que actualmente pagan esa cantidad y es lo que le cuesta al Estado captar esos fondos para invertirlos en obra pública.

3. DISEÑO DE PAVIMENTACIÓN

3.1. Diseño de pavimentación de la calle de acceso a colonia Los Álamos, San Miguel Petapa, Guatemala

Es de suma importancia la planificación y ejecución de construcciones de comunicación vial para contribuir al desarrollo de la colonia Los Álamos.

3.1.1. Descripción del proyecto

El diseño geométrico óptimo, es aquel que se adapta económicamente a la topografía del terreno y cumple con las características de seguridad y comodidad del vehículo. El proyecto de diseño del pavimento rígido de la colonia Los Álamos, considera pavimentar un tramo de 7,42 km. De las calles al acceso principal, con un ancho de 7,00 metros, con bordillo ambos lados, con el cual se pretende contribuir al desarrollo de la misma. Se realizó estudios topográficos, toma de muestras de suelos para ensayos de laboratorio, planos y presupuesto.

El diseño se basa en una calle categoría 2, clasificación según la Dirección General de Caminos; con un TPDA (tráfico promedio diario anual) de 648 vehículos y 120 camiones, con un ancho de calzada de 7,00 metros.

3.1.2. Estudios topográficos

La topografía se utiliza para obtener la información necesaria para diseñar la calle que se va a pavimentar; para este proyecto se realizó un estudio

topográfico de planimetría y altimetría, que son bases fundamentales para todo proyecto vial, su aplicación es determinante para obtener la libreta de campo y planos que reflejen la conformación del lugar en donde se realiza la pavimentación.

3.1.3. Levantamiento topográfico

En el levantamiento topográfico de la carretera se realizó con estación total, mediante la combinación de las medidas según los tres elementos del espacio: distancia, elevación y dirección.

3.1.3.1. Altimetría

La altimetría es la parte de la topografía de superficie, que trata de los métodos de campo y gabinete, necesarios para obtener la posición altimétrica de puntos del terreno (coordenadas "z"). A los puntos del terreno con posición altimétrica se refiere a elevaciones, alturas o cotas.

Una elevación es una distancia vertical medida desde un plano horizontal hasta un punto o banco de nivel del terreno.

En este proyecto se realizó la nivelación usando una estación total marca Topcon mediante el método taquimétrico, como cota de salida se fijó una arbitraria, entera de 1 000 metros para no tener cotas negativas.

3.1.3.2. Planimetría

La distancia es lo que existe entre dos puntos cualesquiera, ubicados en un espacio tridimensional.

La medición de distancia es la base de toda la topografía, la distancia entre dos puntos significa su distancia horizontal. Si los puntos están a diferente elevación, su distancia es la longitud horizontal.

El levantamiento consiste en una poligonal abierta, formada por ángulos orientados a un mismo norte y distancias con estaciones intermedias.

Aplicando el método de deflexiones se radiaron los puntos esenciales como los postes de luz, ancho de calle, los cercos de la orilla de la carretera y línea central de la carretera.

3.1.4. Consideraciones de diseño

Para el diseño de un proyecto es necesario conocer los factores que afectan, antes y después de la ejecución para garantizar un diseño óptimo.

3.1.4.1. Ubicación y localización del diseño de la calle

El proyecto de diseño de pavimento rígido se encuentra en el acceso principal de la colonia Los Álamos ubicada al noroeste de la cabecera municipal a una distancia de 7 kilómetros.

3.1.4.2. Alineamiento horizontal

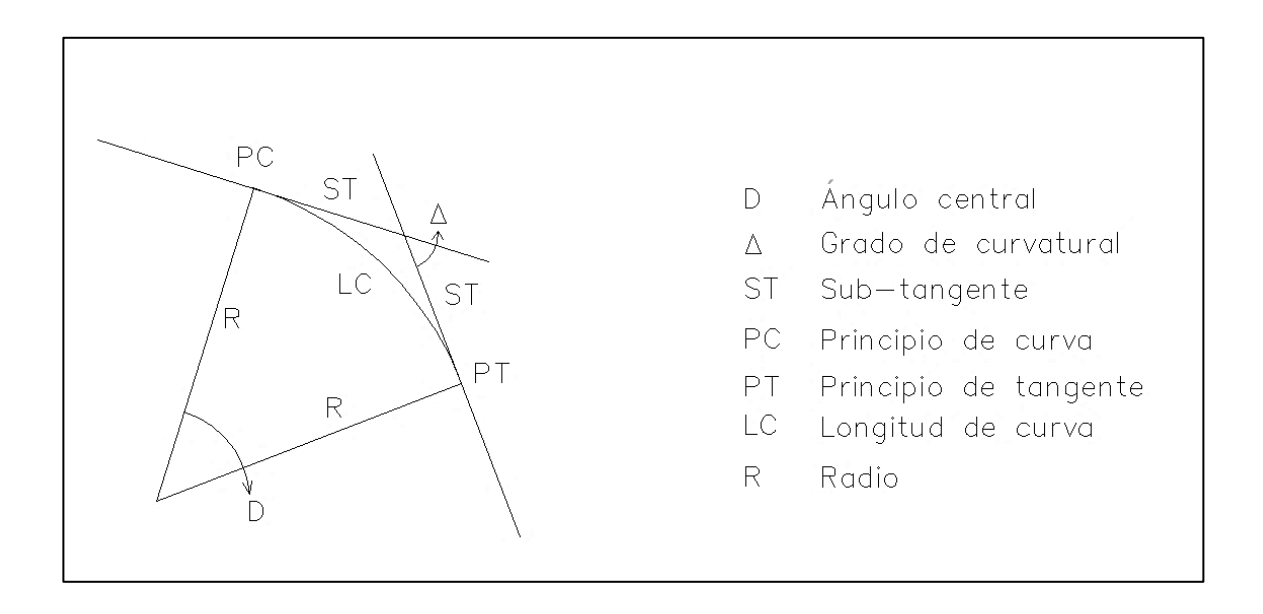
El alineamiento horizontal es la proyección sobre un plano horizontal del eje de una carretera. Debe ser capaz de ofrecer seguridad y permitir asimismo, uniformidad de operación a velocidad aproximadamente uniforme.

Los elementos que definen al alineamiento horizontal son los siguientes.

- Tangentes. Son las proyecciones sobre un plano horizontal que unen a las curvas circulares.
- Curvas circulares. Son proyecciones sobre un plano horizontal de arcos de círculo. La longitud de una curva circular está determinada desde el principio de una curva hasta el principio de la tangente o el final de la misma curva.
- Curvas de transición. Su función es proporcionar un cambio gradual a un vehículo, en un tramo en tangente a un tramo en curva.

Este tipo de transición es muy importante pues generalmente los estancamientos de agua de lluvia ocurren en tramos en curva más no en los tramos rectos (tangentes). El trazo y construcción de esta transición debe ser meticulosamente realizado para garantizar un drenaje adecuado (ver figura 10).

Figura 10. Planta de alineamiento horizontal de curva



Fuente: elaboración propia.

Para este proyecto, no se tomó en cuenta el alineamiento horizontal ya que se encuentran construcciones formales e informales, donde la población ha restringido los límites con cercos y construcciones estables y es innecesario el diseño de curvas en el área.

3.1.4.3. Alineamiento vertical

En el perfil de una carretera, la rasante es la línea de referencia que define los alineamientos verticales. Aparte de la topografía del terreno, también la determinan las características del alineamiento horizontal, la seguridad, visibilidad, velocidad del proyecto y paso de vehículos pesados en pendientes fuertes.

Un alineamiento vertical está formado por tangentes y curvas. Las tangentes se caracterizan por su pendiente que sirve para delimitar el diseño de la subrasante.

Los elementos de la curva vertical parabólica son de suma importancia el diseño de un alineamiento vertical, los cuales se describen a continuación.

Longitud

Es la distancia medida horizontalmente entre el PCV y el PTV. Existen cuatro criterios para determinar la longitud de las curvas, que son:

Criterio de seguridad

Que es la visibilidad de parada, la longitud de curva debe permitir que a lo largo de ella la distancia de visibilidad sea mayor o igual que la de parada. Se aplica a curvas cóncavas y convexas.

Donde:

LCV= longitud mínima de curva vertical

K= constante que depende de la velocidad de diseño

A= diferencia algebraica de pendientes

El valor de K se obtiene determinando la velocidad de diseño y por la forma de la curva, ya sea cóncava o convexa, para la selección de este valor se utiliza la siguiente tabla (ver tabla XXII).

Tabla XXIII. Valor de constante K

Velocidad de Diseño	Cóncava	Convexa
10	1	0
20	2	1
30	4	2
40	6	4
50	9	7
60	12	12
70	17	19
80	23	29
90	29	43
100	36	60

Fuente: HERNANDEZ HERNANDEZ, Walther José. Apertura de tramo carretero del caserío Agua Fría, aldea El Volcán, Camotán, Chiquimula, e introducción de servicio de agua potable al caserío Pinalito, aldea Morola, Camotán, Chiquimula. p. 76.

Para el alineamiento vertical de este proyecto se adoptaron los valores de K correspondientes a una velocidad de diseño de 50 KPH, ya que se aumentó de 40 Kph al valor propuesto por una mayor seguridad de los usuarios.

Criterio de apariencia

Para curvas verticales con visibilidad completa, cóncavas, sirven para evitar al usuario la impresión de un cambio súbito de pendiente.

$$K = \frac{LCV}{A} \ge 30$$

Criterio de comodidad

Para curvas verticales cóncavas en donde la fuerza centrífuga que aparece en el vehículo, al cambiar de dirección, se suma al peso propio del vehículo.

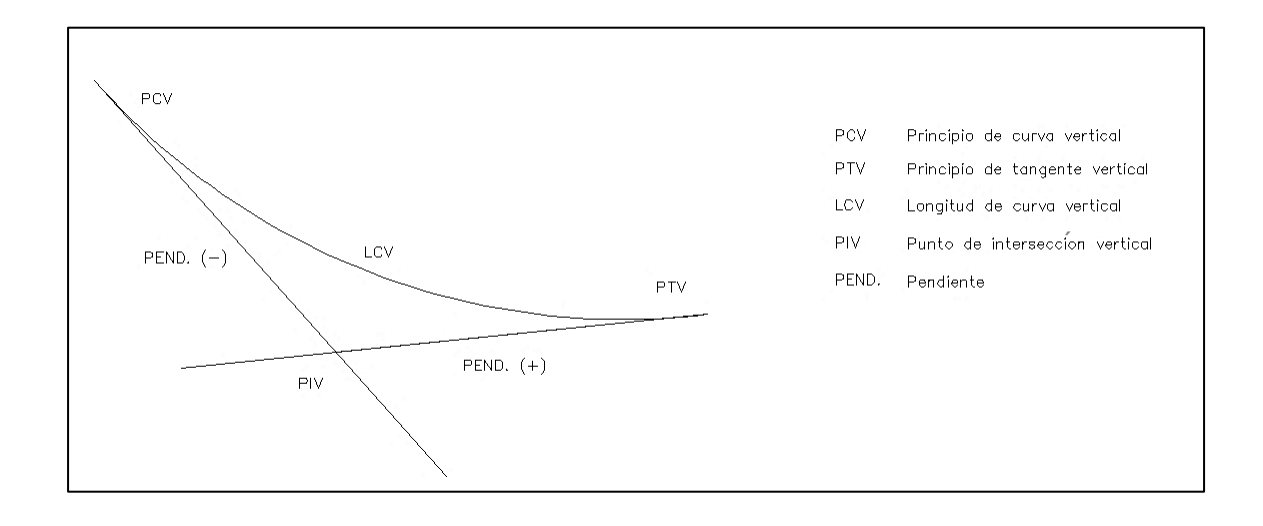
$$K = \frac{LCV}{A} = \frac{V^2}{395}$$

Criterio de drenaje

Para curvas verticales convexas y cóncavas, alojadas en corte. Se utiliza para que la pendiente en cualquier punto de la curva sea adecuada para que el agua pueda escurrir fácilmente (ver figura 11).

$$K = \frac{LCV}{A} = 43$$

Figura 11. Sección de una curva vertical



Fuente: elaboración propia.

Para este proyecto se consideró el diseño de las curvas verticales, las cuales son de suma importancia, como seguridad, comodidad, apariencia para el tránsito vehicular que se dará en la zona y que se muestran en la tabla XXIII.

Tabla XXIV. Curvas verticales

DIRECCION	No.	COTA PCV	COTA PTV	PVI	PVI ELEV.	K	LCV	Α	OM	SEGURIDAD	APARIENCIA	COMODIDAD	DRENAJE
6ta calle y 2da av.	1	1068.77	1061.73	0+080.13	1062.72	23.89	150	6.27877773	1.17727082	٧	Χ	٧	٧
Entre 0 av. Y 5ta calle	2	1061.73	1060.76	0+215.00	1061	131.92	113.75	0.86226501	0.12260331	٧	٧	٧	Χ
Elitle O av. 1 Sta Calle	З	1060.21	1060.30	0+480.33	1059.9	158.65	150	0.94547747	0.17727702	٧	٧	٧	Χ
0 av. A Entre 6ta calle y final	1	1061.91	1063.60	_	ı			ı	ı	_	ı		_
1ra av. A Entre 6ta calle y final	1	1061.70	1055.42	_	_	_	_	_	_	_		_	_
5ta calle y 4ta av.	1	1057.97	1053.69	0+175.00	1056.3	137.88	150	1.08790252	0.20398172	٧	٧	٧	Χ
Entre 2da av. Y 4ta	2	1053.69	1052.71	0+324.12	1051.36	26.89	140.83	5.23726292	0.92195467	٧	Х	٧	٧
3ra av. Entre 4ta	1	1057.94	1056.59	0+430.36	1057	211.64	150	0.70875071	0.13289076	٧	٧	٧	Χ
calle y 5ta calle B	2	1056.38	1056.20	0+619.70	1055.97	176.49	150	0.84990651	0.15935747	٧	٧	٧	Χ
4ta calle entre 4ta	1	1055.55	1052.45	0+399.22	1054.6	99.5	150	1.50753769	0.28266332	٧	٧	٧	Χ
av. Y final	2	1052.45	1049.13	0+519.35	1051.26	39.22	85.73	2.18587455	0.23424378	٧	٧	٧	٧
5ta av entre 4ta calle y final	1	1055.73	1054.40	0+150.15	1054.86	278.72	150	0.53817451	0.10090772	٧	٧	٧	Х
5ta calle B entre 5ta av y final	1	1054.00	1056.81	_	_	_		_	_	_	_	_	_
5ta calle entre 0 av y	1	1077.18	1067.60	0+099.63	1069.94	22.99	150	6.5245759	1.22335798	٧	Х	٧	٧
4ta av	2	1063.59	1060.40	0+377.67	1061.25	75.29	150	1.99229645	0.37355559	٧	٧	٧	Χ
3ra calle entre 0 av y 2da av	1	1071.56	1067.44	0+181.10	1068.03	38.2	150	3.92670157	0.73625654	٧	٧	٧	٧
2da calle entre 0 av y	1	1070.53	1066.42	0+199.62	1067.49	57.38	150	2.61415127	0.49015336	٧	٧	٧	Χ
final	2	1065.08	1063.61	0+442.92	1064.01	166.28	150	0.90209286	0.16914241	٧	٧	٧	Χ
1ra av. Entre 1ra calle y 3ra calle	1	1068.01	1067.75	0+391.98	1067.54	160.87	150	0.93242991	0.17483061	٧	٧	٧	Х
2da av. Entre 4ta calle y final	1	1064.48	1065.74	0+149.35	1065.48	151.87	150	0.98768684	0.18519128	٧	٧	٧	Х
0 av A entre 4ta calle y 5ta calle	1	1069.98	1069.16	0+159.93	1070.03	122.12	150	1.22830003	0.23030626	٧	٧	٧	Х
2da av. Entre 4ta calle y 5ta calle	1	1063.56	1061.55	_		_				_		_	_

Fuente: elaboración propia.

3.1.4.4. Aspectos del camino existente

El camino se encuentra en malas condiciones, ya que es un camino de terracería al cual no se le da mantenimiento y por esa razón se encuentran con muchos agujeros que son ocasionados por los vehículos que transitan y por las aguas de lluvia que se drena por gravedad.

3.1.4.5. Factores de diseño

Los factores que se tomaron en cuenta para el diseño de pavimentación rígido son los que se describen a continuación.

Módulo de ruptura del concreto (MR)

La caracterización del concreto a emplear será a través de la resistencia a la flexión o módulo de ruptura. Este valor deberá ser el medio obtenido a los 28 días, utilizando una viga simple con carga a cada tercio de su longitud (AASHTO T 97, ASTM e 78).

Debido al carácter estadístico de la ecuación para el dimensionamiento de pavimentos rígidos, y a que se introduce el término confiabilidad dentro de la ecuación, la AASHTO recomienda que no se utilice como dato de entrada el valor indicado en el proyecto del módulo de ruptura (Mr). Esto se debe a que en el campo se deben tener resistencias iguales o mayores que la especificada. Solo un pequeño porcentaje quedará por debajo de este valor.

Módulo de reacción del suelo (Kc)

Para el diseño de pavimento rígido se emplea el módulo de reacción de la capa de apoyo, Kc, es usual correlacionar MR con Kc. En la tabla XXIV se muestran algunos valores típicos de Kc para diferentes suelos.

Tabla XXV. Valores de resistencia de suelos

	Resistencia de la capa subrasante	Kc, en Kpa/cm	Módulo de elasticidad dinámico o de resiliencia, en Mpa.	en kg/cm2
Tipo de suelo limos y arcillas de alta compresibilidad	muy baja	135-270	6,9-13,11	<3
Suelos finos de baja compresibilidad	baja	270-405	131-200	3,0-5,5
Arenas poco limosa arcillosas mal graduadas	media	405-594	20-30	5,5-12
Gravas, arenas bien graduadas y mezclas de arena y grava con pocos finos	alta	594-675	30-33,5	>12

Fuente: adoptado de: SALAZAR RODRÍGUEZ Aurelio. *Guía para el diseño y construcción de pavimento rígido*. p. 115.

Alta compresibilidad para LL ~50 %

Baja compresibilidad indica LL <50 %

LL= límite líquido, según la ASTM D-423

Para tomar en cuenta la interacción de las capas con diferentes rigideces que componen al cuerpo del pavimento, es recomendable usar en las cartas de diseño un K combinado, tal como se obtiene la tabla XXIV.

También se puede usar la corrección aproximada entre módulos de reacción y valores relativos soporte (VRS o CBR) para diferentes suelos.

Tráfico y cargas de diseño

No son más que los valores bajo los cuales se diseña el pavimento considerando para toda su vida, surgen del tránsito promedio diario en ambas direcciones de todos los vehículos que circulan en el lugar llamado TPD y cuyo valor se determina por tablas, más el tránsito promedio diario de camiones siempre en ambas direcciones denominado TPDC.

Este parámetro que influye más en el cálculo de espesores. Para determinarlo se toma en cuenta lo siguiente:

La distribución de pesos por eje por cada 1 000 vehículos.

Las tasas de crecimiento.

Los factores de distribución del tránsito. Se relaciona como se distribuye el tránsito pesado en el carril de diseño en un camino.

Normalmente los tránsitos promedios diarios anuales (TPDA), pueden ser conocidos a partir de aforos vehiculares. Estos valores, sin embargo deberán ser afectados por los factores distribución por carril y los direccionales, así como los de crecimiento (ver tabla XXV).

Tabla XXVI. Tabla de crecimiento anual y período de 20 años

Crecimiento anual, en	Período de diseño 20	Período de diseño 40
%	años	años
1,0	1,1	1,2
1,5	1,2	1,3
2,0	1,2	1,5
2,5	1,3	1,6
3,0	1,3	1,8
3,5	1,4	2,0
4,0	1,5	2,2
4,5	1,6	2,4
5,0	1,6	2,7
5,5	1,7	2,9
6,0	1,8	3,2

Fuente: Adoptado de: SALAZAR RODRÍGUEZ Aurelio. *Guía para el diseño y construcción de pavimentos rígidos*. p. 98.

Los factores por los que se deberán multiplicar los TPDA actuales para reflejar la tasa de crecimientos anuales son los que se muestran en la tabla XXV. En ella aparecen para períodos de diseño de 20 y 40 años. Téngase en cuenta que el factor de crecimiento se ve influenciado por los siguientes factores:

- Impacto de obra nueva: el tránsito se desviará a la nueva viabilidad o tramo carretero sabiendo de la existencia de una superficie de rodamiento más segura y cómoda.
- Crecimientos normales de usuarios: corresponde al incremento normal del número de usuarios, debido sencillamente a que la población y número de vehículos aumentan.

- Tránsito inducido: es aquel tránsito que viene a la nueva instalación por recomendación de usuarios ordinarios o comunes a la misma. Este tránsito no se hubiera generado de no existir esta obra.
- Tránsito nuevo generado: este tránsito es el que nace ante la nueva redistribución del uso de suelo al construir la vialidad.

Será conveniente entonces que las dependencias encargadas de la planeación y ejecución de carreteras o vialidades realicen estudios de impacto vial, a fin de obtener un factor de crecimiento realista.

3.1.5. Estudio de suelos

Conocidos los principales tipos de suelos existentes, el siguiente pasó en establecer una serie de procedimientos científicos que permitan caracterizarlos en función de diferentes propiedades físicas o mecánicas.

Los ensayos que definen las principales propiedades de los suelos en carreteras son: análisis granulométrico, límites de Atterberg, equivalente de arena, proctor Modificado y la determinación de la capacidad cortante mediante el índice CBR.

Para el diseño de un pavimento rígido es necesario conocer las características del suelo, que soportará cargas como el peso de la losa y el tránsito de vehículos. Para ellos se realizó la toma de muestra a cielo abierto en un área de excavación aproximadamente de un cuadrado y una profundidad de cincuenta centímetros, se extrajo cerca de 150 libras de suelo para realizar los ensayos correspondientes.

3.1.6. Ensayo de laboratorio

Los ensayos realizados para saber las características del suelo son:

- Ensayos de compactación (proctor modificado)
- Ensayos de valor soporte del suelo (CBR)
- Límites de Attenberg
- Granulometría

Los cuales se definen a continuación.

3.1.6.1. Ensayo de compactación (proctor modificado)

Como ya se ha demostrado, la relación existente entre la densidad seca de un suelo – su grado de compacidad – y su contenido en agua es de gran utilidad en la compactación de suelos. Su regulación se realiza mediante el Ensayo Proctor en sus dos variantes, normal (NLT-107) y modificado (NLT-108), que seguidamente se verá.

Este ensayo, persigue la determinación de la humedad óptima de compactación de una muestra de suelo. La diferencia entre las dos variantes existentes Proctor normal (PN) y Modificado (PM), radica únicamente en la energía de compactación empleada, del orden de 4,5 veces superior en el segundo caso que en el primero. Esta diferencia es debido a que existe material que no logra una buena compactación con el Proctor Normal.

El procedimiento de ensayo consiste en apisonar en 3 tongadas consecutivas (5 en el caso del PM) una cantidad aproximada de 15 kg. De suelo (35 kg. Si se trata del PM) previamente tamizada y dividida por cuarteo en 4 partes aproximadamente iguales.

La muestra se humecta y se introduce en un molde metálico de dimensiones normalizadas (1 000 cm para el PN y 2 320 cm para el PM).

Para llevar a cabo el apisonado se emplea una maza también normalizada, de forma que su peso y altura de caída no varíen, lo que asegura una energía de compactación constante. La normativa estipula una cantidad de 26 golpes de maza por tongada en el caso del Proctor Normal y de 60 golpes en el caso del Modificado.

Se realiza de 4 a 6 determinaciones con diferente grado de humedad, construyéndose la curva humedad- densidad seca.

Según el resultado del ensayo Proctor Modificado el suelo posee una densidad seca máxima de 1 422,58 Kg/m³ o 88,80 lb/pie³ y una humedad óptima de 28,75 %.

3.1.6.2. Ensayo de Valor soporte del suelo (CBR)

Una vez que se haya clasificado los suelos por el sistema AASHTO para carreteras contempladas en este manual, se elaborará un perfil estratigráfico para cada sector homogéneo o tramo en estudio, a partir del cual se determinarán los suelos que controlan el diseño y se establecerá el programa de ensayos y correlaciones para establecer el CBR que es el valor soporte o resistencia del suelo, referido al 95 % de la MDS (máxima densidad seca) y a una penetración de carga de 2,54 mm.

Para calcular el valor soporte relativo del suelo de fundación, se efectuarán ensayos de California Bearing Ratio (CBR) para cada tipo de suelo y de control cada 2 km de espaciamiento como máximo.

Para la obtención del valor CBR diseño, se debe considerar lo siguiente:

- Cuando existan 6 o más valores de CBR por tipo de suelo representativo o pro sección de características homogéneas de suelo, determinar el valor de CBR de diseño con base en el percentil 75 %, valor que es el menor al 75 % del total de los valores analizados.
- Cuando existan menos de 6 valores de CBR por tipo de suelo representativo por sección de características homogéneas de suelos, considerar lo siguiente:
- Si los valores son parecidos o similares, tomar el valor promedio.
- Si los valores no son parecidos o no son similares, tomar en valor crítico (más bajo).
- Una vez definido el valor del CBR de diseño, para cada sector de características homogéneas, se clasificará a que categoría de subrasante pertenece el sector.

Según el resultado del ensayo CBR el suelo posee un valor soporte de 3,58 al 95 % de compactación, expansión 3,75 % a 30 golpes. Siendo el suelo de resistencia muy baja como subrasante.

3.1.6.3. Límites de Atterberg

La plasticidad de un suelo no depende de los elementos gruesos que contiene, sino únicamente de sus elementos finos. El análisis granulométrico no permite, apreciar esta característica, por lo que es necesario determinar los límites.

A través de este método, se definen los límites correspondientes a los tres estados en los cuales puede presentarse un suelo: líquido, plástico o sólido. Estos límites, llamados límites de Atterberg, son: el límite liquido (LL), el límite plástico (LP) y el límite de contracción (LC).

Además del LL y del LP, una característica a obtener es el índice de plasticidad IP que se define como la diferencia entre LL y LP:

$$IP = LL - LP$$

El índice de plasticidad permite clasificar bastante bien un suelo. Un IP grande corresponde a un suelo muy arcilloso. Por el contrario, un IP pequeño es característico de un suelo poco arcilloso. Sobre todo esto se puede dar la clasificación según la tabla a continuación (ver tabla XXVI).

Tabla XXVII. Características de los suelos

Índice de plasticidad	Característica
	Suelos exentos de
IP = 0	arcilla
17 > IP	Suelos arcillosos
17 > IP > 7	Suelos poco arcillosos
IP > 17	Suelos muy arcillosos

Fuente: BOWLES, Joseph E. Manual de laboratorio de suelos en ingeniería civil. p. 21.

Se debe tener en cuenta que, en un suelo el contenido de arcilla, es el elemento más peligroso de una carretera, debido sobre todo a su gran sensibilidad al agua.

Según el resultado del ensayo de límites de Atterberg, el suelo tiene un LL. de 48,4 % y un IP de 16,3 %, teniendo una clasificación CL, dicha clasificación indica que presenta una alta compresibilidad y que tiene un LL. Menor de 50 %, siendo un suelo muy arcilloso.

3.1.6.4. Granulometría

A partir de la cual se puede estimar, con mayor o menor aproximación, las demás propiedades que pudieran interesar.

El análisis granulométrico de un suelo tiene por finalidad determinar la proposición de sus diferentes elementos constituyentes, clasificados en función de su tamaño.

De acuerdo al tamaño de las partículas de suelo, se definen los siguientes términos de la tabla XXVII.

Tabla XXVIII. Clasificación de material según partículas

Tipo de material	Tamaño de las partículas
grava	75 mm – 2 mm
arena	arena gruesa: 2 mm - 0,2 mm arena fina: 0,2 mm - 0,05 mm
limo	0,05 mm – 0,005 mm
arcilla	menor a 0,005 mm

Fuente: Ministerio de Transportes y Comunicaciones. *Manual para el diseño de carreteras pavimentadas de bajo volumen de tránsito*. p.113.

Según los resultados obtenidos del ensayo de granulometría el suelo posee 0,27 % de grava, 32,86 % de arena y 66,88 % de finos. El suelo se clasifico como arcilla arenosa color café oscuro.

3.1.6.5. Análisis de resultados

Los resultados del estudio de suelos y las gráficas obtenidas se encuentran en los anexos.

Resumen de resultados del estudio de suelos:

Clasificación P.R.A.: A-7-5

Descripción del suelo: arcilla arenosa color café oscuro

Límite líquido: 48,4 %

Índice plástico: 16,3 %

Densidad seca máxima: 1 422,58 kg/m³ o 88,80 lb/pie³

Humedad óptima (Hop): 28,75 %

• CBR al 95 % de compactación: 3,58 % aprox

CBR crítico: 2,41 %

Como se puede observar el suelo no cumple con las condiciones para una subrasante ya que su CBR es menor del 5 %, y su límite líquido no es mayor del 50 %.

3.1.7. Diseño de pavimento

Con los datos obtenidos de los ensayos del suelo se procede al diseño de pavimento, los pavimentos se pueden clasificar como rígidos y flexibles. En este caso se realizará de concreto con topes y bordillo (ver figura 12).

banqueta

3%

3%

banqueta

3%

banqueta

sub-rasante
reacondicionada

capa de base de material
granular de 15 cm de espesor

losa de concreto
20 cm de espesor

Figura 12. Sección típica

Fuente: elaboración propia, empleando AutoCAD.

3.1.7.1. Pavimento rígido

Los pavimentos rígidos son aquellos cuya superficie de rodadura es de concreto hidráulico de cemento portland, y generalmente están asentadas sobre una capa de material de subbase (CBR > 40 % y esta a su vez sobre la subrasante nivelada y compactada.

Para el diseño de pavimentos en carreteras, el proyectista recurrirá al método para el cálculo de espesores de pavimentos rígidos la Portland Cement Association (PCA), el método de capacidad y el método simplificado.

Existen varios tipos de pavimentos rígidos, que pueden dividirse en pavimentos de concreto simple y pavimentos de concreto continuamente reforzados con barras de acero.

Los pavimentos de concreto simple a la vez pueden ser de dos tipos:

- Pavimentos de concreto simple con juntas sin barras de transferencia.
- Pavimento de concreto simple con juntas con barras de transferencia, ambos con losas de 3 a 6 metros.

3.1.7.2. Componentes estructurales

Los pavimentos están constituidos por diferentes componentes, como capa de rodadura, base, subrasante y bombeo.

3.1.7.3. Subrasante

Los materiales que se utilicen como capa subrasante deberán ser de preferencia, del tipo: GW, SW, SM, ML, siempre que la porción fina, o sea la arcilla, no sea de alta plasticidad. Este material deberá ser compactado del 95 al 100 % de la prueba de compactación AASHTO T-99 o estándar. Cuando los materiales sean del tipo CI, MH, CH, CIML y cuando su límite líquido (LL), esté comprendido entre 50 y 100 %, se analizará la posibilidad de mejorarlos, con la finalidad de reducir los valores del LL y en consecuencia, del IP. Cuando el terreno de apoyo sea del tipo MH, CH y OH con LL = 100 %, serán desechados como material de apoyo.

Para ellos se recomienda una sustitución del material en espesores mínimos de 30 cm. En todos los casos en que se encuentren bolsas de material con alto contenido de materia orgánica se deberá proceder a su sustitución total con material limoso mezclado con arena o grava. Cuando en el corte de suelos naturales afloren fragmentos de roca, estos no serán admitidos como lecho de apoyo. De ser así, se deberá proceder a la remoción de estos fragmentos endurecidos.

La tabla XXVIII muestra la clasificación de suelo según el porcentaje de CBR.

Tabla XXIX. Calidad de subrasante en función del CBR

CBR (%)	Calidad de subrasante
0 - 3	Muy mala
3 – 5	Mala
5 - 20	Buena
20 - 30	Excelente

Fuente: BOWLES, Joseph E. Manual de laboratorio de suelos en ingeniería civil. p.191.

3.1.7.4. Subrasante y base

Constituye la capa intermedia entre la capa de rodamiento y la subbase. Generalmente se le usa en los pavimentos flexibles. Se compone de materiales pétreos con buena distribución granulométrica. Esta capa permite reducir los esfuerzos cortantes que se transmiten hacia las capas interiores. Además, cumple una función drenante del agua atrapada dentro del cuerpo del pavimento.

3.1.7.5. Capa de rodadura

Superficie de rodamiento constituida por materiales endurecidos para pasar minimizados los esfuerzos hacia las terracerías. Pueden ser materiales granulares con o sin liga, o más comúnmente de concreto asfaltico o hidráulico, en sus diferentes variantes. Constituye el área propiamente dicha por donde

circulan los vehículos y peatones, en este diseño la capa de rodadura será de concreto.

3.1.7.6. Bombeo

En los tramos en corte se evitará preferiblemente el empleo de pendientes menores a 0,5 %. Podrá hacerse uso de rasantes horizontales en los casos en que las cunetas adyacentes puedan ser dotadas de la pendiente necesaria para garantizar el drenaje y la calzada cuente con un bombeo igual o superior a 2 %. Los límites máximos de pendiente se establecerán teniendo en cuenta la seguridad de la circulación de los vehículos más pesados, en las condiciones más desfavorables de la superficie de rodadura.

El bombeo transversal es la pendiente necesaria para evacuar el agua hacia las orillas de la carretera y llevarla a los tragantes o cunetas. La pendiente de bombeo en este caso será del 3 % en ambos lados.

3.1.8. Parámetros de diseño

Sirve como punto de partida para realizar un diseño que cumpla con las condiciones necesarias para prestar un servicio óptimo en el período de vida para el que fue diseñado.

3.1.8.1. Período de diseño

El período de diseño utilizado en la pavimentación de la calle principal de la colonia Los Álamos, será de 20 años, por considerar que aproximadamente la vida útil de los materiales empleados es de 20 años, además, porque su diseño se realizó con el método PCA y las tablas están adecuadas para 20 años.

3.1.8.2. Diseño de la base

Para la base se consideraron los resultados de los ensayos realizados en el laboratorio y se determinó que el suelo no tiene un valor satisfactorio para utilizarlo como subrasante, por lo tanto se determinará el espesor de la base según las especificaciones correspondientes.

3.1.8.3. Diseño de espesor del pavimento

El diseño del espesor de pavimento rígido cuenta con datos de aforo vehicular, se realiza por el método de diseño PCA elaborado por la Portland Cement Association (PCA). Se estimó el TPD que es de 648 vehículos y 120 camiones, que transitarán por lo menos al día.

Método de diseño PCA

Este método es utilizado cuando se diseña pavimentos rígido y con datos que proporcionan las tablas con rangos de tránsito, así como también tablas con distribución de cargas para distintas categorías de calle y carreteras, diseñadas con un factor de seguridad de carga de 1, 1,1, 1,2 y 1,3 para las categorías 1, 2, 3 y 4 respectivamente. El período de diseño considerado es de 20 años.

El método consiste en los siguientes pasos:

- Estimar el tránsito promedio diario de camiones (TPDC) en ambas direcciones, no incluye camiones de dos ejes y cuatro llantas.
- Determinar la categoría de carga por eje según tabla Núm. XXIX.
- Determinar el espesor de base y de losa requerida, por medio de la tabla correspondiente (ver tablas XXXII y XXXV).
- Establecer el tipo de junta a utilizar.
- Establecer si se usara bordillo.
- Determinar el módulo de ruptura, el cual está definido como; el esfuerzo máximo en la fibra extrema de una viga de concreto. Una buena aproximación para la resistencia de la tensión será dentro de un 10 % a un 20 % de su resistencia a la compresión, por lo que se elige un 15 %. Entonces el Módulo de Ruptura (MR) es 0,15*4 000 = 600 PSI.
- Determinar el módulo de reacción "K" de la subrasante. Generalmente, el valor K puede darse como la clasificación SCU, PRA o el número CBR para determinar el módulo de reacción de la subrasante (el dato anterior se busca en la tabla núm. XXXI).
- Determinar el espesor final de la losa según la tabla de diseño determinada con los parámetros anteriores.

Con la información anterior, conociendo el módulo de ruptura del concreto y el tipo de juntas, buscan el espesor de la losa en la tabla correspondiente.

Procedimiento

Clasificación de la vía y determinación del TPPD

Dado que el tramo carretero se encuentra en zona rural y es un camino con un tránsito pesado de bajo a medio, su clasificación fue categoría 2 según la tabla XXIX. El principal factor en la determinación del espesor de un

pavimento, es el tránsito que pasará sobre él. Por eso es necesario conocer datos como:

- TPD: tránsito promedio diario en ambas direcciones de todos los vehículos.
- TPDC: tránsito promedio diario de camiones en ambas direcciones, carga por eje de camiones.

El TPDC puede ser expresado como un porcentaje del TPD. El dato del TPD se obtiene de contadores especiales de tránsito o por cualquier otro método de conteo.

Cálculo del espesor del pavimento.

Para determinar el módulo de reacción "K"; en este proyecto se determinó un CBR de 2,41 %, para una compactación de 81,57 % y 4,74 % para una compactación de 98,1 %. (ver la gráfica de los resultados de laboratorio), según requisitos de diseño se obtiene 3,58 % de CBR a un 95 % de compactación.

Con el dato anterior (CBR= 3,58 %); se busca el módulo de reacción "K" en la tabla XXXI, el cual da un valor aproximado de K= 112 lb/plg³, el cual determina este valor como bajo, este resultado quiere decir que se debe aplicar una base intermedia entre la rasante y la capa de rodamiento para calcular una base adecuada para este suelo.

Según el tipo de tránsito que pasar sobre este pavimento, y siendo una calle colectora secundaria, llego a la conclusión de que corresponde a la

categoría 2 según tabla XXIX. Con un rango a futuro de 1 171 vehículos, 217 camiones diarios que corresponde a 18 % de TPDC (ver tabla XXIX).

Para este pavimento se estimó un módulo de ruptura de concreto de 600 PSI; que es equivalente a un 15 % de f´c (f´c=4 000 PSI) esto es igual a 600 PSI (281 kg/cm²), a los 28 días de curado. Las losas de concreto se construirán con bordillo por separado y juntas por trave con agregados (sin dovelas).

Con los datos anteriores (K= 112 lb/pulg³) se usa la tabla XXXII para obtener un nuevo valor de "K", al agregar una base, según el espesor de la base granular aumenta el valor soporte o resistencia del suelo, el cual será la capa intermedia entre la capa de rodamiento y la subrasante, se interpola para encontrar un dato más exacto que es de 137,44 lb/plg³, que está clasificado como soporte medio según tabla XXX. El cual da una subbase granular de 6 pulgadas equivalente a 15,24 cm aproximándolo a 15 cm por comodidad.

Con los datos anteriores se usa la tabla XXXV para encontrar el espesor de la losa de concreto adecuada para el diseño, ubicándose en el lado izquierdo de la tabla, no se incluirá el bordillo a la fundición, posiciona en el MR = 600 PSI (módulo de ruptura), y en la columna de soporte medio se encuentra el valor de la losa, el cual da un espesor de 7,5 pulgadas equivalente a 19,05 cm, por comodidad y seguridad se trabaja con losa de espesor de 20 cm.

En consecuencia el diseño del pavimento queda de la siguiente manera

Tabla XXX. Elemento estructural

Elemente cotructural	Espesor					
Elemento estructural	Pulgadas	Centímetros	Por comodidad (cm)			
base granular	6	15,24	15			
Losa de concreto	7,5	19,05	20			
Total	14	34,29	35			

Las juntas serán construidas a cada 3,50 m igualmente la junta longitudinal; porque el ancho promedio de la calle será de 7,00 m la pendiente de bombeo será 3 % como se indica en los planos.

El bordillo es de concreto y tiene 10 cm de ancho por 30 cm de alto, fundido independientemente de la losa de concreto.

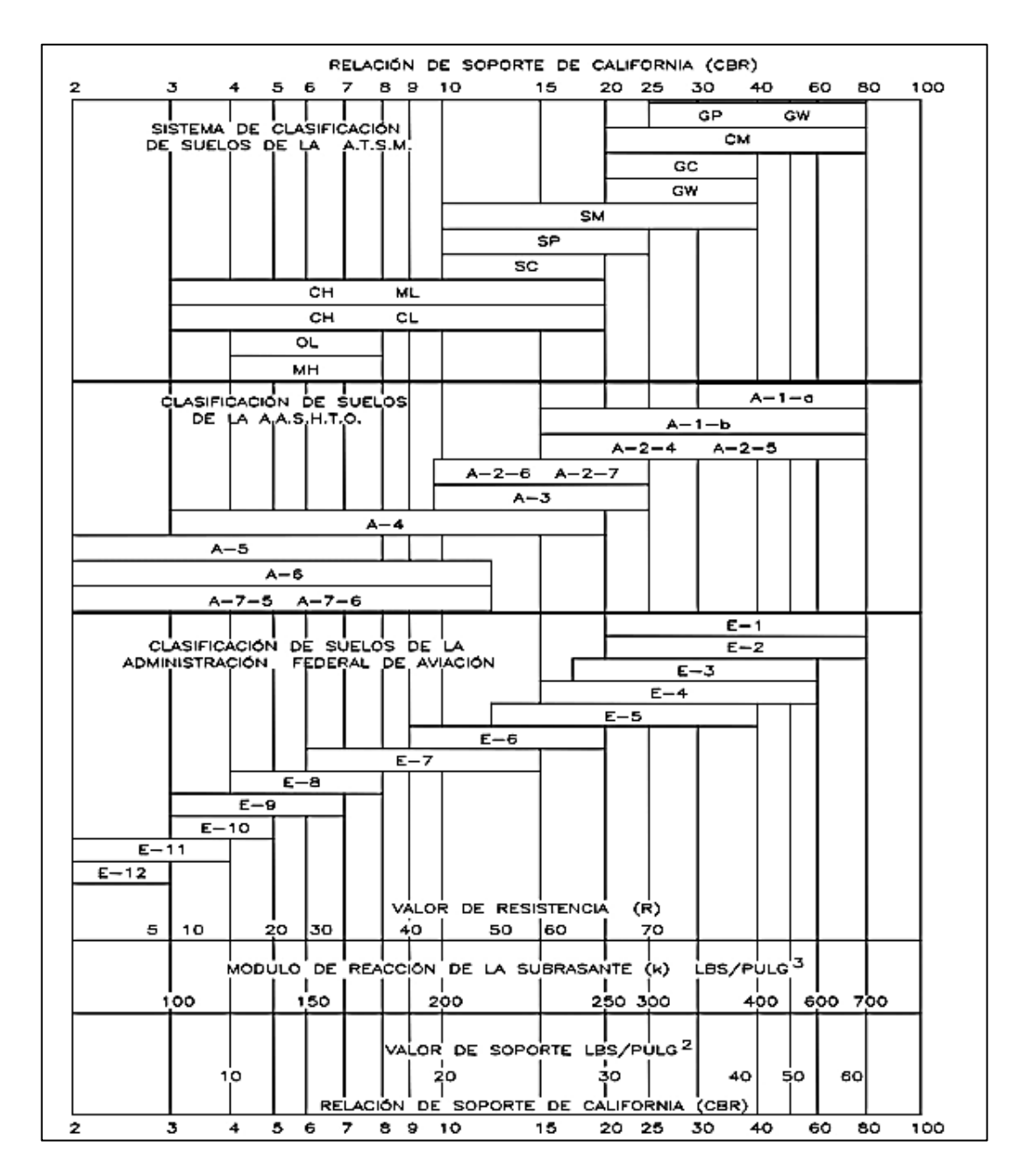
Relleno y sellante aplicado en frío. Relleno elastometrico a base de espuma de polietileno.

Tabla XXXI. Categoría de tráfico en función de cargas por eje

Categoría de ejes	Dogarinaián	TPDA	TF	PPD	Carga máxima / eje	
Cargados	Descripción	IPDA	%	Por día	Eje sencillo	Eje doble
1	Calles residenciales, caminos rurales y secundarios (de bajo a medio*)	200-800	1-3	hasta 25	22	36
2	Calles colectoras, caminos rurales y secundarios (altos*), arterias principales.	700-5 000	5-18	40-1 000	26	44
3	Caminos primarios y arterias principales (medio*), viaductos, vías rápidas periféricos, vialidades urbanas (de bajo a medio*)	3000-12 000 en 2 carriles 3 000-50 000 en 4 carriles	8-30	500-1 000	30	52
4	Arterias principales, carreteras principales, viaductos (altos*), carreteras y vías urbanas y rurales (medios a alto*)	3 000-20 000 en 2 carriles 3 000-15 000 4 carriles o mas	8-30	1 500- 80 00	34	60

Fuente: adoptado de: SALAZAR RODRIGUEZ, Aurelio *Guía para el diseño y construcción de pavimentos rígidos.* p.148.

Figura 13. Correlación aproximada entre la clasificación de los suelos



Fuente: SALAZAR RODRÍGUEZ, Aurelio. *Guía para el diseño y construcción de pavimentos rígidos.* p. 5.

Tabla XXXII. Tipos de suelos de subrasante y valores aproximados de K

TIPO DE SUELOS	SOPORTE	RANGO DE VALORES DE K PSI
Suelos de grano fino, en el cual el tamaño de partículas de limo y arcilla predomina	Bajo	75-120
Arenas y mezclas de arena con grava, con una cantidad considerada de limo y arcilla	Medio	130-170
Arena y mezclas de arena con grava, relativamente libre de fino	Alto	180-220
Subbase tratadas con cemento	Muy alto	250-400

Fuente: Manual centroamericano para diseño de carretas. p. 25.

Tabla XXXIII. Módulo de reacción K método PCA

CBR (%)	3	4	5	8	10	20
k (PCI)	100	120	140	175	200	250

Fuente: Adoptado de SÁNCHEZ SANDOVAL, Fernando. Método de diseño PCA. p. 45.

Tabla XXXIV. Valores de K para diseño sobre bases granulares (PCA)

Valor de K	valores de K sobre la base Lb/plg³							
de la subrasante lb/pl	Espesor 4 pulg.	Espesor 6 pulg.	Espesor 9 pulg.	Espesor 12 pulg.				
75	85	96	117	140				
150	165	180	210	243				
225	235	242	280	330				
300	320	330	367	430				

Fuente: Manual centroamericano para diseño de carreteras. p. 29.

Tabla XXXV. Valores de K para diseño sobre bases de suelo-cemento (PCA)

Valor de K	valores de K sobre la base Lb/plg³							
de la subrasante lb/pl	Espesor 4 pulg.	Espesor 6 pulg.	Espesor 9 pulg.	Espesor 12 pulg.				
75	220	294	386	496				
150	367	477	680	845				
225	514	698	900					

Fuente: Manual centroamericano para diseño de carreteras. p. 32.

Tabla XXXVI. TPDC permisible, carga por eje categoría 2 pavimento con juntas doveladas

	Concreto sin hombros o bordillo					Concreto con hombros o bordillo				
Es	pesor	Sı	Sopo Brasante		se	Espesor	Sı	Sope brasante		se
	losa ulg.	BAJO	MEDIO	ALTO	MUY ALTO	de losa pulg.	BAJO	MEDIO	ALTO	MUY ALTO
						5		3	9	42
	5,5				5	5,5	9	42	120	450
PS	6		4	12	59	6	96	380		
00	6,5	9	43	120	400	6,5	710	2 600	970	3 400
99	7	80	320							
MR=650	7,5	490	1 900	840	3 100	7	4 200			
	8	2500								
-	6				11	5			1	8
PSI	6,5		8	24	110	5,5	1	8	23	98
II.	7	15	70	190		6	19	84	220	810
99	7,5	110	440	1 100	750	6,5	160	620	1 500	5 200
MR=600	8	590		•					•	
2	8,5	2 700	2 300			7	1 000	3 600		

Continuación de la tabla XXXIV.

	6,5			4	19	5,5			3	17
PS	7		11	34	150	6	3	14	41	
00	7,5	19	84	230	890	6,5	29	120	320	160
=550	8	120	470			7	210	770		
M R R	8,5	560	2 200	1 200		7,5	1 100	4 000	1 900	1 100
2										
	9	2 400								

Nota: El análisis de fatiga controla el diseño.

Fuente: Manual centroamericano para diseño de carreteras. p. 38.

Tabla XXXVII. TPDC permisible, carga por eje categoría 2 pavimentos con juntas con agregados de trave

	Concreto sin hombros o bordillo					Concreto con hombros o bordillo				
	Soporte Subrasante -					Soporte				
Es	pesor		sub-l	oase		Espesor		Subrasante	- subbas	е
de	losa				MUY	de losa				MUY
р	ulg.	BAJO	MEDIO	ALTO	ALTO	pulg.	BAJO	MEDIO	ALTO	ALTO
						5		3	9	42
	5,5				5	5,5	9	42	120	450
PSI	6		4	12	59	6	96	380	700	970
	6,5	9	43	120	490	6,5	650	1 000	1 400	2 100
MR=650	7	80	320	840						
Σ	7,5	490	1 200	1 500	1 200	7	1 100	1 900		
	8	1 300	1 900							
	6				11	5			1	8
PSI	6,5		8	24	110	5,5	1	8	23	98
	7	15	70	190	750	6	19	84	220	810
MR=600	7,5	110	440	1 100	2 100	6,5	160	520	1 400	2 100
Σ̈́	8	590						·		
	8,5	1 900	1 900			7	1 000	1 900		

Continuación de la tabla XXXV.

	6,5			4	19	5,5			3	17
PSI	7		11	34	150	6	3	14	41	160
	7,5	19	84	230	890	6,5	29	120	320	1 100
MR=550	8	120	470			7	210			
Σ	8,5	560	2 200	1 200		7,5	1 100	770	1 900	
	9	2 400)							

Nota: Análisis de erosión controla el diseño; de otro modo el análisis de fatiga controla. Fuente: Manual centroamericano para diseño de carreteras. p. 42.

3.1.8.4. Tipos de juntas

Dado que el concreto experimenta cambios volumétricos debidos al cambio de la temperatura y en sus contenidos de agua, ellos hacen que las losas que lo constituyen tiendan a sufrir esfuerzos de tensión que en ocasiones rebasan a los que las losas pueden soportar.

Los esfuerzos de tensión generados por cambios volumétricos se ven incrementados por los del tipo fraccionante o de arrastre, generados en la interface losa-capa de apoyo, pues esta última se opone a que las losas se expandan o sufran contracción producida por agentes ambientales y por la disminución del agua dentro del concreto al secarse. Cuando no se toman en cuenta estos esfuerzos, aparecen grietas sin control.

La manera de evitar el agrietamiento sin control es justamente mediante una planeación de cortes, que alivien los esfuerzos antes citados de manera programada.

En la figura 14 se observa un esquema de los tipos de juntas en un pavimento.

JUNTA TRANSVERSAL DE CONSTRUCCION
(FIN DEL DIA)

SENTIDO DE LA
PAVIMENTACION

ANCHO DE
PAVIMENTACION

JUNTA LONGITUDINAL
DE CONSTRUCCION

JUNTA LONGITUDINAL
DE CONSTRUCCION

JUNTA LONGITUDINAL
DE CONSTRUCCION

JUNTA LONGITUDINAL
DE CONSTRUCCION

JUNTA LONGITUDINAL
DE CONTRACCION

ESTRUCTURA FIJA

JUNTA DE EXPANSION / AISLAMIENTO

Figura 14. Esquemas de juntas en un pavimento

Fuente: elaboración propia, empleando AutoCAD.

Las juntas transversales y longitudinales se deben cortar con disco a una profundidad de 1/3 – 1/4 de espesor de la losa tan pronto como lo permita el curado después de la colocación de la carpeta de concreto, para este caso se usará 1/4 del espesor, con un ancho de corte de 1/4".

Profundidad de corte= 1/4 * 0,20 m

Profundidad de corte= 0,05 m

La separación entre juntas puede ser de 21 a 24 veces el espesor de losa, para cuestiones de diseño se usará un factor intermedio de 21 veces el espesor.

Separación= 21*0,20

Separación= 4,2 m pero por ser un tablero grande se tomó para el diseño 3,50 m por seguridad.

Y la relación entre largo y ancho de los tableros debe ser 0.71 < x/y < 1,40.

Tomando la mitad del ancho de la carretera la junta transversal será de 3,50 m.

Y la relación será 3,75/3,75= 1,00

3.1.9. Estructura final del pavimento

Diseño para 20 años

- Se tiene aforo de circulación de vehículos en el sector.
- Según el tipo de suelo, de la tabla XXVII se puede concluir que es un suelo con soporte bajo.
- Se propone un espesor de base mínimo= 15 cm.
- Tomando un concreto de resistencia=600 psi, el espesor de losa con bordillo en ambos lados es de 20 cm.
- Juntas transversales a cada 3,50 m.
- Junta longitudinales de 3,50 m.

3.1.10. Diseño de mezcla de concreto

El proporcionamiento de mezclas de concreto, más comúnmente llamado diseño de mezclas es un proceso que consiste de pasos dependientes entre sí:

- Selección de los ingredientes convenientes (cemento, agregados, agua y aditivos).
- Determinación de sus cantidades relativas o proporcionamiento, para producir concreto de trabajabilidad, resistencia a compresión y durabilidad apropiada.

Estas proporciones dependerán de cada ingrediente en particular, los cuales a su vez dependerán de la aplicación particular del concreto. También podrían ser considerados otros criterios, tales como minimizar la contracción y el asentamiento o ambientes químicos especiales.

- Información requerida para el diseño de mezclas.
- Análisis granulométrico de los agregados.
- Peso unitario compactado de los agregados (fino y grueso).
- Peso específico de los agregados (fino y grueso).
- Contenido de humedad y porcentaje de adsorción de los agregados (fino y grueso).
- Perfil y textura de los agregados.
- Tipo y marca del cemento.
- Peso específico del cemento.
- Relaciones entre resistencia y la relación agua/cemento, para combinaciones posibles de cemento y agregados.

Pasos para el proporcionamiento

Se puede resumir la secuencia del diseño de mezcla de la siguiente manera:

- Estudio detallado de los planos y especificaciones técnicas de obra
- Elección de la resistencia promedio
- Elección del asentamiento (slump)
- Selección del tamaño máximo del agregado grueso
- Estimación del agua de mezclado y contenido de aire
- Selección de la relación agua/cemento (a/c)
- Cálculo del contenido de cemento
- Estimación del contenido de agregado grueso y agregado fino
- Ajustes por humedad y absorción
- Cálculo de proporciones en peso
- Cálculo de proporciones en volumen
- Cálculo de cantidades por tanda
- Determinación del tipo de asentamiento según la estructura

Determinación de estructura.

Para determinar el asentamiento se utiliza la tabla XXXVI:

Tabla XXXVIII. Asentamiento según estructura

TIPO DE ESTRUCTURA	ASENTAMIENTO
Cimientos, muros reforzados y vigas	12 cm
Paredes reforzadas y columnas	10 cm
Pavimentos y losas	8 cm
Concreto masivo	5 cm

Fuente: material de apoyo de curso de materiales de construcción. Primer semestre 2008.

Según la tabla XXXVI, para pavimentos se utiliza un asentamiento de 8 cm. Se necesita un concreto de un f'c= 281 kg/cm², con un agregado de 1".

Asentamiento de concreto

Tabla XXXIX. Relación agua – asentamiento

Asentamiento	Cantidad de agua litro/metro cúbico							
en centímetros	3/8"	1/2"	3/4"	1"	1 1/2"			
3 a 5	205	200	185	180	175			
8 a 10	225	215	200	195	180			
15 a 18	240	230	210	205	200			

Fuente: material de apoyo de curso de materiales de construcción. Segundo semestre 2009.

Con los datos se asentamiento y tamaño de agregado, se obtiene de la tabla XXXVII la cantidad de agua, que es $195 \, \text{lt/m}^3$.

Se procede a buscar en la tabla siguiente la relación A/C para una resistencia de 281 kg/cm² y así hallar la cantidad de cemento.

Relación agua cemento.

Tabla XL. Relación agua cemento

Resistencia	Relación
kg/cm³	A/C
210	0,60
281	0,54
316	0,50

Fuente: Centro de Investigaciones de Ingeniería materiales de construcción.

Segundo semestre 2009.

De la tabla XXXVIII, se determina la relación A/C = 0,54 para encontrar la cantidad de material.

Cantidad de cemento = agua/0,54

Cemento = 195/0,54

Cemento = $361,11 \text{ kg/m}^3$

• Determinando el peso de los agregados

Peso de concreto es de 2 400 kg/m³.

Peso de agregados= peso de concreto – (peso de agua + peso de cemento).

Peso de agregados= 2 400 - (361,11 + 195).

Peso de agregados= 1 843,89 Kg/m³.

Con la tabla de porcentajes de agregados, se obtiene el porcentaje de arena, para el agregado grueso de 1".

Porcentaje de agregado

Para calcular el porcentaje de agregado fino fue utiliza la tabla XXXIX.

Tabla XLI. Porcentaje de agregado fino

Tamaño máximo agregado grueso	Porcentaje de arena sobre agregado total
3/8"	48
1/2"	46
3/4"	44
1"	42
1 1/2"	40

Fuente: material de apoyo de curso de materiales de construcción. Primer semestre 2008.

Porcentaje de arena total= 42 % del agregado total fue utilizada la tabla XXXIX.

Entonces:

Arena= 1 843,89*42 %= 774,43 Kg

Piedrín= 1 843,89 - 774,43= 1 069,46 Kg

Resumen de datos obtenidos:

Agua= 195 kg

Cemento= 361,11 kg

Arena= 774,43 kg

Piedrín= 1 069,46 kg

Calculando la proporción:

Cemento: 361,11/361,11= 1

Arena 774,43/361,11= 2,14

Piedrín 1 069,46/361,11= 2,96

Proporción del concreto por peso será: 1: 2,14: 2,96: 0,54

Por volumen

Volumen

Cemento= 361,44 kg/m³/42,5 kg= 8,50 sacos/m³

Cemento= 8,50 sacos*
$$\frac{pie^3}{saco}$$
* $\frac{m^3}{35,31pie^3}$ = 0,2407 m³

Arena= $\frac{774,43 kg}{1400kg/m^3}$ = 0,553 m³

Piedrín= $\frac{10.69,46 kg}{1.600 kg/m^3}$ = 0,668 m³

1: 2,30: 2,78: 0,21 gal

3.1.11. Conformación y curado del pavimento

Inmediatamente después del texturizado y ranurado y tan pronto sea posible sin causar daño a la superficie del concreto, se debe proceder al curado del concreto por alguno de los siguientes métodos:

 Carpetas o esteras de algodón, lona o brines empapadas con agua. La superficie del concreto debe ser cubierta en su totalidad con esteras. Las esteras deben tener longitudes (o anchis) tales, que salgan por lo menos dos veces el espesor de la losa de concreto. La estera se colocará de forma tal, que la superficie total y ambos bordes de la losa queden completamente recubiertos. Antes de la colocación, se empaparán con agua las esteras. Las esteras se colocarán y se sujetarán con pesos, para que estén en contacto directo con la superficie revestida y se deben mantener mojadas y colocadas durante 72 horas.

Aplicación de compuestos líquidos formadores de membrana de curado.
 El contratista debe aplicar un compuesto láquido de curado son pigmento blanco que llene los requisitos de 551,08 (f) y en forma como se indica en 553,18.

El compuesto de curado, se aplicará a presión en la proporción de un litro por 3,00 metros cuadrados de pavimento de concreto hidráulico, mediante distribuciones mecánicos. El compuesto de curado tendrá características tales, que la película debe endurecer dentro de los 30 minutos a la aplicación.

Se emplearán medio aprobados, para asegurar el curado de las juntas cortas con sierra durante por lo menos 72 horas y para evitar la penetración de material extraño en la junta antes de terminar el sellado.

3.1.12. Elaboración de planos finales

Los planos que se elaboran en este diseño se describen a continuación:

- Planta general
- Planta-perfil de calle de 1ra Av. entre 1ra calle y 3ra calle.
- Planta-perfil de calle de 5ta. Calle entre 0 Av. y 4ta Av.
- Planta-perfil de calle de 6ta y 2da Av. entre 0 Av. y 5ta Av.

- Planta-perfil de calle de 5ta Av. entre 4ta calle y final.
- Planta-perfil de calle de 4ta calle entre 4ta Av. y final.
- Planta-perfil de calle de 0 Cv. A entre 4ta calle y 5ta calle.
- Planta-perfil de calle de 2da Av. entre 4ta calle y 5ta calle.
- Planta-perfil de calle de 2da Av. entre 4ta calle y final.
- Planta-perfil de calle de 5ta calle B entre 5ta Av. Y final.
- Planta-perfil de calle de 0 Av. A entre 6ta calle y final.
- Planta-perfil de calle de 1ra. Av. A entre 6ta calle y final.
- Planta-perfil de calle de 2da calle entre 0 Av. y final.
- Planta-perfil de calle de 3ra calle entre 0 Av. y 2da Av.
- Planta-perfil de calle de 5ta calle B y 4ta Av. entre 0 Av. y 4ta calle.
- Planta perfil de calle de 3ra Av. entre 4ta calle y 5ta calle B final.
- Detalle de pavimentación

3.1.13. Evaluación de impacto ambiental

Para este método la asignación de valores es subjetiva y no existe una fórmula o método que indique los valores a asignarse. La siguiente tabla muestra la evaluación de impacto ambiental para el proyecto de pavimentación de las calles de acceso a la colonia Los Álamos.

Como puede observarse en la tabla XL, el impacto ambiental será positivo para la población de la colonia Los Álamos, salvo en el factor de flora y fauna, los cuales presentan valores negativos por las acciones de ruido y vibraciones, causadas por los trabajos de construcción y tránsito vehicular, y contaminación de humo causado por los vehículos que lleguen a transitar por las calles de la colonia, siendo estos problemas mínimos comparados con los beneficios debido a que las acciones muestran un impacto positivo y de gran importancia, beneficiando a los pobladores en los aspectos de mayor

comodidad de transporte, mejor salud por la eliminación de polvo y el aumento de las actividades económicas y agrícolas.

Tabla XLII. Matriz de Leopold de impacto ambiental de pavimentación

					ACCI	ONES CO	N POSIBI	LES EFEC	TOS			
				modifica	icion del	ragiman	transfor	macion	Extraco	ion de		
				mounte	icion dei	regimen	del ter	ritorio	recu	rsos		
				Alteracion cubierta y terrestre	Ruido y vibraciones	Contaminacion de humo	Superficie o pavimento	Drenaje pluvial	Desmonte y rellenos	Arbustos y plantas	Impacto en ambiente	Importancia de impacto
		Tierra	Suelos	-1	-3	0	5 5	3	1 5	1 5	6	27
				5 0	3 0	3	0	3	0	0		27
			Calidad	5	0	5	0	5	0	0		
	cas	Agua		0	0	0	0	0	0	0	3	
	Fisico quimicas		Temperatura	5	0	5	3	3	5	5		41
	nb o		0.11.1	-3	-2	0	5	4	-1	-1		
	isicc	A + f	Calidad	5	5	5	1	3	2	3		
	ш	Atmosfera	Inundaciones	0	0	0	4	5	0	0	11	
			munuaciones	0	0	0	1	3	2	2		32
		Procesos	Compactacion	5	0	0	5	3	1	0	14	
		11000303	Compactacion	5	2	0	5	3	3	2		20
FACTORES AMBIENTALES			Arboles	-2	0	-2	0	2	0	-2		
Ι¥	nes	Flora	7.1.20.00	5	2	3	1	0	2	5		
BIE	Condiciones biologicas		cosechas	-3	0	0	5	4	0	-2	4	
Σ	ond Siok			5	0	3	2	0	2	2	_	14
ES /	2 7	Fauna	Macro fauna	0	-4	-2	0	0	0	-3	-9	
l g				5	3	3	3	1	3	5		23
AC		Uso del	Agricultura	-1 5	0	-1 5	2	3	0	-1 5		
"		territorio		3	3 -3	-1	5	4	3 -1	-1	11	
		territorio	Zona residencial	4	4	4	5	5	3	5	11	56
	S		Culturas o formas	-3	-3	-1	5	5	0	0		30
	Factores culturales		de vida	5	5	5	5	4	2	3		
	불			-1	-1	-1	3	3	0	0		
	is ci	Nivel Cultural	Salud y seguridad	4	4	4	4	5	2	3		
	tore		Fl.	3	-1	0	5	3	0	0	16	
	Fac		Empleo	3	3	3	3	3	3	3		76
			Red de	0	0	0	5	3	0	0		
		Servicio e	transporte	5	3	3	5	5	3	3		
		infraestructura	Servicios	2	1	0	5	5	0	3	21	
				3	3	4	4	4	2	-9		50
			de la accion	-1	-16	-8	56	51	0	-9		
		Importanc	ia de la accion	69	40	55	49	48	42	54		

3.1.14. Obras de protección

Las obras de protección son estructuras auxiliares de una carretera, las cuales se detallan en los planos. Para el diseño de pavimento rígido, las obras de protección son las siguientes:

Bordillo

Faja o cinta de piedra que forma el borde de una acera, situados a ambos lados de la línea central de la calle, recubiertas de: piedra ligada con mortero, concreto simple fundido en sitio, concreto simple prefundido o mezclas asfálticas, que sirven para conducir hacia los drenajes, el agua de lluvia que cae sobre la capa de rodamiento.

El bordillo y las dimensiones se especifican en el plano detalles de calles en los anexos.

Juntas

En el proceso de la construcción, también es un paso muy importante la instalación de los diferentes tipos de juntas que se pueden utilizar en un pavimento de concreto. Es común que una parte del proceso de construcción de las juntas requeridas, que se pueden llamar la instalación de ensambles de las juntas, tenga lugar entre el acabado final de la subrasante y el principio de las operaciones reales de la colocación del concreto. Puede ser que tales ensambles no sean requeridos, como en el caso de un pavimento simple de concreto en el cual las juntas transversales se cortan y no se usan clavijas. Deberá ponerse un cuidado extremo en todas las operaciones que acompañan la construcción de juntas si se quiere que funcionen de manera apropiada.

En el diseño se construirán juntas de construcción donde se une la pavimentación nueva con el pavimento de concreto existente. Juntas transversales: estas se cortarán a un distancia de 3,50 m. y una profundidad de 5,00 cm. Junta longitudinales: se cortarán a una distancia de 3,50 m. sirviendo de límite entre carriles y con un corte de 5,00 cm de profundidad.

3.1.15. Elaboración de presupuesto

Los precios de los materiales fueron tomados de acuerdo con cotizaciones realizadas en diferentes empresas dedicadas a la materia en el lugar, el presupuesto se realizó en quetzales y en dólares.

El cálculo del porcentaje de prestaciones se muestra en la tabla VI y la integración de precios se muestra en las siguientes tablas.

Tabla XLIII. Integración de unitarios de replanteo topográfico

Renglón 1						
Cantidad ml 7 415,97 Replanteo topográfico						
MATERIALES						
Descripción	Unidad	Cantidad	P.U. (Q)	Precio total (Q)	Precio total (\$)	
Estacas	Global	1	200,00	200,00	26,42	
Pintura	Galón	1	140,00	140,00	18,49	
Subtotal	de materia			340,00	44,91	
	M	ANO DE O	BRA POR T	RATO		
Descripción	Unidad	Cantidad	P.U. (Q)	Precio total (Q)	Precio total (\$)	
Cadenero	Día	15	73,67	1 105,05	145,98	
Topográfico	Día	15	166,67	2 500,05	330,26	
Subtotal				3 605,10	476,24	
Prestaciones			0,8567	3 088,49	407,99	
Total de m	ano de obr	a		6 693,59	884,23	
		HERRAMIE	NTO Y EQL	JIPO		
Descripción	Unidad	Cantidad	P.U. (Q)	Precio total (Q)	Precio total (\$)	
Palas, piochas, azadones, machetes, martillos	Global	1	500,00	500,00	66,05	
Alquiler de estación total	Día	15	525,00	7 875,00	1 040,29	
Subtotal de herr	ramienta y	equipo		8 375,00	1 106,34	
Costo	directo		Factores	15 408,59	2 035,48	
Impr	revisto		0,03	462,26	61,06	
Administración			0,10	1 540,86	203,55	
Utilidad		0,20	3 081,72	407,10		
IVA		0,12	1 849,03	244,26		
Total				22 342,45	2 951,45	
Costo	unitario			3,01	0,40	

Tabla XLIV. Integración de unitarios de corte de cajuela

Renglón 2					
Cantidad m³ 17 843 corte de cajuela					
		M	ATERIAL		
Descripción	Unidad	Cantidad	P.U. (Q)	Precio total (Q)	Precio total (\$)
Subtotal o	le materi	al		0.00	0.00
		MAN	O DE OBRA	A	
Descripción	Unidad	Cantidad	P.U. (Q)	Precio total (Q)	Precio total (\$)
Peones	Día	75	73,67	5 525,25	729,89
Subtotal				5 525,25	729,89
Prestaciones			0,8567	4 733,48	625,29
Total de m	ano de o	bra		10 258,73	1 355,18
		MAQUIN	ARIA Y EQ	UIPO	
Descripción	Unidad	Cantidad	P.U. (Q)	Precio total (Q)	Precio total (\$)
Tractor D6D	Horas	595	525,00	312 375,00	41 264,86
Camión 12 m³	Horas	1 636	400,00	654 400,00	86 446,50
Moto niveladora	Horas	114	475,00	54 150,00	7 153,24
Bomba de agua	Horas	114	150,00	17 100,00	2 258,92
Subtotal maqu	iinaria y	equipo		1 038 025,00	137 123,51
Costo directo			Factores	1 048 283,73	138 478.70
			0,03	31 448,51	4 154,36
			0,10	104 828,37	13 847,87
			0,20	209 656,75	27 695,74
			0,12	125 794,05	16 617,44
Total				1 520 011,41	200 794,11
Costo	unitario			85,19	11,25

Tabla XLV. Tratamiento de la subrasante

renglón 3								
cantidad m²	50 979	tratamiento de la subrasante						
	N	//ATERIAL						
				Precio total	Precio total			
Descripción	Unidad	Cantidad	P.U. (Q)	(Q)	(\$)			
Subtotal de mate	rial	T		0	0			
	MA	NO DE OBF						
,				Precio total	Precio total			
Descripción	Unidad	Cantidad	1	(Q)	(\$)			
Ayudante de maquinaria	Día	35	73,67	2 578,45	340,61			
Prestaciones			0,8567	2 208,96	291,80			
Subtotal de mano de obra				4 787,41	632,42			
	HERRAIV	IIENTA Y E	QUIPO	Precio total	Precio total			
Descripción	Unidad	Cantidad	P.U. (Q)	(Q)	(\$)			
Retroexcavadora	Hora	114	475	+	7 153,24			
Rodo compactador	Hora	243	200,00		6 420,08			
Camión cisterna	Hora	121	150,00	· · · · · · · · · · · · · · · · · · ·	2 397,62			
Traslado de maquinaria	Unidad	2	1 480,00	2 960 00	391,02			
College and the leasure of the college					331,02			
Subtotal de herramienta y					331,02			
equipo				123 860,00	16 361,96			
•								
•			Factores					
equipo			Factores 0,03	123 860,00 128 647,41	16 361,96			
equipo				123 860,00 128 647,41 3 859,42	16 361,96 16 994,37			
equipo			0,03	123 860,00 128 647,41 3 859,42 12 864,74	16 361,96 16 994,37 509,83			
equipo			0,03 0,10	123 860,00 128 647,41 3 859,42 12 864,74 25 729,48	16 361,96 16 994,37 509,83 1 699,44			
equipo			0,03 0,10 0,20	123 860,00 128 647,41 3 859,42 12 864,74 25 729,48	16 361,96 16 994,37 509,83 1 699,44 3 398,87			
equipo			0,03 0,10 0,20	123 860,00 128 647,41 3 859,42 12 864,74 25 729,48	16 361,96 16 994,37 509,83 1 699,44 3 398,87			

Tabla XLVI. Integración de unitarios de base granular de 15 cm

		Renglo	ón 3				
Cantidad m³	7 646,9		Base de 0,15 m				
	MATERIAL						
Descripción	Unidad	Cantidad	P.U. (Q)	Precio total (Q)	Precio total (\$)		
Material granular	m³	7 647	149,6	1 143 991,2	151 121,69		
Subtotal de r	naterial			1 143 991,2	151 121,69		
	ı	MANO DI	OBRA				
Descripción	Unidad	Cantidad	P.U. (Q)	Precio total (Q)	Precio total (\$)		
Peones	Día	18	73,67	1 326,06	175,17		
Subtotal				1 326,06	175,17		
Ayudante			0,34	450,86	59,56		
Prestaciones			0,8567	1 136,04	150,07		
Total de mano	de obra			2 912,96	384,80		
	HEF	RAMIENT	A Y EQUIP	0			
Descripción	Unidad	Cantidad	P.U. (Q)	Precio total (Q)	Precio total (\$)		
Moto niveladora	Hora	146	500,00	73 000,00	9 643,33		
Maquina compactadora	Hora	36	200,00	7 200,00	951,12		
Bomba de agua	Hora	72	150,00	10 800,00	1 426,68		
Subtotal herramie	nta y equ	ipo		91 000,00	12 021,14		
Costo directo			Factores	1 237 904,16	163 527,63		
Imprevisto			0,03	37 137,12	4 905,83		
Administración			0,10	123 790,42	16 352,76		
Utilidad			0,20	247 580,83	32 705,53		
IVA			0,12	148 548,50	19 623,32		
Total				1 794 961,03	237 115,06		
Costo uni	Costo unitario				31,01		

Tabla XLVII. Integración de unitarios de carpeta de rodadura de 20 cm

		Renglón 4			
Cantidad m ³	10 196		Carpeta d	le rodadura de 0,2	0 m
		MATERIAL		,	-
Descripción	Unidad	Cantidad	P.U. (Q)	Precio total (Q)	Precio total (\$)
Cemento UGC	Saco	98 491,47	66,88	6 587 109,29	870 159,75
Arena de río	m³	5 781,02	52,80	305 237,90	40 322,05
Piedrín de 1"	m³	7 065,69	149,60	1 057 027,55	139 633,76
Tabla de 10 ft	Unidad	30,00	57,00	1 710,00	225,89
Clavo para madera 2 1/2"	lb	23,00	7,00	161,00	21,27
Clavo para madera 3"	lb	23,00	7,00	161,00	21,27
Alambre de amarre	lb	30,00	5,72	171,60	22,67
Costanera de 8"x2"x1/16 de 6,00 m	Unidad	28,00	185,00	5 180,00	684,28
Anti sol rojo	Cubeta	51,00	500,00	25 500,00	3 368,56
Bomba para fumigar	Unidad	3,00	308,00	924,00	122,06
Sello de junta Sikaflex	Cubeta	97,00	350,00	33 950,00	4 484,81
Subtotal de mate	rial			8 017 132,34	1 059 066,36
	MA	NO DE OBR	Α		
Descripción	Unidad	Cantidad	P.U. (Q)	Precio total (Q)	Precio total (\$)
Colocación de arrastres	ml	7 415,97	1,50	11 123,96	1 469,48
Retiro de arrastres	ml	7 415,97	1,00	7 415,97	979,65
Corte de concreto	ml	7 415,97	2,10	15 573,54	2 057,27
Colocación de concreto	m²	50 979,02	25,00	1 274 475,50	168 358,72
Aplicación de antisol	m²	50 979,02	7,75	395 087,41	52 191,20
Sello de juntas	ml	22 247,00	1,50	33 370,50	4 408,26
Limpieza	ml	22 247,00	0,50	11 123,50	1 469,42
Subtotal				1 748 170,37	230 934,00
Ayudante			0,34	594 377,92	78 517,56
Prestaciones			0,86	1 497 657,55	197 841,16
Total de mano de	obra			3 840 205,85	507 292,71
	HERRA	MIENTA Y E			
Descripción	Unidad	Cantidad	P.U. (Q)	Precio total (Q)	Precio total (\$)
Palas, piochas, azadones, carretillas	Global	1,00	1 500,00	1 500,00	198,15
Vibrador	Día	24,00	450,00	10 800,00	1 426,68
Arrastre manual	Día	24,00	400,00	9 600,00	1 268,16
Rallador	Día	12,00	350,00	4 200,00	554,82
Cortadora de disco diamante	Día	60,00	150,00	9 000,00	1 188,90
Subtotal herramienta	y equipo			35 100,00	4 636,72
Costo directo			Factores	11 892 438,18	1 570 995,80
Imprevisto			0,03	356 773,15	47 129,87
Administración			0,10	1 189 243,82	157 099,58
Utilidad			0,20	2 378 487,64	314 199,16
IVA			0,12	1 427 092,58	188 519,50
Total				17 244 035,37	2 277 943,91
Costo unitario				1 691,29	223,42

Tabla XLVIII. Integración de unitarios de bordillo

		Rengló	n 5		
Cantidad ml	14 831,9		Bordillo		
Descripción	Unidad	Cantidad	P.U. (Q)	Precio total (Q)	Precio total (\$)
Cemento UGC	Saco	4 288,95	66,88	286 845,12	37 892,35
Arena de río	m³	254,16	52,80	13 419,65	1 772,74
piedrín de 1"	m³	308,36	149,60	46 130,06	6 093,80
Hierro de 3/8"	qq	200,00	237,60	47 520,00	6 277,41
Hierro de 1/4"	qq	66,00	198,00	13 068,00	1 726,29
Tabla de 1"x1'x10'	Unidad	30,00	57,00	1 710,00	225,89
Clavo para madera 3"	Lb	23,00	7,00	161,00	21,27
Costanera 6"x2"x1/16 de					
6,00 m	Unidad	28,00	185,00	5 180,00	684,28
Alambre de amarre	Lb	30,00	5,72	171,60	22,67
Subtotal de	material			414 205,43	54 716,70
		MANO DE	OBRA		
Descripción	Unidad	Cantidad	P.U. (Q)	Precio total (Q)	Precio total (\$)
Colocación de concreto	ml	444,96	25,00	11 123,96	1 469,48
Colocación de formaleta	ml	14 831,94	1,50	22 247,91	2 938,96
Retiro de formaleta	ml	14 831,94	1,00	14 831,94	1 959,31
Subtotal				48 203,81	6 367,74
Ayudante			0,34	16 389,29	2 165,03
prestaciones			0,86	41 296,20	5 455,24
Total de man	o de obra			105 889,30	13 988,02
		RRAMIENTA			
Descripción	Unidad	Cantidad	P.U. (Q)	Precio total (Q)	Precio total (\$)
Palas, piochas,					
azadones, carretillas	Global	1,00	800,00	800,00	105,68
Vibrador	Días	15,00	450,00	6 750,00	891,68
Mezcladora de concreto	Días	15,00	500,00	7 500,00	990,75
Subtotal herramic	enta y equi	ipo		15 050,00	1 988,11
Costo directo			Factores	535 144,73	70 692,83
Imprevisto			0,03	16 054,34	2 120,78
Administración			0,10	53 514,47	7 069,28
Utilidad			0,20	107 028,95	14 138,57
IVA			0,12	64 217,37	8 483,14
Total				775 959,86	102 504,61
Costo un	itario			52,32	6,91

Tabla XLIX. Integración de unitarios de limpieza

		Rer	nglón 7						
Cantidad ml	7 415,97 Limpieza								
	HERRAMINETA Y EQUIPO								
Descripción	Unidad	Cantidad	P.U. (Q)	Precio total (Q)	Precio total (\$)				
Retro excavadora	Horas	40	475,00	19 000,00	2 509,91				
Camión	Global	1	250,00	250,00	33,03				
Subtotal				19 250,00	2 542,93				
		MANO	DE OBRA						
Descripción	Unidad	Cantidad	P.U. (Q)	Precio total (Q)	Precio total (\$)				
Peones	Día	8	73,67	589,36	77,85				
Subtotal				589,36	77,85				
Prestaciones			0,8567	504,90	66,70				
Total de m	ano de obi	ra		1 094,26	144,55				
		MA	TERIAL						
Descripción	Unidad	Cantidad	P.U. (Q)	Precio total (Q)	Precio total (\$)				
Subtotal				0,00	0,00				
Costo directo			Factores	20 344,26	2 687,49				
Imprevisto			0,03	610,33	80,62				
Administración			0,10	2 034,43	268,75				
Utilidad			0,20	4 068,85	537,50				
IVA			0,12	2 441,31	322,50				
Total				29 499,18	3 896,85				
Costo unitario				3,98	0,53				

Tabla L. Presupuesto de diseño de pavimento

Núm.	Descripción	Unidad	Cantidad	P.U. (Q)	Total (Q)	Total (\$)
1	Replanteo topográfico	ml	7 415,97	3,01	22 342,45	2 951,45
2	Corte de cajuela	m³	17 842,66	85,19	1 520 011,41	200 794,11
3	Tratamiento de la subrasante	m²	509 79	3,66	186 538,74	24 641,84
4	Base de 0,15 m	m³	7 646,85	234,73	1 794 961,03	237 115,06
5	Carpeta de rodadura de 0,20 m	m³	10 195,80	1 691,29	17 244 035,37	2 277 943,91
6	Bordillo	ml	14 831,94	52,32	775 959,86	102 504,61
8	Limpieza	ml	7 415,97	3,98	29 499,18	3 896,85
	Total				21 573 348,05	2 849 847,83

Imprevistos	3 %
Administración	10 %
Utilidad	20 %
IVA	12 %

Cambio de dólar al 02/05/2015, 1US\$ = Q 7,57

En letras: veintiun millones quinientos setenta y tres mil trecientos cuarenta y ocho quetzales con cinco centavos.

Equivalente a: dos millones ochocientos cuarenta y nueve mil ochocientos cuarenta y siete dólares con ochenta y tres centavos.

CONCLUSIONES

- La construcción del sistema de alcantarillado sanitario, resolverá la problemática de los focos de contaminación y malos olores en el caserío El Cerro, con este sistema las aguas servidas ya no serán vertidas sobre la superficie del terreno.
- La evacuación del agua residual del caserío El Cerro, será tratada por medio de una planta de tratamiento para minimizar la contaminación hacia donde se desfogará.
- 3. Este trabajo de EPS proporcionó una buena experiencia, pues permitió realizar proyectos completos de ingeniería, desde las investigaciones preliminares, para la recopilación de datos y parámetros de diseño, los trabajos topográficos, hasta el diseño con planos finales. Ha sido importante el hecho de tomar decisiones en un proyecto real, así como conocer las necesidades de servicios públicos que hay en el municipio de San Miguel Petapa.
- 4. La subrasante de la colonia Los Álamos es un suelo donde predomina la arcilla, donde se clasificó de soporte bajo, para la cual fue necesario implementar una base granular adecuada, necesario para aumentar el soporte y drenar las aguas que se puedan filtran en la capa de rodadura para soportar la carga de los vehículos.
- 5. El método simplificado de la PCA, utilizado para el diseño del pavimento rígido para a colonia Los Álamos, es un método de fácil aplicación, ya

que gran parte del procedimiento del mismo se basa en tablas, por lo tanto tiene gran aplicación, y están diseñadas para un período de vida de 20 años.

6. El mantenimiento frecuente y adecuado es importante para reducir al mínimo los costos de reparación a largo plazo, especialmente lo que se refiere a revestimiento.

RECOMENDACIONES

- Para lograr un buen funcionamiento del alcantarillado sanitario, se debe hacer conciencia a los vecinos de la aldea, para que le den el uso adecuado, explicando que no deben de permitir botar basura dentro de los pozos de visita o tubería, ni conectar las aguas de lluvias de sus casas a este sistemas.
- 2. Verificar que en la construcción los precios de materiales y mano de obra no hayan variado para evitar los problemas de financiamiento.
- Dar mantenimiento al sistema de alcantarillado sanitario, al inicio y al final de cada invierno, para garantizar el buen funcionamiento del sistema durante su período de vida.
- 4. Es necesaria la supervisión técnica de un profesional, para que el proyecto brinde los resultados esperados y para garantizar que las especificaciones de los planos se cumpla a cabalidad.
- 5. Para la durabilidad de las calles de la colonia Los Álamos dependerá de varios factores, prever un manteniendo periódico y adecuado en las estructuras de drenaje para evitar obstrucciones o empozamientos que puedan dañar la estructura de la calle.
- 6. Realizar una compactación adecuada de la base que alcance el valor estimado de CBR al 95 % y de esta forma evitar fallos en la capa de

rodadura y además de realizar un curado adecuado para que alcance la resistencia correspondiente.

7. Realizar las juntas correspondientes y sellarlas en el tiempo correspondiente para evitar el agrietamiento Y filtración del agua en la capa de rodadura.

BIBLIOGRAFÍA

- 1. Apuntes de los cursos de topografía, *Ingeniería Sanitaria II*, *mecánica de suelos*, *concreto*. Guatemala: USAC, 2009.
- 2. BOWLES, Joseph E. Manual de laboratorio de suelos en ingeniería civil.

 Colombia: McGraw-Hill, 1980. 225 p.
- Centro de Educación Artística. Manual para las instalaciones de agua potable, agua tratada, drenaje sanitario y drenaje pluvial de los fraccionamientos y condominios de la Cd. de Querétaro, México: CEA, 2001. 126 p.
- 4. CRESPO VILLALAZ, Carlos. *Mecánica de suelos y cimentaciones*. 4a ed. México: Limusa, 1999. 183 p.
- Ministerio de Comunicaciones, Infraestructura y Vivienda. Dirección
 General de Caminos. Especificaciones generales para la
 construcción de carreteras y puentes. Guatemala: DGC, 2000. 628
 p.
- 6. Ministerio de Salud Pública. Unidad de Salud Ambiental. Diseño y construcción de prototipo de fosa séptica para el tratamiento y disposición final de aguas residuales en viviendas de zona rurales. El Salvador: MSP, 2010. 86 p.
- 7. Instituto de Fomento Municipal. *Manual para el diseño de alcantarillados. Guatemala*: Infom, 2001. 29 p.

- 8. LAURA HUANCA, Samuel. *Diseño de mezclas de concreto*. Perú: Universidad Nacional del Altiplano, 2006. 122 p.
- SALAZAR RODRIGUEZ, Aurelio. Guía para el diseño y construcción de pavimentos rígidos. 2a ed. México: Instituto Mexicano del Cemento y del Concreto, 1997. 119 p.

APÉNDICES

Apéndice 1. Datos de diseño

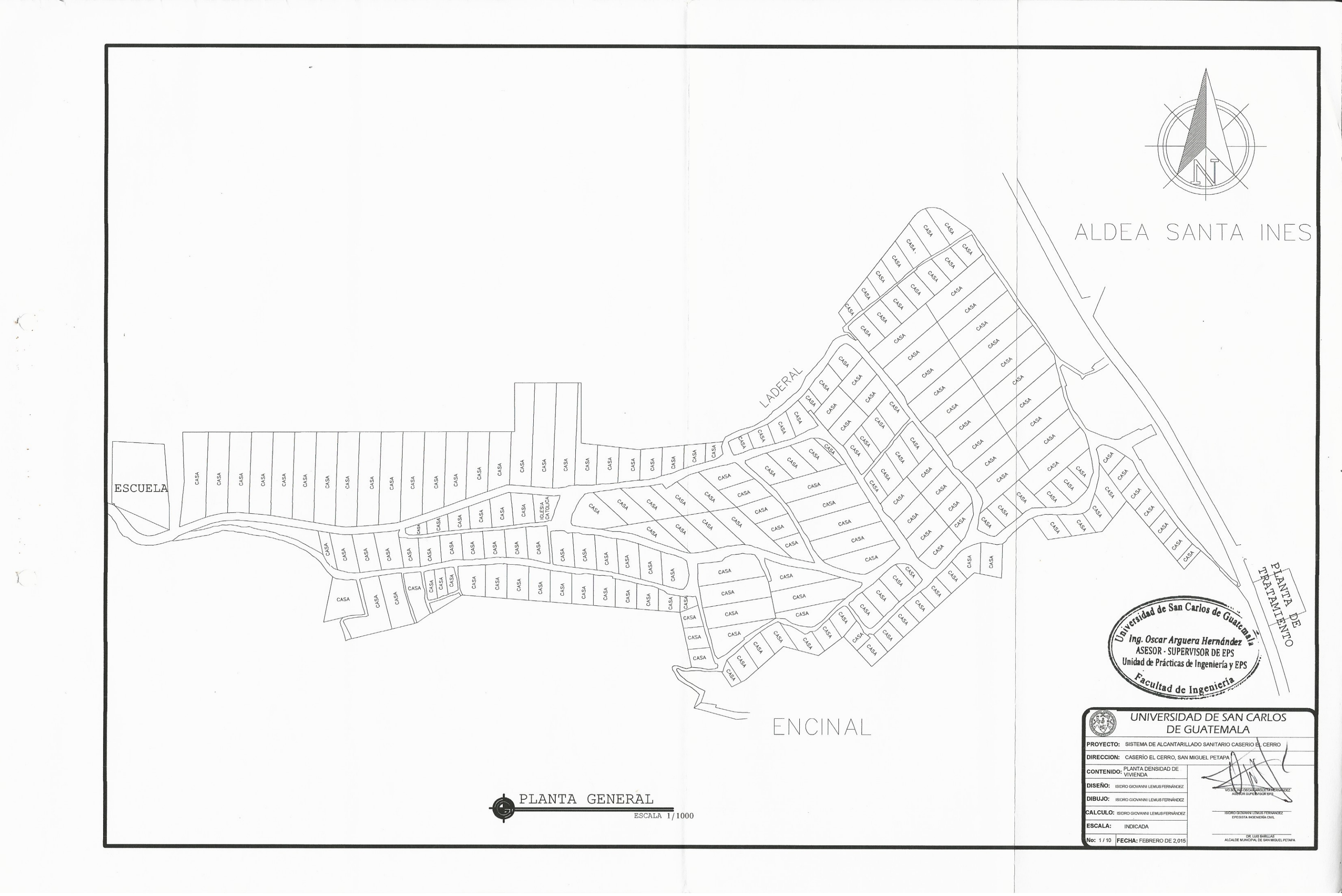
	DE	Α	COTAS DE	TERRENO		a. (a)	No	. CASAS	HABIT	ANTES	Q san	itario	FACTO	OR DE	FACTOR DE	HARMOND	Q dis	eño
TRAMO	PV	PV	INICIO	FINAL	DH(m)	Sterr.(%)	LOCAL	ACUMULADO	ACTUAL	FUTURO	ACTUAL	FUTURO	ACTUAL	FUTURO	ACTUAL	FUTURO	actual	futuro
1	0	1	1102.48	1097.29	35.45	14.64	3	3	15	39	0.0342	0.0697	0.002	0.002	4.4	4.3	0.1506	0.3401
3	2	2	1097.29 1091.09	1091.09 1084.65	39.09 38.43	15.86 16.76	3	5 8	25 40	65 105	0.0500 0.0754	0.1146 0.1818	0.002	0.002	4.4	4.3 4.2	0.2185 0.3467	0.5609 0.8866
4	3	4	1091.05	1079.71	37	13.35	4	12	60	157	0.1087	0.1010	0.002	0.002	4.3	4.2	0.5158	1.3132
5	4	5	1079.71	1071.14	72.12	11.88	8	20	100	262	0.1846	0.4489	0.002	0.002	4.2	4.1	0.8487	2.1460
6	5	6	1071.14	1064.9	42.69	14.62	4	24	120	314	0.2071	0.5388	0.002	0.002	4.2	4.1	1.0131	2.5544
7	6	7	1064.9	1059.9	60.09	8.32	7	31	155	405	0.2705	0.6939	0.002	0.002	4.2	4.0	1.2978	3.2584
8 9	7 8A	8	1059.9	1058.9 1058.9	45.55 55.87	2.20 7.36	3	34	170 15	445 39	0.2877	0.7598 0.0684	0.002	0.002	4.2 4.4	4.0 4.3	1.4188 0.1672	3.5564 0.3401
10	8 8	9	1063.01 1058.9	1058.9	11.99	10.76	1	38	190	497	0.3118	0.8507	0.003	0.002	4.4	4.0	1.5793	3.9506
11	9	10	1057.61	1056.04	33.15	4.74	1	39	195	510	0.3238	0.8720	0.002	0.002	4.2	4.0	1.6193	4.0487
12	10	11	1056.04	1051.02	30.14	16.66	3	42	210	549	0.3498	0.9412	0.002	0.002	4.1	4.0	1.7389	4.3416
13	11	12	1051.02	1042.91	40.28	20.13	2	44	220	575	0.3668	0.9865	0.002	0.002	4.1	3.9	1.8184	4.5359
14	12	13	1042.91	1042.76	26.68	0.56	2	46	230	601	0.3805	1.0275	0.002	0.002	4.1	3.9	1.8976	4.7294
15 16	13 14B	14 14B'	1042.76 1057.5	1043.59 1054.04	41.48 12.32	-2.00 28.08	4	50 2	250 10	654 26	0.4179	1.1164 0.0499	0.002	0.002	4.1 4.4	3.9 4.4	2.0556 0.0915	5.1143 0.2282
17	14B'	14	1054.04	1043.59	28.72	36.39	2	4	20	52	0.0400	0.0961	0.002	0.002	4.4	4.3	0.1752	0.4509
18	14	15	1043.59	1035.75	68.92	11.38	7	61	305	798	0.5156	1.3646	0.002	0.002	4.1	3.9	2.4860	6.1593
19	15	16	1035.75	1034.17	23.93	6.60	1	62	310	811	0.5088	1.3860	0.002	0.002	4.1	3.9	2.5249	6.2533
20	1C	2C	1062.75	1057.81	34.95	14.13	3	3	15	39	0.0342	0.0696	0.002	0.002	4.4	4.3	0.1501	0.3401
21 22	2C 1D	6E 2D	1057.81 1057.76	1043.45 1054.24	56.59 27.57	25.38 12.77	5 2	8 2	40 10	105 26	0.0810	0.1834 0.0470	0.002	0.002	4.3 4.4	4.2 4.4	0.3509 0.1040	0.8866 0.2053
23	2D	3D	1054.24	1051.3	17.09	17.20	3	5	25	65	0.0230	0.1149	0.002	0.002	4.4	4.3	0.2183	0.5609
24	3D	4E	1051.3	1044.47	34.66	19.71	3	8	40	105	0.0747	0.1823	0.002	0.002	4.3	4.2	0.3467	0.8866
25	1E	2E	1051.54	1048.63	20.29	14.34	2	2	10	26	0.0222	0.0473	0.002	0.002	4.4	4.4	0.0981	0.2065
26	2E	3E	1048.63	1045.64	37.18	8.04	3	5	25	65	0.0508	0.1132	0.002	0.002	4.4	4.3	0.2218	0.5609
27 28	3E 4E	4E 5E	1045.64 1044.47	1044.47 1043.41	47.39 31.38	2.47 3.38	3	16 17	80	209	0.1420 0.1449	0.3578 0.3803	0.002	0.002	4.3 4.3	4.1 4.1	0.6830 0.7246	1.7326 1.8364
29	5E	6E	1044.47	1043.41	29.88	-0.13	3	28	85 140	366	0.1449	0.6254	0.002	0.002	4.3	4.1	1.1762	2.9582
30	6E	16F	1043.45	1038.88	22.58	20.24	2	30	150	392	0.2499	0.6738	0.002	0.002	4.2	4.0	1.2573	3.1586
31	1F	2F	1076.54	1072.56	20.95	19.00	2	2	10	26	0.0223	0.0482	0.002	0.002	4.4	4.4	0.0986	0.2282
32	2F	3F	1072.56	1059.82	82.12	15.51	10	12	60	157	0.1237	0.2709	0.002	0.002	4.3	4.2	0.5317	1.3132
33	3F	4F	1059.82	1053.69	34.14	17.96	4	16	80	209	0.1406	0.3607	0.002	0.002	4.3	4.1	0.6830	1.7326
34 35	4F 5F	5F 6F	1053.69 1049.66	1049.66 1045.34	38.48 58.06	10.47 7.44	5	21 26	105 130	275 340	0.1831 0.2273	0.4710 0.5821	0.002	0.002	4.2 4.2	4.1 4.1	0.8899 1.0948	2.2486 2.7569
36	6F	7F	1045.34	1043.85	44.09	3.38	6	32	160	418	0.2746	0.7154	0.002	0.002	4.2	4.0	1.3382	3.3580
37	7F	8F	1043.85	1043.43	2.8	15.00	5	37	185	484	0.3064	0.8292	0.002	0.002	4.2	4.0	1.5393	3.8524
38	8F	9F	1043.43	1042.93	25.39	1.97	3	40	200	523	0.3327	0.8938	0.002	0.002	4.1	4.0	1.6592	4.1465
39	9F	10F	1042.93	1042.16	21.79	3.53	2	42	210	549	0.3471	0.9388	0.002	0.002	4.1	4.0	1.7389	4.3416
40 41	10F 11F	11F 12F	1042.16 1041.73	1041.73 1041.43	14.68 10.45	2.93	0	43 43	215 215	562 562	0.3528	0.9610 0.9610	0.002	0.002	4.1 4.1	3.9 3.9	1.7787 1.7787	4.4388 4.4388
42	12F	13F	1041.73	1040.62	26.33	3.08	2	45	225	588	0.3723	1.0057	0.002	0.002	4.1	3.9	1.8580	4.4388
43	13F	14F	1040.62	1039.92	19.84	3.53	1	46	230	601	0.3781	1.0281	0.002	0.002	4.1	3.9	1.8976	4.7294
44	14F	15F	1039.92	1039.62	7.04	4.26	0	46	230	601	0.3747	1.0282	0.002	0.002	4.1	3.9	1.8976	4.7294
45	15F	16F	1039.62	1038.88	50.5	1.47	6	82	410	1072	0.6816	1.8318	0.002	0.002	4.0	3.8	3.2940	8.1062
46 47	16F 16	16 17	1038.88 1034.17	1034.17 1030.32	38.35 18.13	12.28 21.24	3	147 149	735 745	1922 1948	1.2035 1.2149	3.2856 3.3319	0.002	0.002	3.9	3.6 3.6	5.7069 5.7794	13.8355 14.0061
47	17	18	1034.17	1030.32	29.28	21.24	2	149	755	1948	1.2149	3.3319	0.002	0.002	3.9	3.6	5.7794	14.0061
49	18	19	1024.12	1017.8	29.51	21.42	3	154	770	2014	1.2587	3.4437	0.002	0.002	3.9	3.6	5.9603	14.4313
50	19	20	1017.8	1013.55	21.83	19.47	3	157	785	2053	1.2816	3.5103	0.002	0.002	3.9	3.6	6.0686	14.6856
51	20	21	1013.55	1009.42	24.96	16.55	2	159	795	2079	1.2973	3.5544	0.002	0.002	3.9	3.6	6.1406	14.8548
52	1G	2G	1035.93	1030.97	13.52	36.69	2	2	10	26	0.0210	0.0515	0.002	0.002	4.4	4.4	0.0925	0.2282
53 54	2G 3G	3G 4G	1030.97 1023.11	1023.11 1017.23	19.87 14.76	39.56 39.84	2	5 7	25 35	65 92	0.0476 0.0618	0.1190 0.1637	0.002	0.002	4.4	4.3	0.2183 0.3041	0.5609 0.7787
55	4G	5G	1023.11	1017.23	14.76	25.57	2	9	45	118	0.0018	0.1037	0.002	0.002	4.3	4.3	0.3041	0.7787
56	5G	6G	1013.41	1013.17	14.85	1.62	2	11	55	144	0.0943	0.2460	0.002	0.002	4.3	4.2	0.4737	1.2073
57	6G	7G	1013.17	1012.94	15.45	1.49	1	12	60	157	0.1014	0.2683	0.002	0.002	4.3	4.2	0.5158	1.3132
58	7G	8G	1012.94	1011.75	72.46	1.64	4	16	80	209	0.1477	0.3577	0.002	0.002		4.1	0.6830	1.7326
59 60	8G	9G 10G	1011.75	1011.33 1010.87	24.88	1.69	2	18	90	235	0.1529 0.1602	0.4024 0.4247	0.002	0.002		4.1 4.1	0.7660 0.8074	1.9400 2.0432
60 61	9G 10G	10G 11G	1011.33 1010.87	1010.87	26.32 19.61	1.75 1.99	2	19 21	95 105	248 275	0.1602	0.4247	0.002	0.002	4.2	4.1	0.8074	2.0432
62	11G	21	1010.48	1010.48	14.88	7.12	1	181	905	2367	1.4729	4.0441	0.002	0.002		3.5	6.9278	16.6979
63	21	22	1009.42	1004.17	20.81	25.23	0	181	905	2367	1.4729	4.0474	0.002	0.002	3.8	3.5	6.9278	16.6979
64	22	23	1004.17	1000.29	64.78	5.99	3	184	920	2406	1.5087	4.1109	0.002	0.002	3.8	3.5	7.0344	16.9469
65	23	24	1000.29	999.78	40.07	1.27	2	186	930	2432	1.5193	4.1547	0.002	0.002	3.8	3.5	7.1054	17.1125
66 67	24 25	25 PLANTA	999.78 999.05	999.05 998.5	14.52 14.5	5.03 3.79	0	186 186	930 930	2432 2432	1.5123 1.5123	4.1554 4.1551	0.002	0.002	3.8 3.8	3.5 3.5	7.1054 7.1054	17.1125 17.1125
- 0/	£J.	- KANTA	223.03	220.2	14.3	5.13	J	100	230	2+32	1.3123	4.1331	0.002	0.002	3.0	3.3	7.1034	17.1123

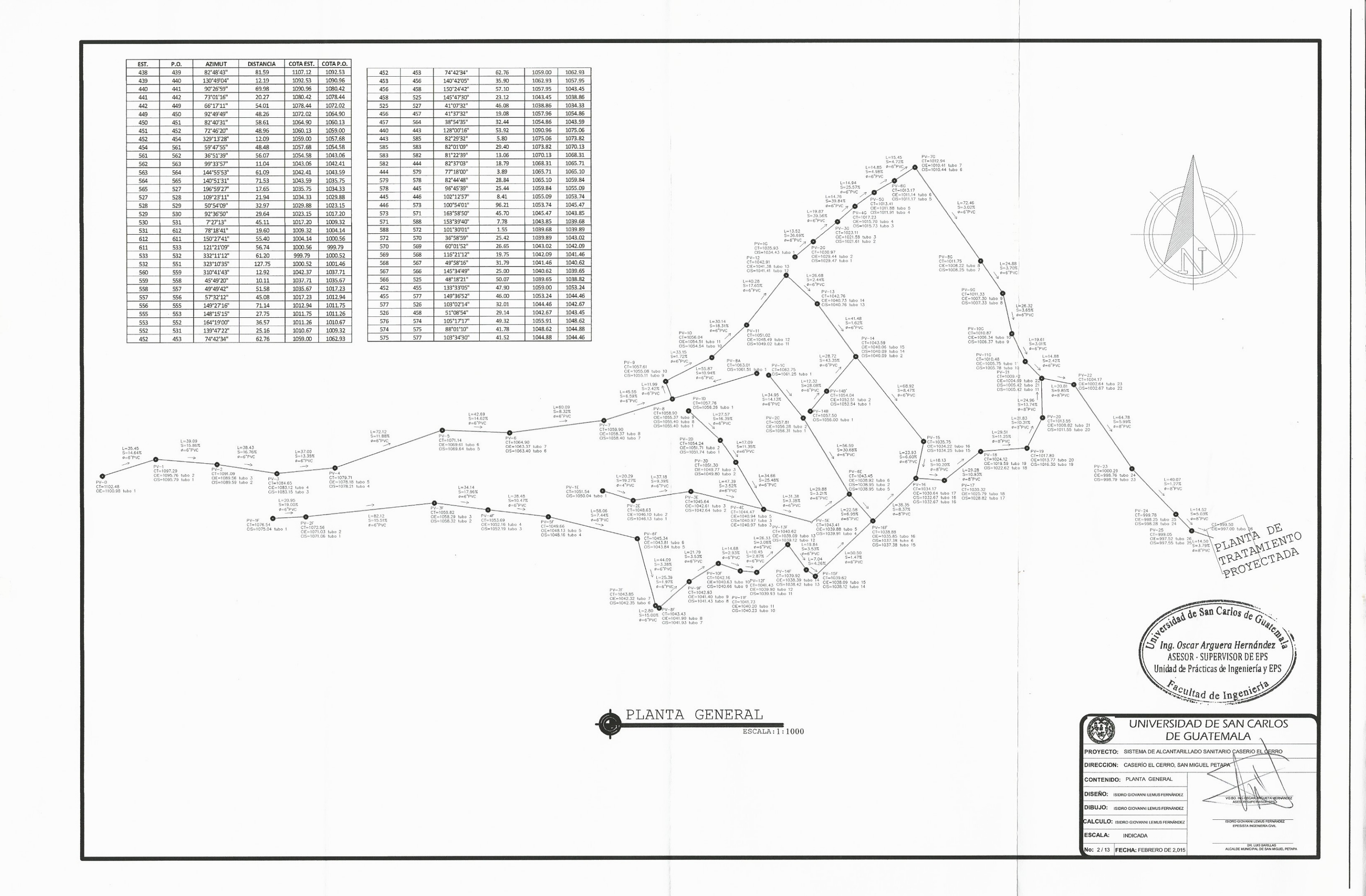
Fuente: elaboración propia.

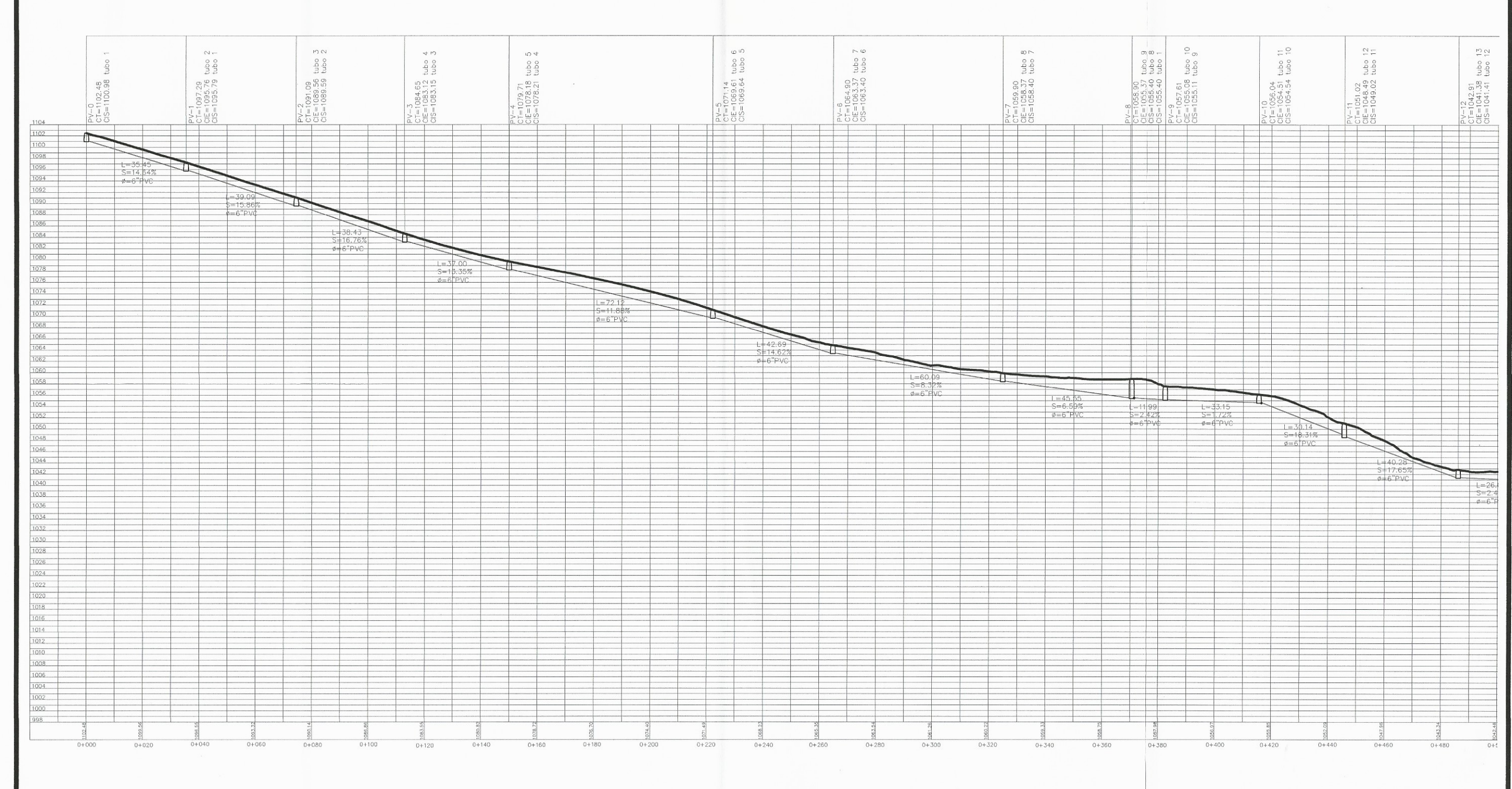
Apéndice 2. Resultados de diseño en AutoCAD civil 3d 2014

	SECCION LLENA			q/	'Q	velocidad	de diseño	cotas	invert	Altura de pozo		
diametro	pendiente %		caudal	actual	futuro	actual	futuro	entrada	salida	Inicial	final	
6	14.64	4.33222041	79.024899	0.00190511	0.00430341	0.8391102	1.07626976		1095.79	1.50	1.50	
6	15.86	4.50918439	82.2529343	0.00265683	0.00681908	0.96693805	1.28888899	1095.76	1089.59	1.47	1.50	
6	16.76	4.63492517	84.546597	0.0041003	0.010487	1.13459339	1.50982822	1089.56	1083.15	1.47	1.50	
6	13.35	4.13711504	75.4659429	0.0068344	0.01740068	1.18335623	1.57086953	1083.12	1078.21	1.47	1.50	
6	11.88	3.90299089	71.1952374	0.01192095	0.03014306	1.32175864	1.74853633	1078.18	1069.64	1.47	1.50	
6	14.62		78.9619033	0.01282963	0.03234984	1.4989229	1.98080946	1069.61	1063.4	1.47	1.50	
6	8.32		59.5761303	0.02178352	0.0546929	1.32704765	1.74806518	1063.37	1058.4	1.47	1.50	
6	6.59		53.003534	0.02676802	0.06709755	1.25615165	1.65232662	1058.37	1055.4	1.47	3.50	
6	10.94	3.74426221	68.2998358	0.00244765	0.00497917	0.78301296	0.97254639	1061.51	1055.4	1.50	3.50	
6	2.42	1.76085824 1.48467244	32.1201672	0.04916875	0.12299587	0.91309459	1.1959143	1055.37	1055.11	3.47 2.47	2.50	
6	1.72 18.31	4.84543643	27.0822069 88.386575	0.05979166 0.01967381	0.14949596 0.04912026	0.81593633 1.90926253	1.06680497 2.5118662	1055.08 1054.51	1054.54 1049.02	1.47	1.50 2.50	
6	17.65	4.75691132	86.7717707	0.01907381	0.05227347	1.91039566	2.51202987	1034.31	1043.02	2.47	1.50	
6	2.44	1.7672531	32.2368172	0.05886542	0.14670814	0.96674758	1.26299455	1041.38	1040.76	1.47	2.00	
6	1.62	1.43897422	26.2486165	0.07831101	0.19484215	0.85644611	1.11523718	1040.73	1040.09	1.97	3.50	
6		6.000227	109.451341	0.00083638	0.00208532	0.90337402	1.19491767	1056	1052.54	1.50	1.50	
6	43.35	7.45465318	135.98182	0.00128874	0.00331594	1.28129341	1.71051401	1052.51	1040.09	1.47	3.50	
6	8.47	3.29586014	60.120444	0.04135013	0.10244876	1.62307892	2.12245074	1040.06	1034.25	3.47	1.50	
6	6.60	2.9093246	53.0695719	0.04757633	0.11783278	1.49391526	1.95146512	1034.22	1032.67	1.47	1.50	
6	14.13	4.2567179	77.6476426	0.00193366	0.00437974	0.82826217	1.06324977	1061.25	1056.31	1.50	1.50	
6	30.68		114.391408	0.00306711	0.00775093	1.40495459	1.87794831	1056.28	1038.95	1.47	4.50	
6	16.39	4.584435	83.6255958	0.00124377	0.00245455	0.77934996	0.9595432		1051.74	1.50	2.50	
6	11.35		69.5854154	0.00313781	0.00806044	0.86067601	1.1487165	1051.71	1049.8	2.47	1.50	
6	25.48		104.244815	0.00332551	0.00850536	1.31243023	1.74690335	1049.77	1040.97	1.47	3.50	
6	19.27	4.970297	90.6641816	0.00108156	0.00227803	0.80974975	1.01685934	1050.04	1046.13	1.50	2.50	
6	9.39		63.2770773	0.00350584	0.00886402	0.80958065	1.07377671	1046.1	1042.64	2.47	3.00	
6			38.7706669	0.01761685	0.04468739	0.8100518 0.81252418	1.07122242	1042.61	1040.97	2.97	3.50 3.50	
6	3.38 3.21	2.08094906 2.02945911	37.9590079 37.0197695	0.01908845 0.03177143	0.0483798 0.07990944	0.92365961	1.07389472 1.21509507	1040.94 1039.88	1039.91 1038.95	3.47 3.47	4.50	
6	6.95		54.4598258	0.02308691	0.0579984	1.23450115	1.62601849		1037.38	4.47	1.50	
6	19.00	4.9349699	90.0197729	0.0010953	0.00253545	0.80707761	1.04329937	1075.04	1071.06	1.50	1.50	
6	15.51		81.3483286	0.00653645	0.01614242	1.2583709	1.65534742	1071.03	1058.32	1.47	1.50	
6	17.96		87.515881	0.00780449	0.01979709	1.43811671	1.8940115	1058.29	1052.19	1.47	1.50	
6	10.47		66.8379901	0.01331459	0.03364235	1.28310998	1.69757711	1052.16	1048.16	1.47	1.50	
6	7.44	3.08843413	56.3367446	0.01943236	0.04893527	1.21241541	1.59924181	1048.13	1043.84	1.47	1.50	
6	3.38	2.08141208	37.967454	0.0352455	0.08844316	0.97721546	1.28392197	1043.81	1042.35	1.47	1.50	
6	15.00	4.38511124	79.9896912	0.01924335	0.04816131	1.71638196	2.25992957	1042.32	1041.93	1.47	1.50	
6	1.97	1.588871	28.9829136	0.05724806	0.14306738	0.86201199	1.12732073	1041.9	1041.43	1.47	1.50	
6	3.53	2.12839256	38.8244344	0.04478883	0.11182575	1.07343082	1.40608468		1040.66	1.47	1.50	
6	2.93	1.93778766	35.3475722	0.05031923	0.12557613	1.01178023	1.32402611	1040.63	1040.23	1.47	1.50	
6	2.87	1.9183925	34.9937812	0.05082797	0.12684572	1.00465406	1.31459816		1039.93	1.47	1.50	
6	3.08	1.98587572	36.2247561	0.05129167	0.12788835	1.03490497	1.36407297	1039.9	1039.12	1.47	1.50	
6	3.53 4.26	2.12673399 2.33727214	38.79418 42.6346486	0.04891542 0.04450919	0.12191013 0.11092864	1.10112492 1.17657693	1.44069314 1.54046059	1039.09 1038.39	1038.42 1038.12	1.47 1.47	1.50 1.50	
6	1.47		25.001068	0.13175323	0.32423381	0.94958429	1.22367128	1038.39	1038.12	1.47	3.00	
8	8.37	3.96823432	128.685077	0.13173323	0.32423381	1.99543603	2.59168157	1035.85	1037.38	2.97	3.50	
8	10.20		142.084046	0.04067603	0.09857626	2.14710416	2.78992787	1030.64	1028.82	3.47	4.50	
8	10.93		147.044169	0.03979645	0.09640925	2.20759962	2.86860766		1022.62	4.47	4.50	
8	11.25	4.60057286	149.191057	0.03995079	0.09673055	2.24241684	2.91332951	1019.59	1016.3	4.47	4.00	
8	10.31	4.40343781	142.798204	0.04249749	0.10284169	2.18623576	2.83887157	1013.77	1011.55	3.97	4.70	
8	13.74	5.08454676	164.88575	0.03724174	0.09009132	2.42686292	3.15343972	1088.82	1005.42	4.67	4.00	
6	36.69	6.85784204	125.095268	0.00073963	0.00182454		1.31091868		1029.47	1.50	1.50	
6		7.12110394		0.00168091			1.77094962	1029.44	1021.61	1.47	1.50	
6	39.84		130.356855	0.00233247	0.00597351		1.96194492		1015.73	1.47	1.50	
6			104.434688	0.00372612	0.00951817	1.36122994			1011.91	1.47	1.50	
6			46.1042566	0.01027405	0.02618536	0.8182142	1.08544274		1011.17	1.47	2.00	
6			44.8937185 35.9055251	0.01148857	0.02925039	0.824183	1.09267681	1011.14	1010.44	1.97	2.50	
6			39.7152331	0.01902262 0.01928848	0.0482533 0.04884736	0.76776586	1.01500685 1.12680171	1010.41 1008.22	1008.25 1007.33	2.47 3.47	3.50 4.00	
6			39.4440104	0.01928848	0.04884730	0.86230691	1.13881078		1007.33	3.47	4.50	
6	3.01		35.8241256	0.02484136	0.06276739		1.09495488		1005.78	4.47	4.70	
6			32.124633	0.21565484	0.51978612	1.40458718	1.77817564	1005.75	1005.42	4.67	4.70	
8			139.604445	0.04962473	0.11960893	2.23847609			1002.67	4.67	1.50	
8	5.99		108.856344	0.06462114	0.15568114	1.88771912	2.44025936		998.79	1.47	1.50	
8	1.27	1.54740107	50.1803599	0.14159691	0.34102057	1.09463302	1.40050036	998.76	998.28	1.47	1.50	
8	5.03	3.07542824	99.7324474	0.07124445	0.17158443	1.78009619	2.29886216	998.25	997.55	1.47	1.50	
8	3.79	2.67131326	86.6274835	0.08202228	0.19754164	1.61171816	2.07841218	997.52	997	1.47	1.50	

Fuente: elaboración propia.



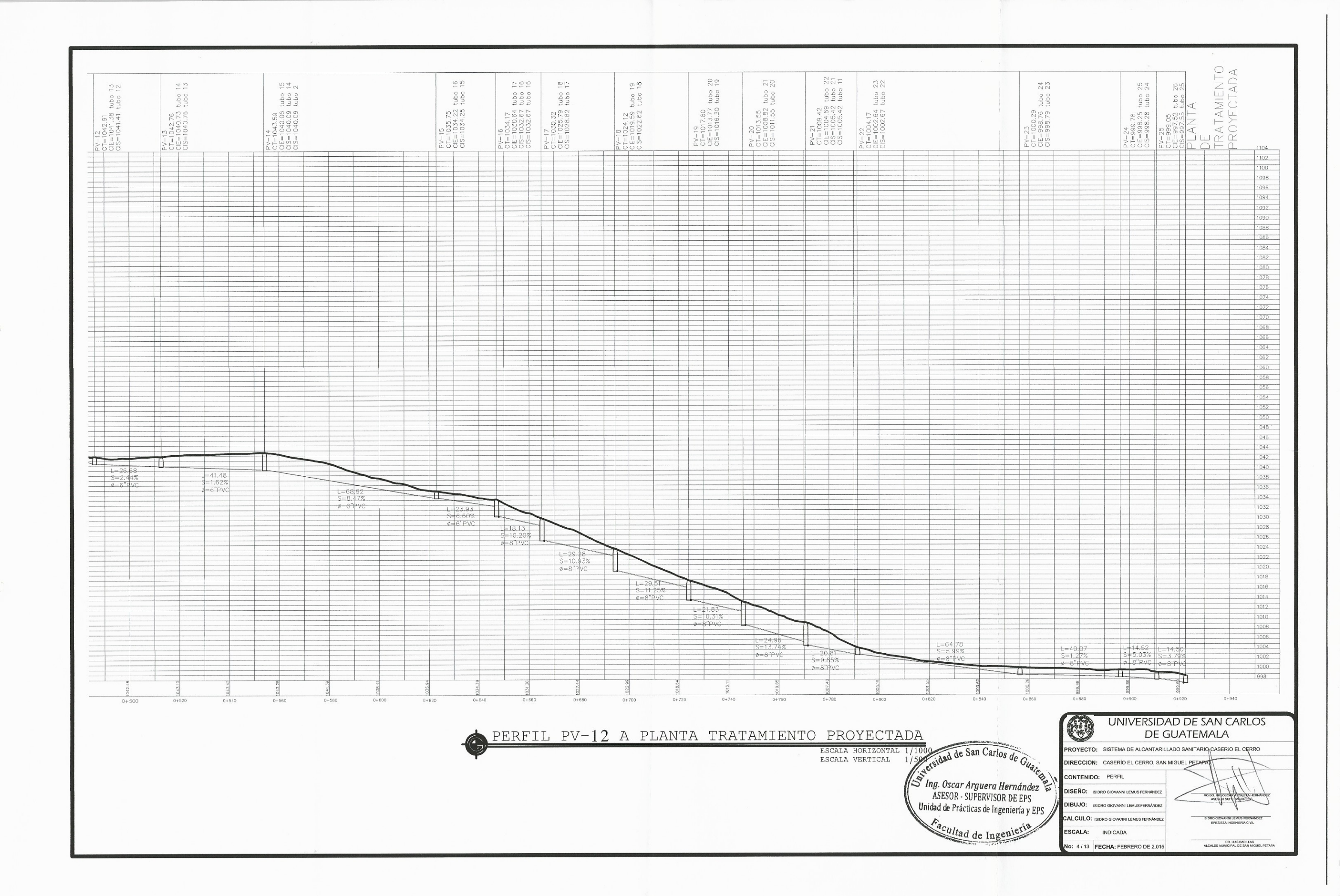


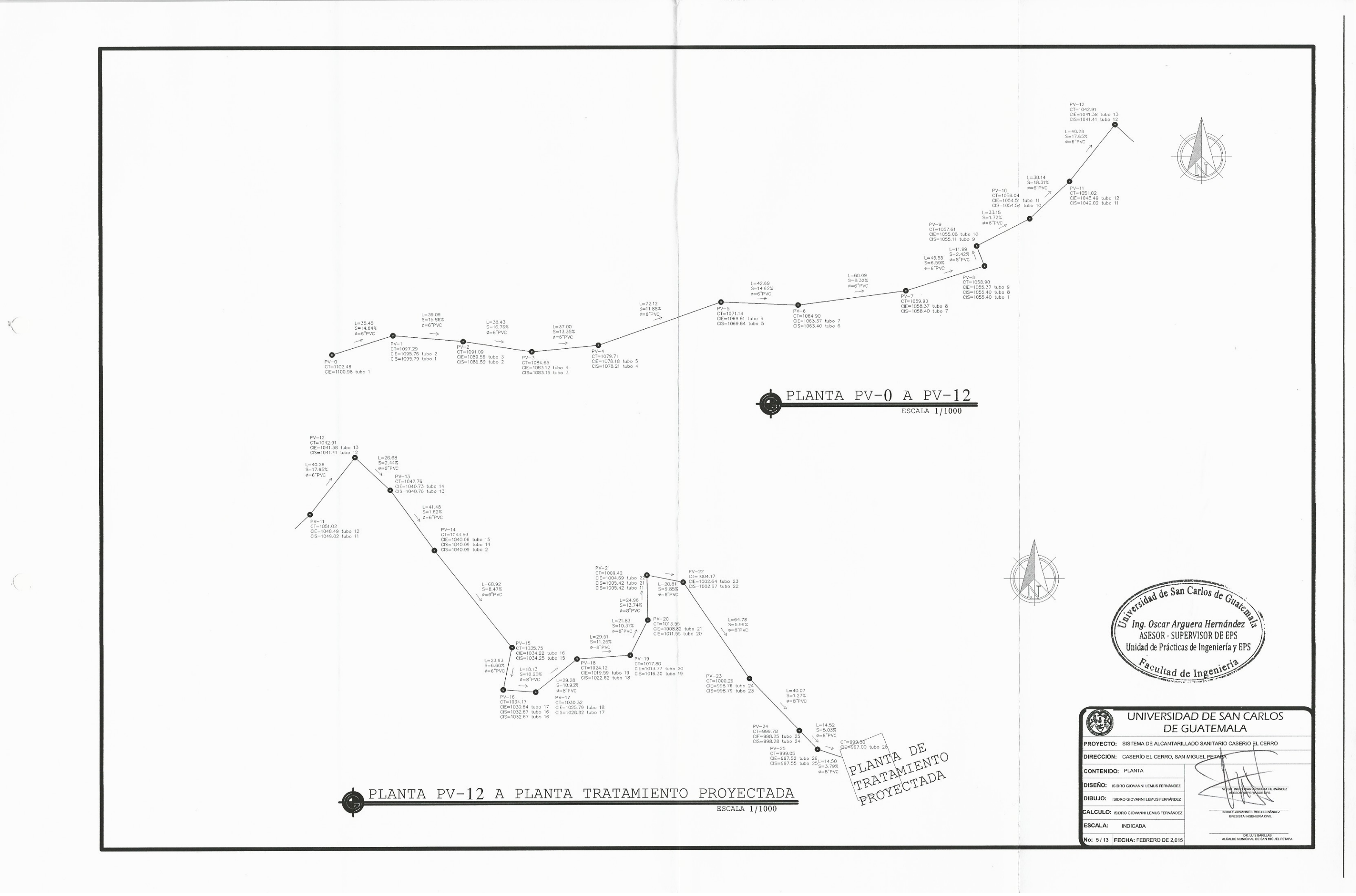


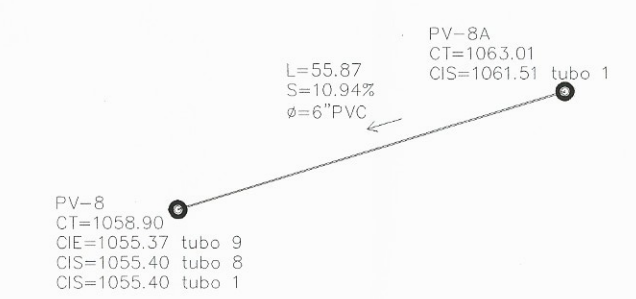








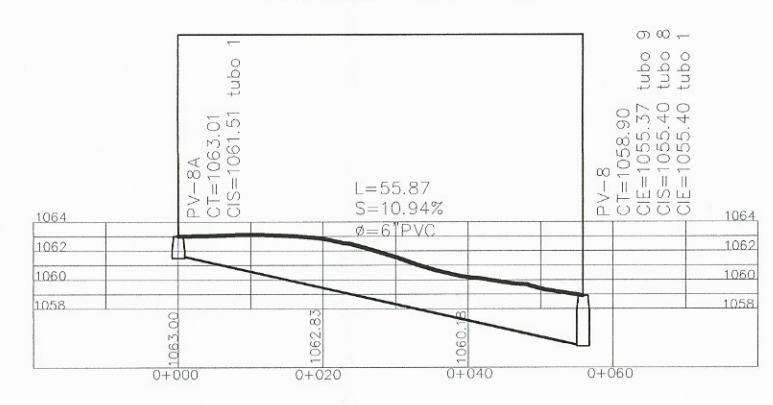




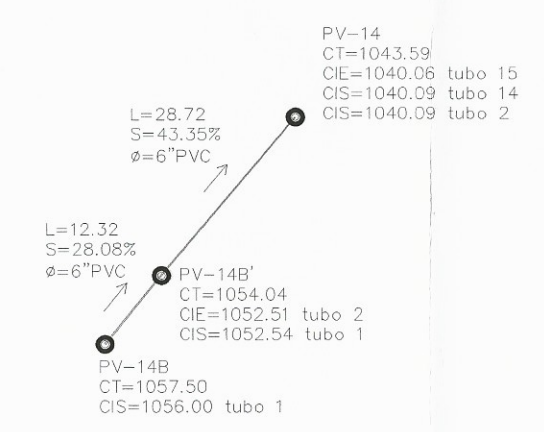


PLANTA PV 8A A PV 8

TRAMO 8A - 8



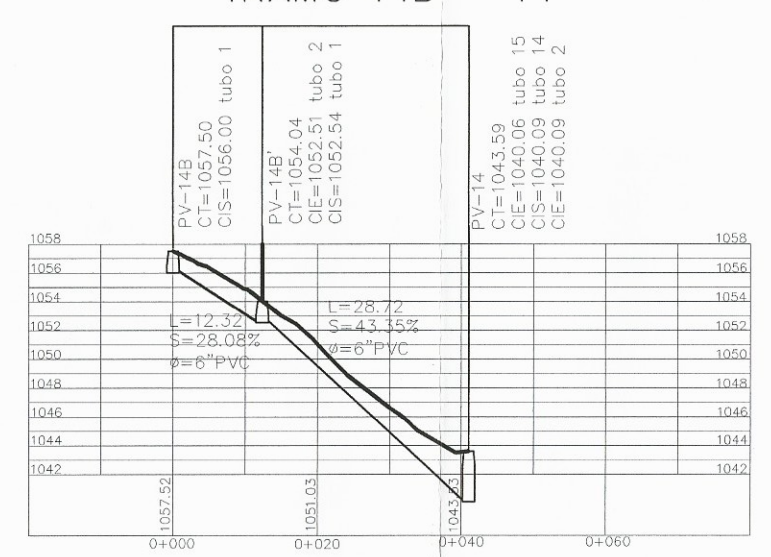






PLANTA PV 14B A PV 14 ESCALA 1/1000

TRAMO 14B - 14

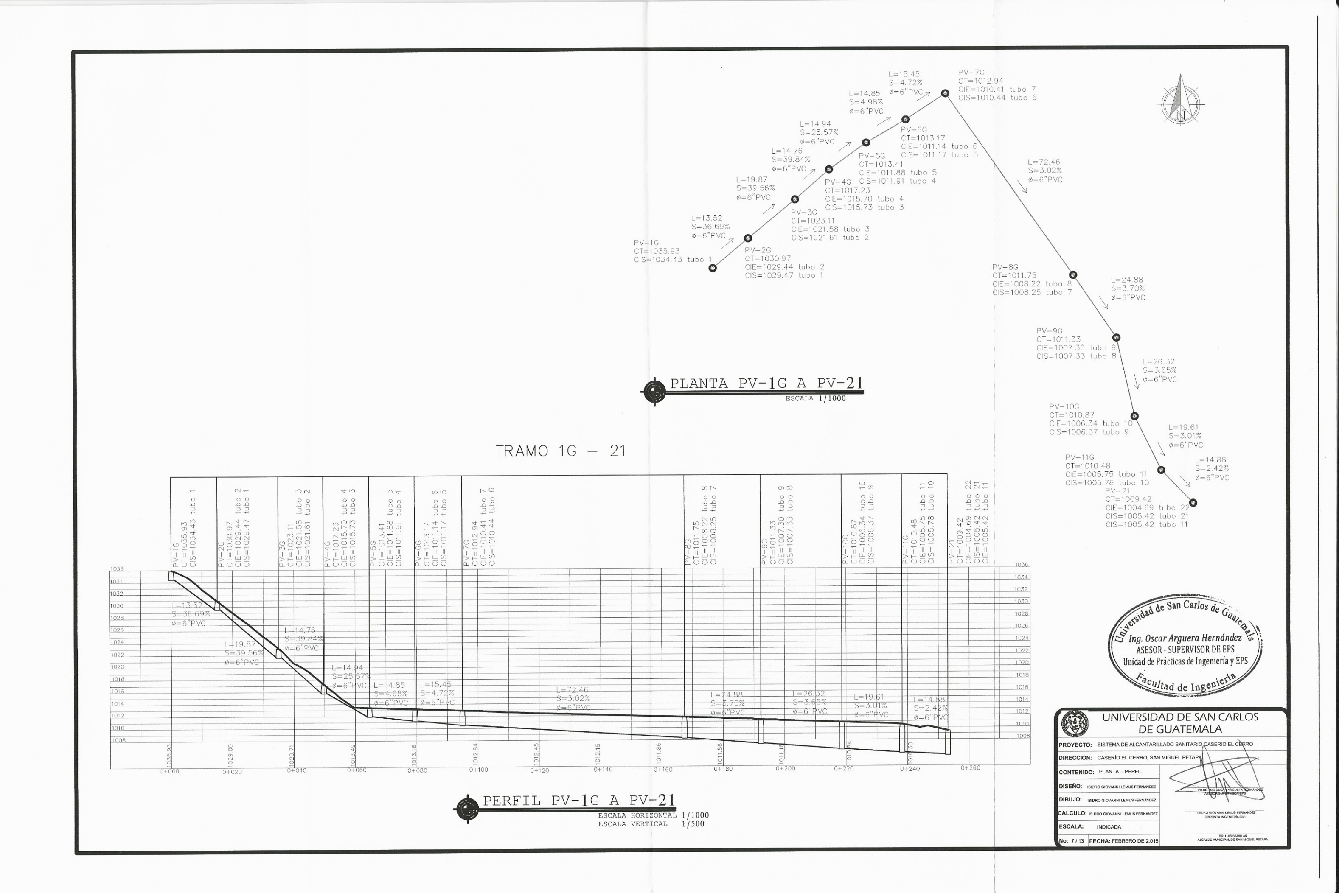


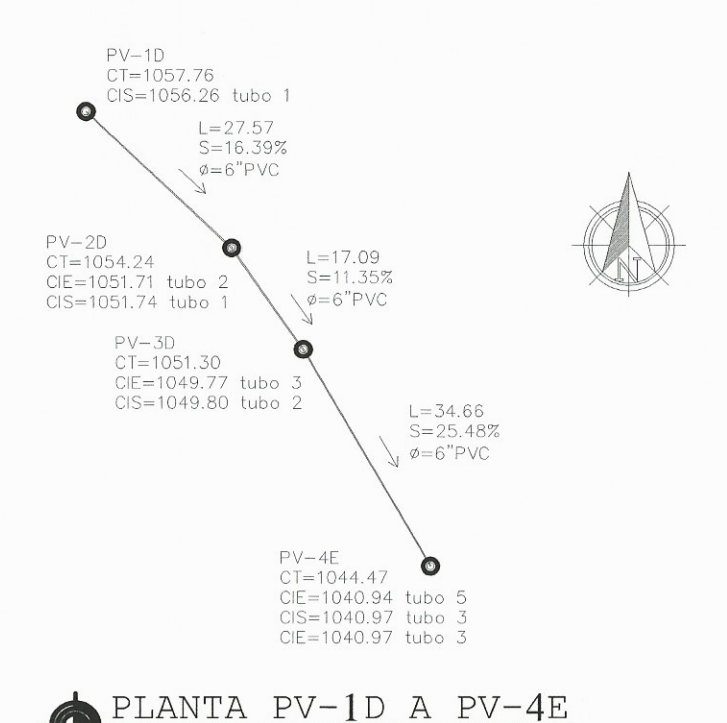
PERIL PV 14B A PV 14

SCALA HORIZONTAL 1/1000
ESCALA VERTICAL 1/500









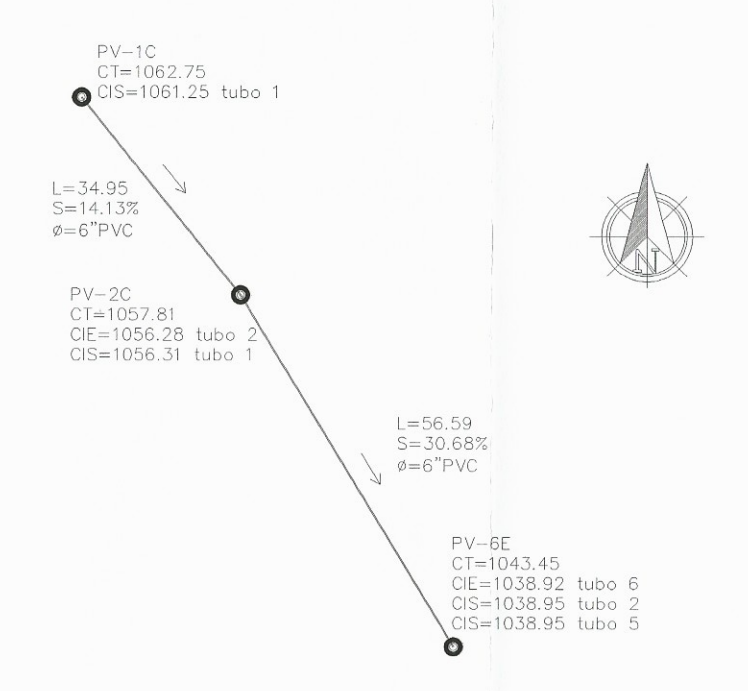
ESCALA 1/1000

TRAMO 1D - 4E 10 m m tubo tubo tubo tubo tubo 044.47 1040.94 1040.97 1040.97 .24 .71 .74 S=25.48% L=17.09 S=11.35% 1046 Ø=6"PVC 1044

PERFIL PV-1D A PV-4E

ESCALA HORIZONTAL 1/1000

ESCALA VERTICAL 1/500



PLANTA PV-1C A PV-6E

TRAMO 1C - 6E



sidad de San Carlos de G ් Ing. Oscar Arguera Hernánd ASESOR - SUPERVISOR DE EPS Unidad de Prácticas de Ingeniería y Facultad de Ingenier

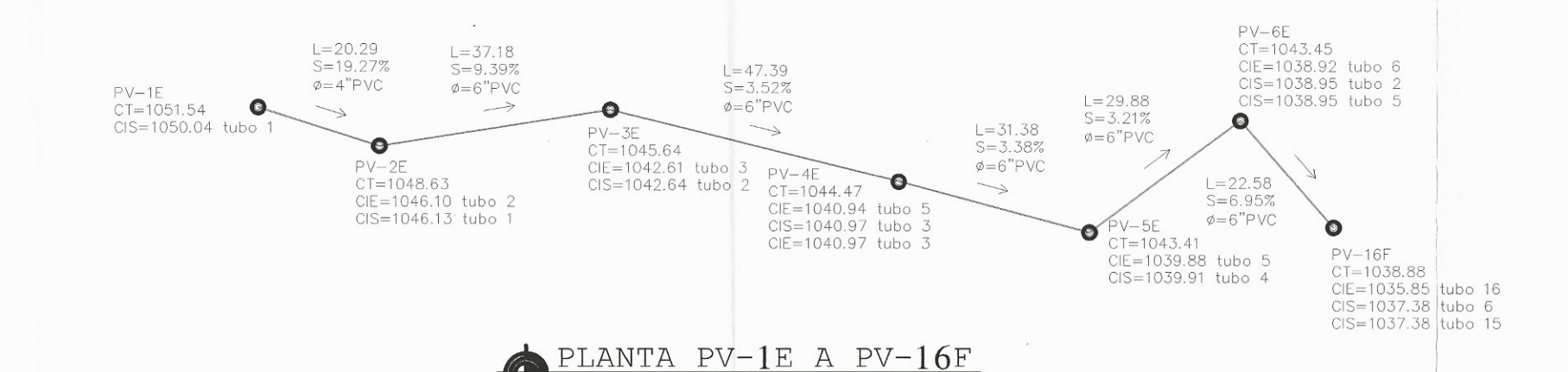
PERFIL PV-1C A PV-6E

ESCALA HORIZONTAL 1/1000 ESCALA VERTICAL 1/500

UNIVERSIDAD DE SAN CARLOS DE GUATEMALA PROYECTO: SISTEMA DE ALCANTARILLADO SANITARIO CASERIO EL CERRO DIRECCION: CASERIO EL CERRO, SAN MIGUEL PETAPA CONTENIDO: PLANTA - PERFIL IBUJO: ISIDRO GIOVANNI LEMUS FERNÁNI ALCULO: ISIDRO GIOVANNI LEMUS FERNÁND ESCALA: INDICADA DR. LUIS BARILLAS ALCALDE MUNICIPAL DE SAN MIGUEL PETAPA

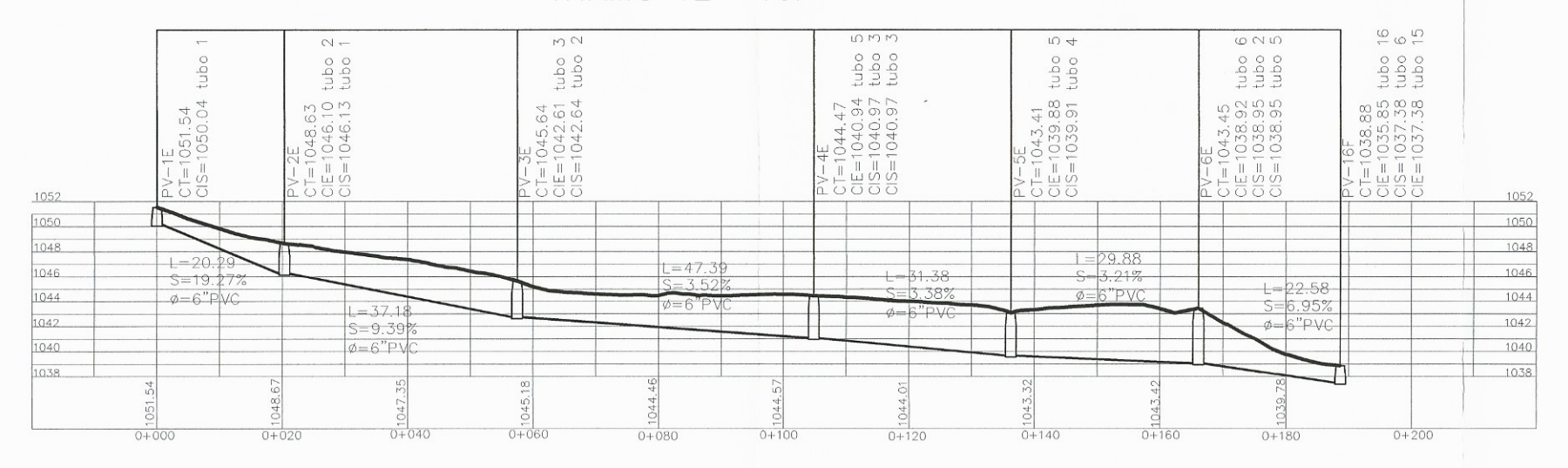
No: 8/13 FECHA: FEBRERO DE 2,015





ESCALA 1/1000

TRAMO 1E -16F



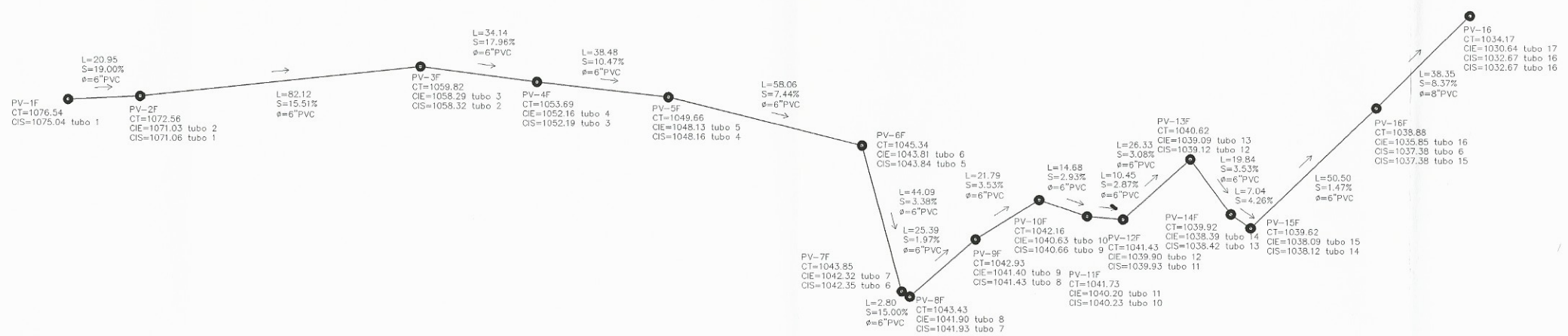


ESCALA HORIZONTAL 1/1000 ESCALA VERTICAL 1/500

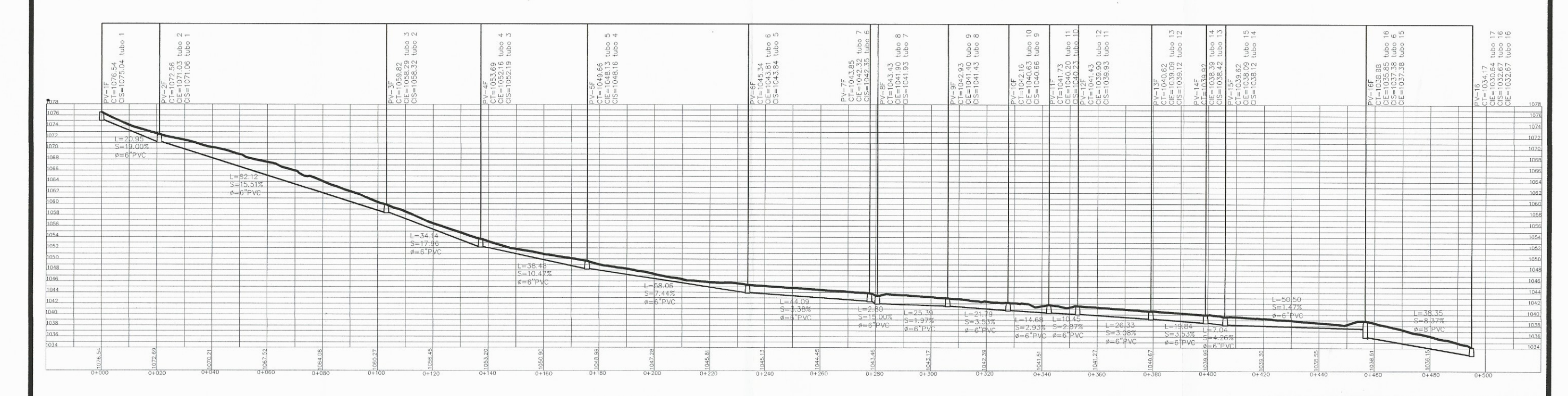








PLANTA PV-1F A PV-16 ESCALA 1/1000



PERFIL PV-1F A PV-16

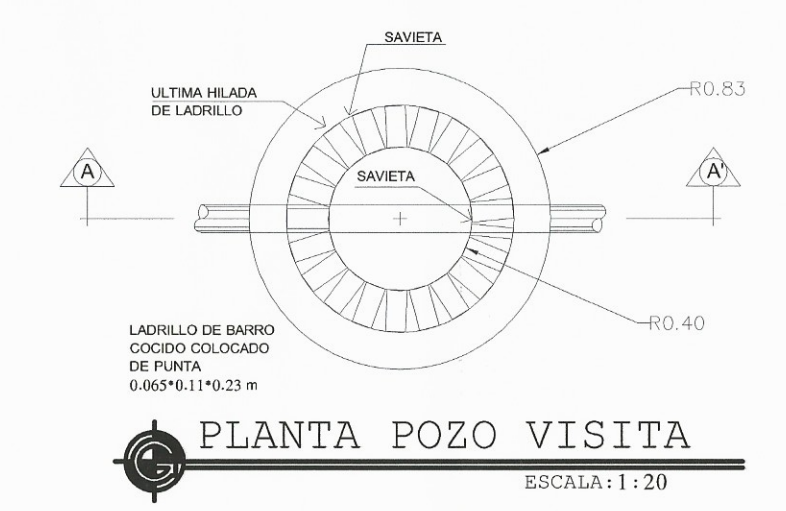
ESCALA HORIZONTAL 1/1000 ESCALA VERTICAL 1/500

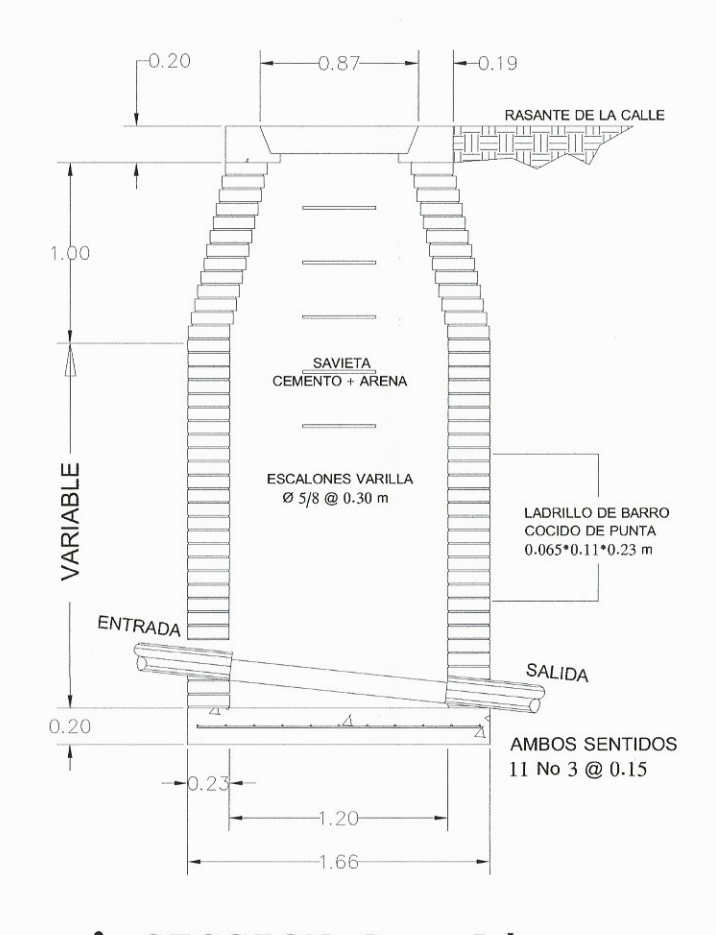
O Street de San Carlos de Guicente Si Ing. Oscar Arguera Hernández San Carlos de Supervisor de EPS Unidad de Prácticas de Ingeniería y EPS Sacultad de Ingeniería



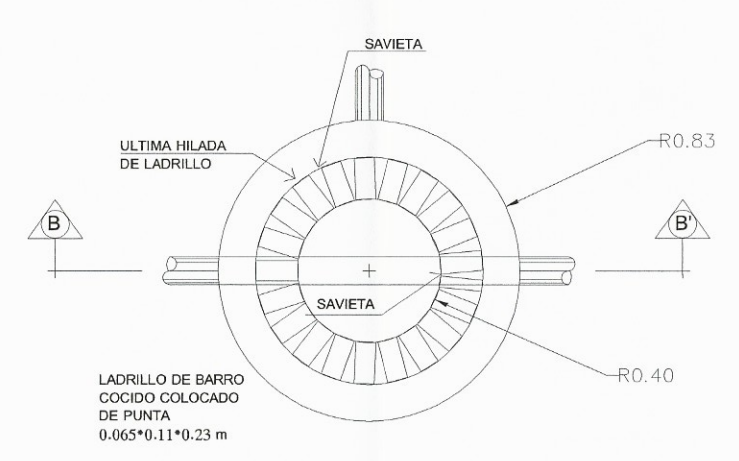
lo: 10 / 13 FECHA: FEBRERO DE 2,015

DR. LUIS BARILLAS ALCALDE MUNICIPAL DE SAN MIGUEL PETAP/

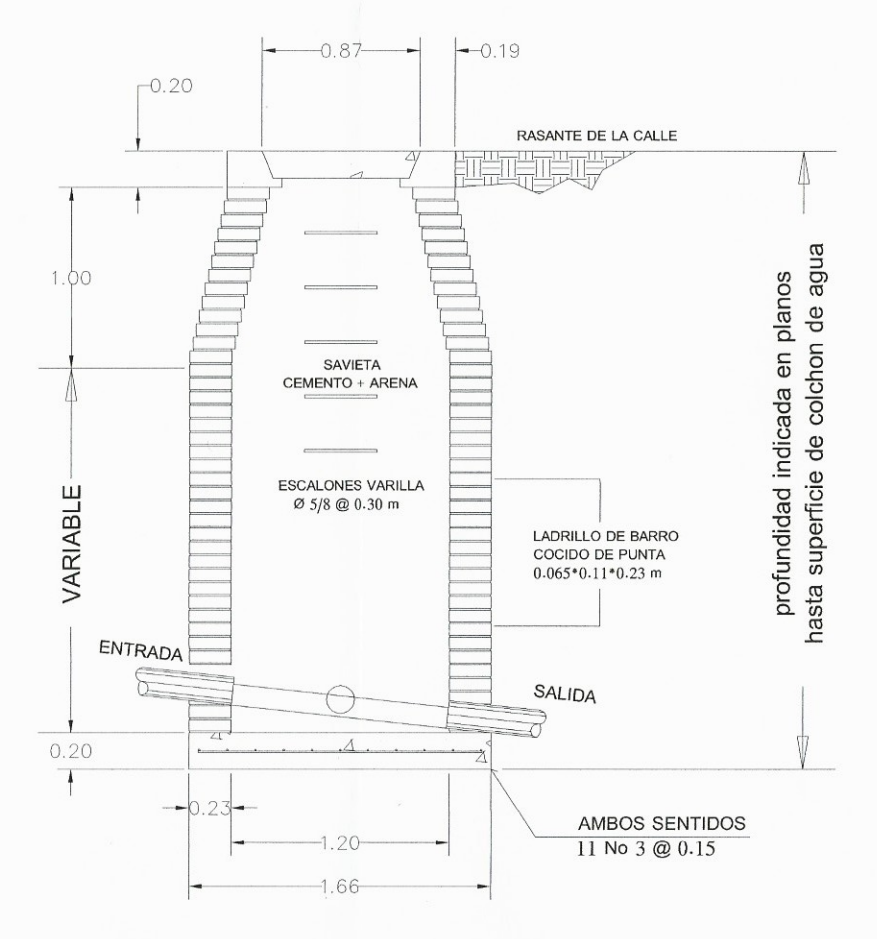














NOTA:

- TODAS LAS LONGITUDES ESTAN DADAS EN METROS
- TODOS LOS DIAMETROS DE TUBERIAS ESTAN DADAS EN MILIMETROS
- PARA PROFUNDIDADES MAYORES DE 5.00 METROS CONSULTAR CON EL FABRICANTE CARACTERISTICAS DE INSTALACION DE LA TUBERIA

ESPECIFICACIONES TECNICAS DE LOS MATERIALES:

PROPORCION DE SAVIETA: LEVANTADO DE LADRILLO: 1:3 CERNIDO: 1:2

f'c= 4,000 PSI (281 KG/M2) fy= GRADO 40 (40,000 PSI, 2812 KG/CM2) TUBERIA PVC CORRUGADO NORMA ASTM D 2487

ESPECIFICACIONES TECNICAS DE DISEÑO:

POBLACION ACTUAL:
POBLACION FUTURA:
TASA DE CRECIMIENTO:
DOTACION:

894 HABITANTES 2082 HABITANTES 3.92 %

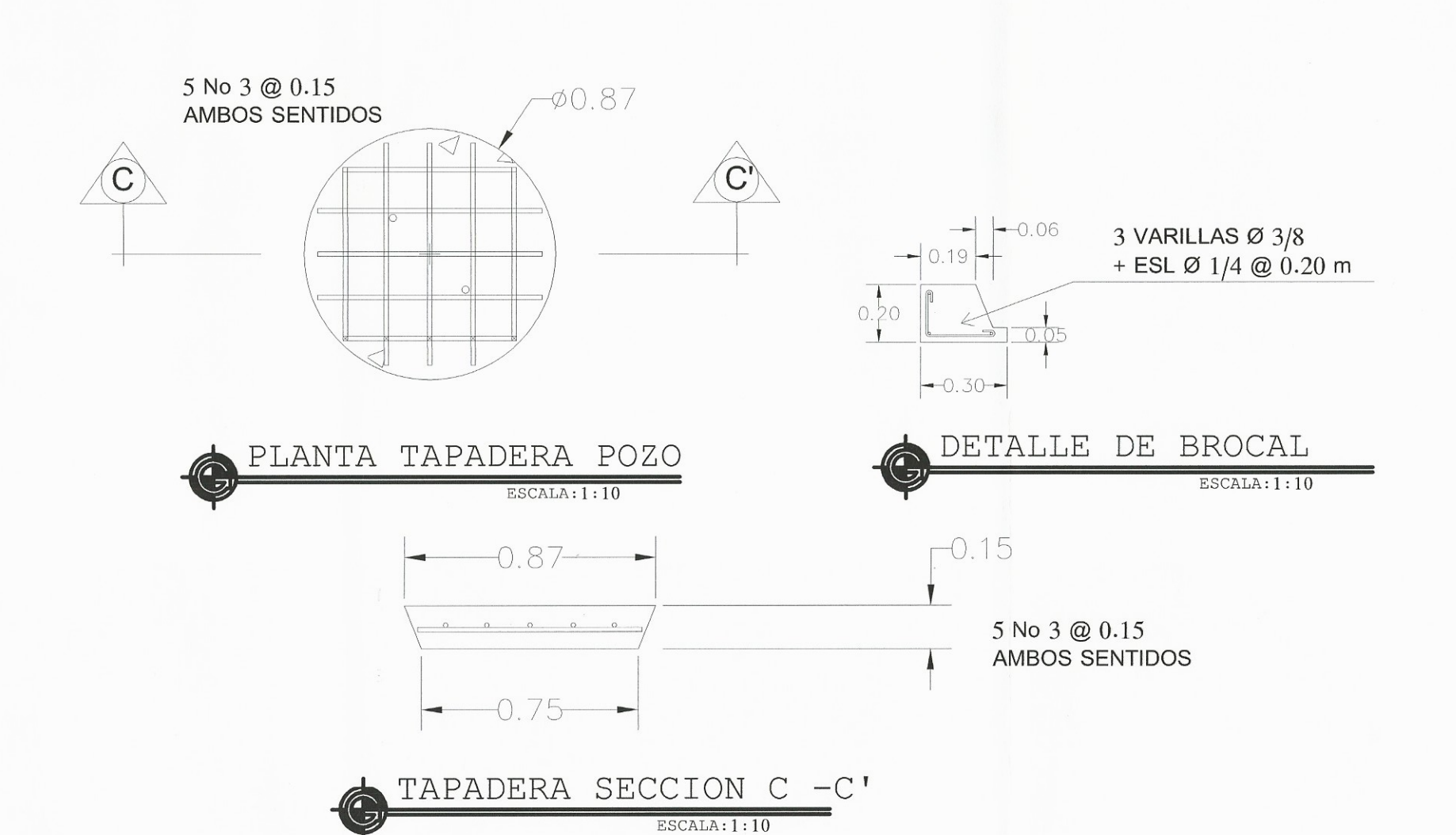
TIPO DE TUBERIA: DIST. MAX. ENTRE POZOS: PERIODO DE DISEÑO:

150 lts./hab./dia PVC CORRUGADO NORMA ASTM 3034

100 METROS 25 AÑOS

Ing. Oscar Arguera Hernández ASESOR - SUPERVISOR DE EPS Unidad de Prácticas de Ingeniería y EPS





a= ancho de zanja ver tabla para ancho de zanja

DETALLE DE ANCHO DE ZANJA

┌15% de diametro ext. tubo

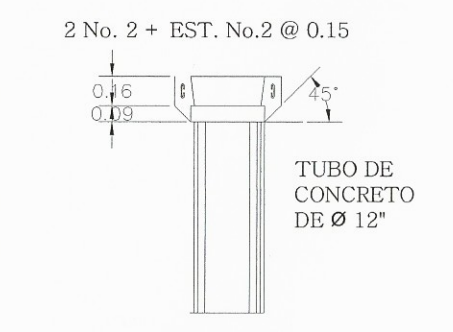
TABLA PAR	RA ANCHO DE ZANJA					
Ø DE TUBERIA EN MILIMETROS	ANCHO DE EXCAVACION EN METROS					
150	0.70					
200	0.75					
250	0.75					
300	0.80					
375	0.90					
450	1.10					
525	1.10					
600	1.20					
700	1.35					

	NOMENCLATURA
SIMBOLO	DESCRIPCION
D	INDICA DIAMETRO INTERNO DE POZO EN METROS SEGUN TABLA
plg	INDICA MEDIDA EN PULGADA
mm	INDICA MEDIDA EN MILIMETROS
Ø	INDICA DIAMETRO INTERIOR DE TUBERIA
m	INDICA MEDIDA EN METROS



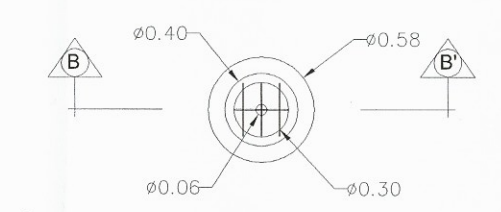






CAJA DE REGISTRO

3 No. 2 @ 0.13 AMBOS LADOS

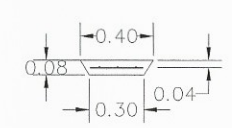




DETALLE TAPADERA

ESCALA:1:20

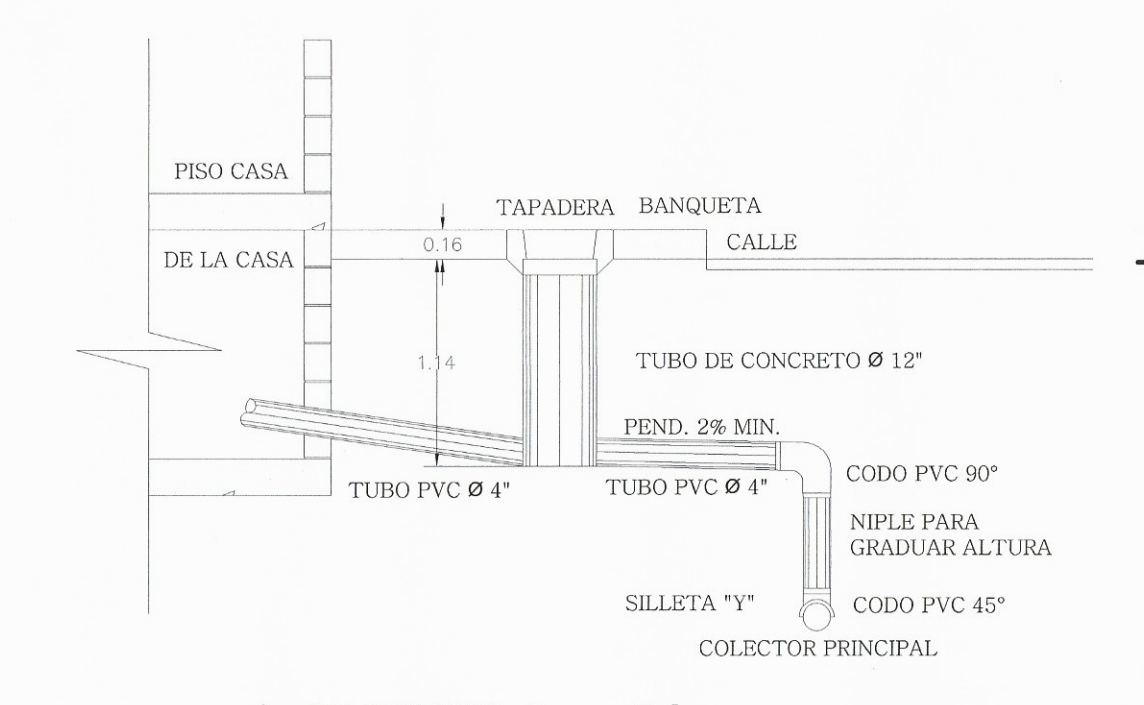
3 No. 2 @ 0.10 AMBOS LADOS





ESPECIFICACIONES

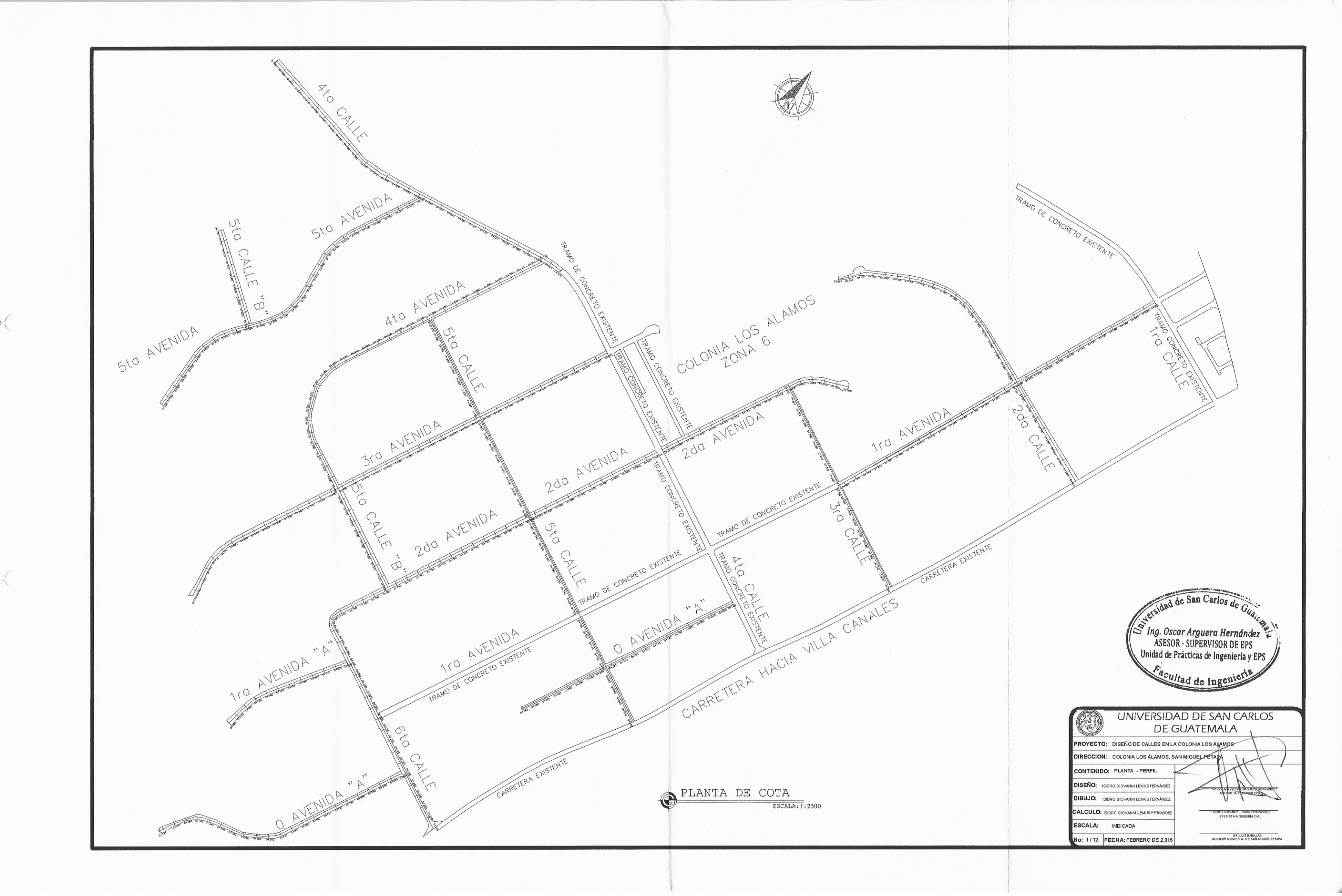
- LA TUBERIA PARA LA CONEXION DOMICILIAR DEBE SER DE 4" PVC PARA ALCANTARILLADO SANITARIO SEGUN NORMA ASTM 3034.
- EL CONCRETO PARA LA TAPADERA Y BASE DEBERA TENER UN F'C=217 KG/CM2 CON UNA PROPORCION 1:2:2
- LA CAJA DE REGISTRO SERA UN TUBO DE CONCRETO DE 16" DE DIAMETRO CON SU RESPECTIVA BASE, BROCAL Y TAPADERA, LA CUAL DEBE TENER UNA PROFUNDIDAD MINIMA DE 0.90 M.
- EL ACERO A UTILIZAR SERA F'y=2810 KG/CM2.
- TODAS LAS MEDIDAS ESTAN EN METROS SALVO DONDE SE ESPECIFIQUE.



SECCION B - B' ESCALA:1:20

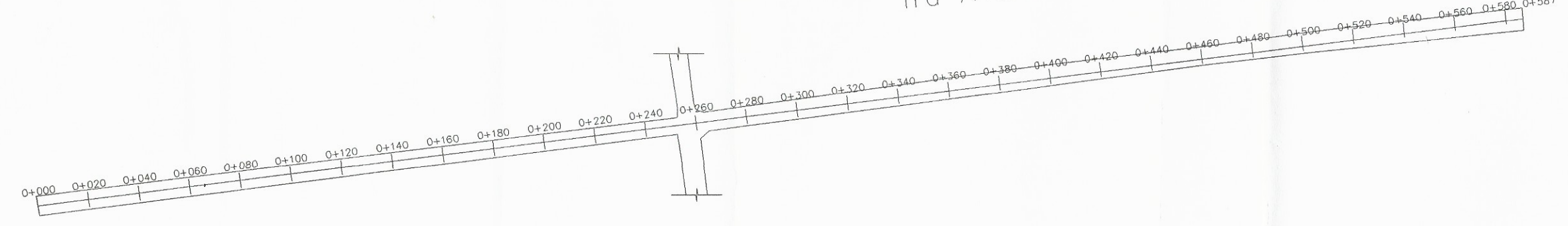








1ra AVENIDA



PLANTA ESCALA 1/1000

| Sing Oscar Arguera Hernández | ASESOR - SUPERVISOR DE EPS | Unidad de Prácticas de Ingeniería y EPS | SUPERVISOR DE EPS | SU

PERFIL

ESCALA HORIZONTAL 1/1000
ESCALA VERTICAL 1/500



dad de San Carlos de Ga

5ta calle entre 0 av y 4ta av J 0+420 0+440 0+460 0+500 0+520 0+540 0+580 0+600 0+620 PLANTA ESCALA 1/1000 5ta calle entre 0 av y 4ta av STA= 0+729.96 ELEV = 1057.252 ALTO PT STA: 5+72.94 ALTO PT ELEV: 3502.62 PVI STA: 0+099.63 PVI ELEV: 1069.94 ALTO PT STA:14+85.13 ALTO PT FLEV: 3479.00 PV STA:0+377.67 PV FLEV:1061.25 PERFIL ESCALA HORIZONTAL 1/1000 ESCALA VERTICAL 1/500 UNIVERSIDAD DE SAN CARLOS DE GUATEMALA dad de San Carlos de Gi PROYECTO: DISEÑO DE CALLES EN LA COLONIA LOS ÁLAMOS DIRECCION: COLONIA LOS ÁLAMOS, SAN MIGUEL PETA Ing. Oscar Arguera Hernández

ASESOR - SUPERVISOR DE EPS CONTENIDO: PLANTA - PERFIL Unidad de Prácticas de Ingeniería y EPS

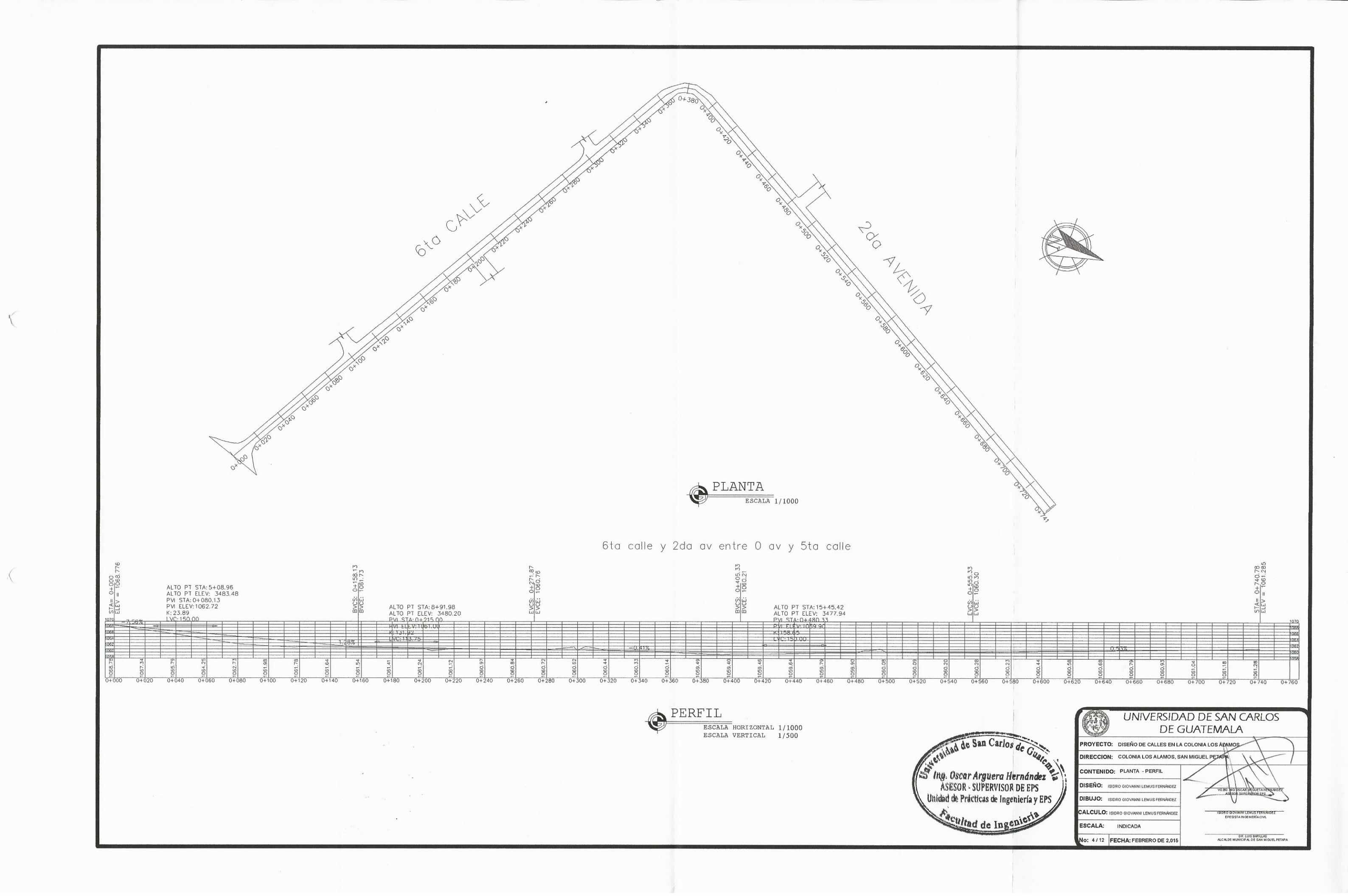
DIBUJO: ISIDRO GIOVANNI LEMUS FERNÁNDE

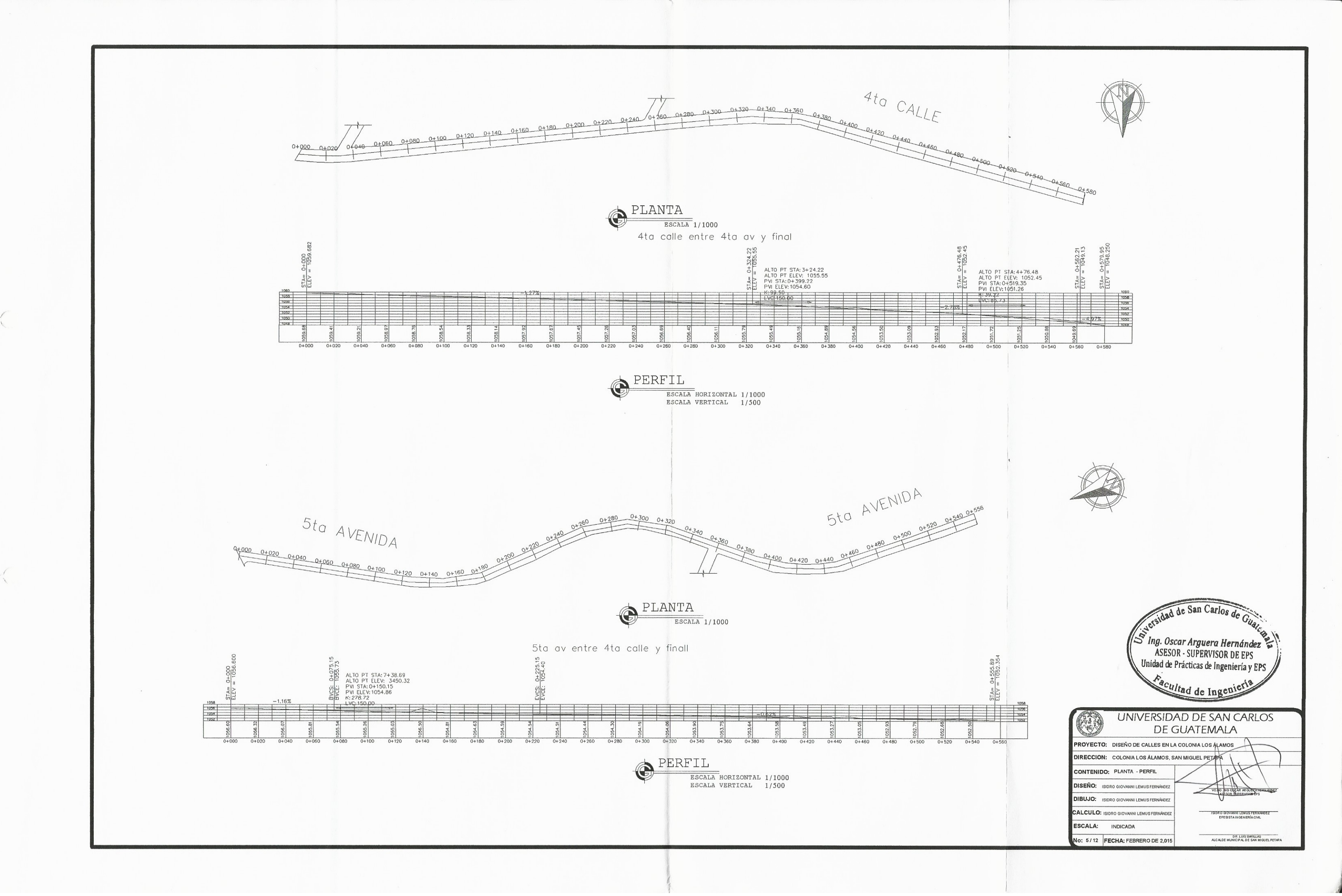
No: 3/12 FECHA: FEBRERO DE 2,015

DR. LUIS BARILLAS ALCALDE MUNICIPAL DE SAN MIGUEL PETAPA

ALCULO: ISIDRO GIOVANNI LEMUS FERN ESCALA: INDICADA

Facultad de Inger



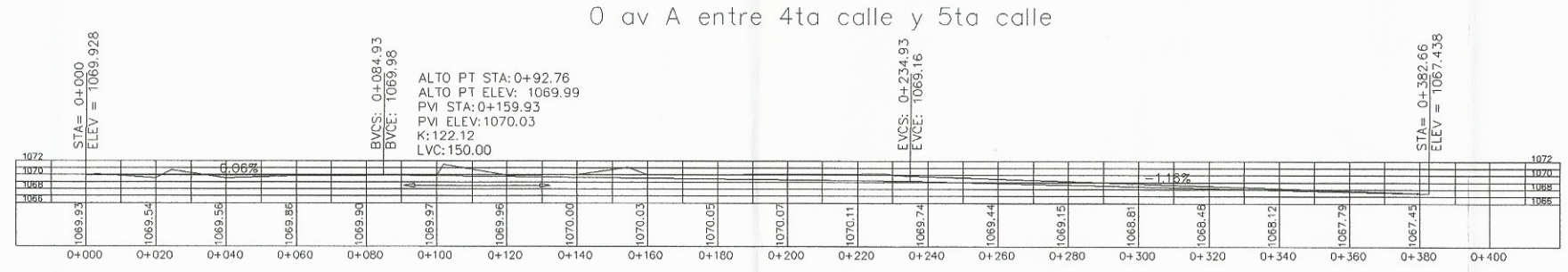




O AVENIDA "A"



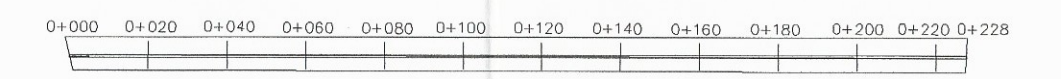
PLANTA ESCALA 1/1000



PERFIL

ESCALA HORIZONTAL 1/1000
ESCALA VERTICAL 1/500

2da AVENIDA























5ta CALLE "B"

